



FACULTAD DE INGENIERÍA Y CIENCIAS AGROPECUARIAS

OPTIMIZACIÓN DEL FLUJO DE PEDIDOS Y RUTAS DE ENTREGA EN UNA
EMPRESA COMERCIALIZADORA Y DISTRIBUIDORA DE CONFITES
“DISLOJA”.

Autora

Luisa María Loyola Granda

Año
2017



FACULTAD DE INGENIERÍA Y CIENCIAS AGROPECUARIAS
INGENIERÍA EN PRODUCCIÓN INDUSTRIAL

OPTIMIZACIÓN DEL FLUJO DE PEDIDOS Y RUTAS DE ENTREGA EN UNA
EMPRESA COMERCIALIZADORA Y DISTRIBUIDORA DE CONFITES
“DISLOJA”.

Trabajo de Titulación presentado en conformidad con los requisitos establecidos para optar por el título de Ingeniera en Producción Industrial

Profesor guía

Msc. Aníbal Andrés Cevallos Jaramillo

Autora

Luisa María Loyola Granda

Año

2017

DECLARACIÓN DEL PROFESOR GUÍA

“Declaro haber dirigido este trabajo a través de reuniones periódicas con el estudiante, orientando sus conocimientos y competencias para un eficiente desarrollo del tema escogido y dando cumplimiento a todas las disposiciones vigentes que regulan los Trabajos de Titulación”

Aníbal Andrés Cevallos Jaramillo
Máster en Ciencias de Ingeniería Industrial

CI: 1705310280

DECLARACIÓN DEL PROFESOR CORRECTOR

“Declaro (amos) haber revisado este trabajo, dando cumplimiento a todas las disposiciones vigentes que regulan los Trabajos de Titulación”.

Cristina Belén Viteri Sánchez

Master en Ingeniería Avanzada de la Producción, Logística y Cadena de
Suministro
CI: 1715638373

DECLARACIÓN DE AUTORÍA DEL ESTUDIANTE

“Declaro que este trabajo es original, de mi autoría, que se han citado las fuentes correspondientes y que en su ejecución se respetaron las disposiciones legales que protegen los derechos de autor vigentes.”

Luisa María Loyola Granda

CI: 110479767-3

AGRADECIMIENTOS

A mi familia, por siempre representar la base para mi formación y brindarme el apoyo necesario en el desarrollo del presente trabajo. A todos los que conforman DISLOJA al darme la apertura de toda la información.

Luisa María

DEDICATORIA

Principalmente a mi familia, mis padres Washington y Alicia, por el cariño incondicional, a mi hermano Jorge Luis, por ser el ejemplo impecable a imitar. Siendo ellos quienes han sabido guiar mi camino y convertirme en la persona que hoy en día soy.

A mi sobrina Irina Sofía, aunque con su poca edad representa para mí un motor fundamental para cumplir mis sueños y me enseña el valor de la vida.

RESUMEN

El presente trabajo de titulación abarca la optimización del flujo de pedidos y rutas de entrega en DISLOJA, tanto en la provincia de Loja como en Cotopaxi utilizando conocimientos sobre procesos, niveles de servicio y algoritmos para optimizar rutas vinculando la aplicación de Tecnologías de la Información.

Inicialmente se levantó información en cuanto a procesos, tanto en ventas como preventa, facturación y despacho; seguidamente se obtuvo información de las ventas, desgredando tanto en productos vendidos y rechazados por rutas para de esta manera enfocarnos al nivel de servicio.

Se realizó un análisis de los procesos, determinando que nivel de servicio está muy bien establecido pero que aún puede mejorar, y estaría enfocada en la eficiencia de los procesos, especialmente al de facturación y despacho en donde existe una demora.

Por otro lado, en la optimización de rutas se arrancó en definir las trayectorias que abarca DISLOJA, que son 6, cuatro de ellas en la provincia de Loja y 2 de ellas en la provincia de Cotopaxi.

Una vez definidas las rutas, se procedió a establecer los clientes y direcciones de los mismos para poder ubicarlos geográficamente y obtener una matriz de distancias por cada ruta.

Inmediatamente se resolvió manualmente el problema con la utilización de uno de los algoritmos estudiados durante la carrera, viendo que existía una mejora se decidió en plasmar el problema con la utilización de la tecnología de la información, programa WinQSB, el mismo que utiliza algoritmos de mayor complejidad, pero con resultados mucho más evidentes.

El resultado fue indudable con la utilización del algoritmo Two Steps Exchange que en promedio la mejora es del 20%.

Por último, el resultado de la optimización propuesta genera un ahorro anual de \$12 000 a DISLOJA.

ABSTRACT

The present Degree Work covers the optimization of the flow of orders and the delivery routes in DISLOJA, both in the province of Loja and in Cotopaxi using knowledge about processes, service levels and algorithms to optimize the routes linking the application of Technologies of the Information.

Initially, information was gathered regarding processes, both in sales and prevention, billing and dispatch; once the sales information was obtained, disaggregating both products sold and rejected by routes to this way to focus on the level of service.

It has been made an analysis of the processes, determining that the level of service is very well set but can still improve, and is focused on the efficiency of processes, especially billing and dispatching where there is a delay.

On the other hand, in terms of route optimization, the routes covered by DISLOJA are 6, four in the province of Loja and two in the province of Cotopaxi.

Once the routes were defined, the clients and addresses of the same were established to locate them geographically and obtain an array of distances for each route.

Immediately the problem was solved manually using one of the algorithms studied during the race, seeing that there was an improvement in the problem with the use of information technology, the program WinQSB, the same that uses algorithms of the Mayor Complexity, But with much more evident results.

The result was undoubtedly with the use of the algorithm Two Steps of Change that on average the improvement is of 20%.

Finally, the result of the optimization generates an annual savings of \$ 12 000 to DISLOJA.

ÍNDICE

| | |
|--|-----------|
| 1. CAPÍTULO I: INTRODUCCIÓN | 1 |
| 1.1. Antecedentes | 1 |
| 1.1. Descripción de la Empresa | 1 |
| 1.1.1. Reseña Histórica | 1 |
| 1.1.2. Pilares Estratégicos..... | 2 |
| 1.1.3. Rutas DISLOJA..... | 2 |
| 1.2. Cartera de Productos | 3 |
| 1.3. Localización | 4 |
| 1.4. Estructura Organizacional | 6 |
| 1.5. Clientes DISLOJA | 7 |
| 1.6. Descripción del Problema | 7 |
| 1.7. Alcance | 8 |
| 1.8. Justificación del Problema..... | 9 |
| 1.9. Objetivos | 10 |
| 1.9.1. Objetivo General..... | 10 |
| 1.9.2. Objetivos Específicos..... | 10 |
| 2. CAPÍTULO II: MARCO TEÓRICO | 11 |
| 2.1. Administración de Operaciones | 11 |
| Diagrama de Causa Efecto | 11 |
| 2.2. Flujograma | 12 |
| 2.3. Procesos | 14 |
| 2.3.1. Procesamiento de Pedidos | 14 |
| 2.3.2. Estandarización de Procesos | 15 |
| 2.4. Inventario | 15 |
| 2.4.1. Servicio al Cliente..... | 16 |
| 2.5. Rutas y Logística..... | 17 |

| | | |
|-----------|---|-----------|
| 2.5.1. | Logística..... | 17 |
| 2.5.2. | Planeación de Rutas | 19 |
| 2.5.3. | Transporte y Distribución | 19 |
| 2.5.4. | Distancia Euclidiana..... | 20 |
| 2.5.5. | Modelo de Optimización de Rutas | 21 |
| 2.6. | Travelling Salesman Problem | 22 |
| 2.6.1. | Uso y Aplicaciones del TSP..... | 23 |
| 2.6.2. | Programación Lineal | 24 |
| 2.6.3. | Algoritmo de Branch and Bound | 26 |
| 2.6.4. | Two Steps Exchange | 28 |
| 2.7. | Aplicación de TIC's..... | 28 |
| 2.7.1. | LogVRP | 29 |
| 2.7.2. | WinQSB..... | 30 |
| 3. | CAPÍTULO III: ANÁLISIS DE LA SITUACIÓN ACTUAL..... | 31 |
| 3.1. | Diagrama de Causa Efecto | 31 |
| 3.2. | Flujograma DISLOJA | 33 |
| 3.2.1. | Mercado Proveedor..... | 36 |
| 3.3. | Procesos Actuales..... | 37 |
| 3.3.1. | Proceso Logística de Entrada..... | 37 |
| 3.3.2. | Procesamiento Actual de Pedidos DISLOJA | 40 |
| 3.3.3. | Proceso de Despacho Actual | 42 |
| 3.4. | Distribución de la Carga de Trabajo..... | 44 |
| 3.5. | Inventario | 45 |
| 3.5.1. | Proceso de Disposición de Inventario | 46 |
| 3.5.2. | Servicio al Cliente | 47 |
| 3.6. | Rutas..... | 50 |
| 3.6.1. | Plan de Viajes DISLOJA..... | 50 |
| 3.6.2. | Clientes Visitados | 51 |
| 3.6.3. | Distancias Euclidianas | 54 |
| 4. | CAPÍTULO IV: APLICACIÓN DE TIC's | 56 |

| | | |
|-----------|---|-----------|
| 4.1. | Algoritmo de Resolución | 57 |
| 4.1.1. | Definición del problema DISLOJA con TSP | 57 |
| 4.2. | Programación Lineal de un TSP | 59 |
| 4.3. | Software para Resolución de Rutas | 62 |
| 4.3.1. | LogVRP | 62 |
| 4.3.2. | WinQSB..... | 64 |
| 5. | CAPÍTULO V: PROPUESTA DE MEJORA | 81 |
| 5.1. | Hallazgos Generales | 81 |
| 5.2. | Hallazgos con aplicación de TIC's..... | 81 |
| 5.2.1. | Aplicación de LogVRP | 81 |
| 5.2.2. | Aplicación WinQSB | 82 |
| 6. | CAPÍTULO VI. ANÁLISIS FINANCIERO | 84 |
| 6.1. | Desglose de Costos | 84 |
| 6.2. | Resumen de Costos..... | 89 |
| 7. | CONCLUSIONES Y RECOMENDACIONES..... | 89 |
| 7.1. | Conclusiones..... | 89 |
| 7.2. | Recomendaciones..... | 91 |
| | REFERENCIAS..... | 92 |
| | ANEXOS | 94 |

1. CAPÍTULO I: INTRODUCCIÓN

1.1. Antecedentes

Conformar una empresa, hoy en día es un reto grande, puesto que existen factores a tomar en cuenta como la apertura de mercado, organización, competencia, abastecimiento, etc. Sin embargo, el pilar fundamental es la calidad en el servicio al cliente y a su vez superar expectativas del mismo.

Como menciona Joseph M. Juran, para que exista una mejora de la calidad es indispensable que primeramente quienes conforman el alta directiva establezcan metas, que éstas estén ligadas a un plan de calidad y enfocado al target del negocio. Una vez establecido una meta o el plan de calidad es fundamental transmitirlo de manera jerárquica a todos los colaboradores de la empresa, con el fin de que cada área identifique a su vez submetas que estén vinculadas directamente al plan de calidad inicial propuesto por la alta gerencia.

Seguidamente, Juran destaca que la mejora de la calidad está en saber identificar al mercado, es decir sus clientes y las necesidades. No obstante, la trilogía de la calidad como Seis Sigma proponen normas de fortalecimiento a la estrategia de la calidad.

Sus principales clientes son todas las tiendas y bares de escuelas o colegios a los que frecuenta.

1.1. Descripción de la Empresa

1.1.1. Reseña Histórica

DISLOJA., es una PYME que se dedica a la comercialización de confitería en las provincias de Loja y Cotopaxi. Se constituyó en el año 2005 con su centro de Distribución en la ciudad de Loja, a partir del año 2011 amplió su mercado en la provincia de Cotopaxi con un segundo Centro de distribución; motivo por el cual requiere mejorar sus procesos de distribución en el mercado ecuatoriano lleva aproximadamente 12 años.

Su logo se plasma en la siguiente figura:



Figura 1: Logo de la Empresa

1.1.2. Pilares Estratégicos

MISIÓN:

DISLOJA., comercializa confitería desde el año 2005 en el Ecuador. Representamos a productores de confitería y distribuye sus productos en las provincias de Cotopaxi y Loja. Ofrece un servicio una venta y distribución garantizada al mercado, fortaleciéndose de recursos humanos capacitados y comprometidos para llegar al cliente y con el trabajo.

VISIÓN:

Busca continuamente el crecimiento de ventas a nivel nacional, con un reconocimiento de empresas productoras líderes ecuatorianas; convertirse en un recurso importante en la cadena de abastecimiento de las distintas empresas fabricantes de confitería.

1.1.3. Rutas DISLOJA

La empresa abarca 6 rutas; 4 de ellas en la provincia de Loja y 2 en la provincia de Cotopaxi y se encuentran dispuestas de la siguiente manera:

Tabla 1.

Distribución de Rutas DISLOJA-LOJA

| Provincia de Loja | |
|-------------------|---|
| Rutas | Destino |
| R1 | Loja-Catamayo - Gonzanamá - Cariamanga - Macará |
| R2 | Loja- Catacocha - Alamor - Celica |
| R3 | Loja-Zamora - Yanzatza - Gualquiza- Pangui |
| R4 | Loja - Vilcabamba - Zumba |

Tabla 2.

Distribución de Rutas DISLOJA-COTOPAXI

| Provincia de Cotopaxi | |
|-----------------------|----------------------------|
| Rutas | Destino |
| R5 | Latacunga - Salcedo |
| R6 | Pujilí - Saquisilí - Lasso |

1.2. Cartera de Productos

DISLOJA, cuenta con una alta variedad de productos que comercializa al público. En la **figura 2.**, se muestran los productos de mayor rotación.



Figura 2: Cartera de Productos DISLOJA con mayor rotación

1.3. Localización

DISLOJA, tiene dos centros de distribución ubicados en la provincia de Loja y Cotopaxi, para el presente trabajo de titulación se tomará en cuenta los dos centros de distribución, el más grande se encuentra en la provincia de Loja, ciudad Loja, calle 24 de mayo entre Azuay y Mercadillo (**Figura 3**).

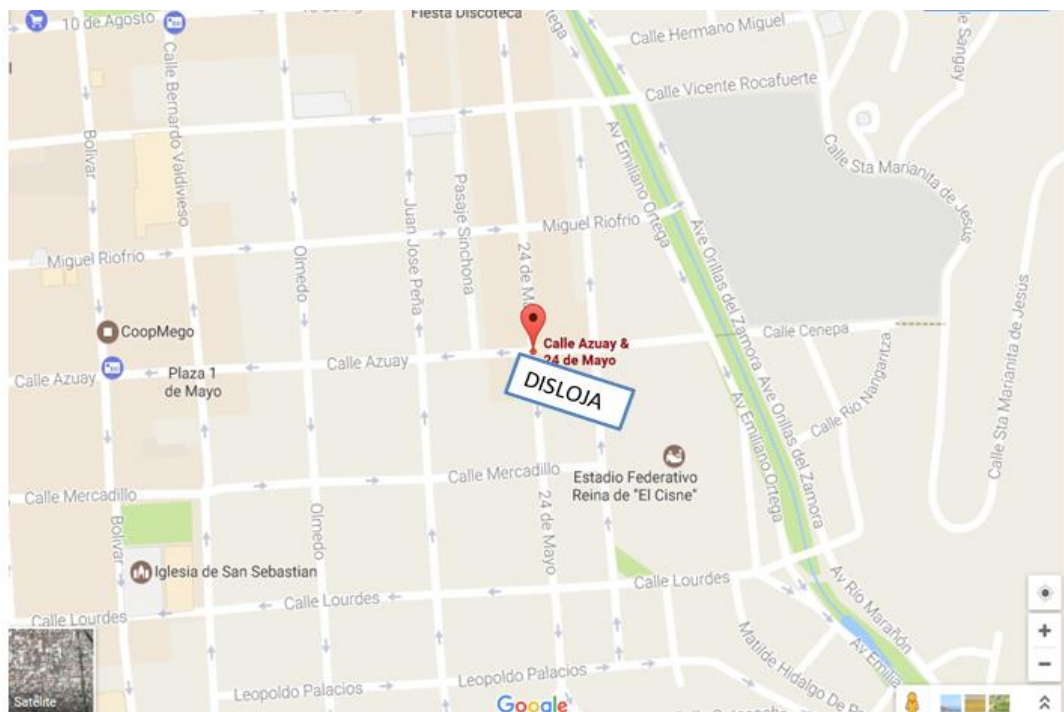


Figura 3: Ubicación Centro de Distribución 1 DISLOJA

Tomado de: («Google Maps», s. f.)

Mientras que, en la provincia de Cotopaxi, DISLOJA cuenta con un centro de distribución pequeño ubicado en la ciudad Latacunga, Avenida General Proaño y Atanasio Viteri (**Figura 4**).



Figura 4: Ubicación Centro de Distribución 2 DISLOJA

Tomado de: («Google Maps», s. f.)

1.4. Estructura Organizacional

DISLOJA, cuenta con 4 colaboradores (**Figura 5**), en donde el Gerente General realiza las funciones de preventa para la provincia de Loja, con la ayuda de dos colaboradores más los mismos que se encargan del proceso de entrega de mercadería y cobranzas, mientras que la persona que conforma la Gerencia Administrativa Financiera cumple con las funciones de venta directa en la provincia de Cotopaxi.

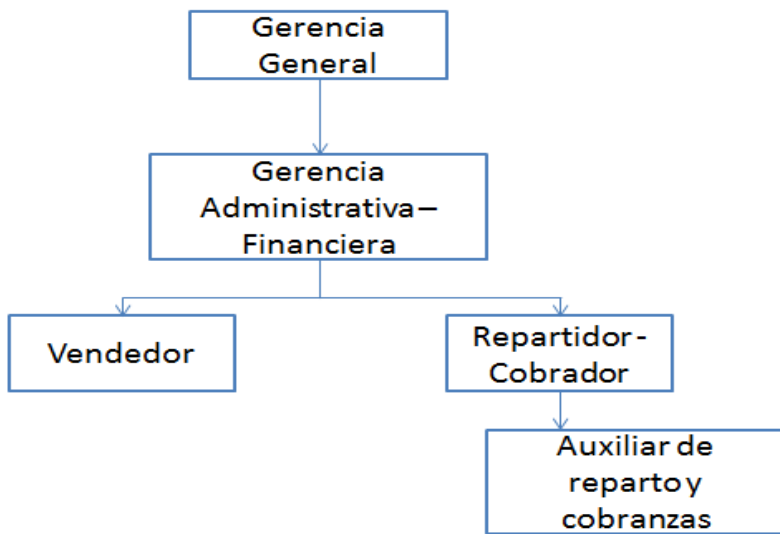


Figura 5: Estructura Organizacional DISLOJA

1.5. Clientes DISLOJA

La empresa clasifica a sus clientes en tres grupos importantes. Clientes tipo A son clientes estrella quienes tienen sus cuentas al día, no poseen ningún retraso y no presentan problemas. Clientes tipo B son los que no tienen gran volumen de compra, que no son malos clientes, pero en algún momento presentan algún problema. Finalmente, los clientes tipo C son quienes no les dejan facturas vencidas ya que hay problemas en el pago.

Los clientes potenciales es decir los tipos A son las tiendas minoristas de las provincias, éstas siempre piden grandes cantidades de producto ya que tienen alta rotación al estar en una zona en donde los clientes solo acuden a ellas.

1.6. Descripción del Problema

Dado que DISLOJA., es una empresa comercializadora PYME, a lo largo de la cadena de abastecimiento se presentan problemas de tiempos de entrega, secuencia de rutas y tiempos de ruta, dichos problemas están ligados a la desorganización para dar cobertura a los clientes. Es por eso que, del total de pedidos semanales, en Loja aproximadamente y según la situación actual con

30 pedidos por ruta y Cotopaxi con 10, con un nivel de servicio estimado del 75%.

Por tanto, el impacto que se está produciendo es la no conformidad para los clientes con los cuales trabajan, precipitando a perderlo y su respectivo abasto, tomando en cuenta lo anterior, la finalidad del proyecto de titulación es buscar el modo de atender y llegar a tiempo a los clientes, ya que éste es un factor directamente proporcional al crecimiento del negocio.

La calendarización de abasto para clientes en la provincia de Loja está establecida cada 15 días una visita, por consiguiente, su sistema de distribución de confitería tiene una frecuencia baja, de tal forma que la primera visita al cliente es para ofertar un listado de productos y concretar precios, conocido como la preventa, y la segunda visita es para el abasto a dicho cliente. Por otro lado, en la provincia de Cotopaxi se trabaja con venta directa 3 días a la semana, puesto que los volúmenes de venta son pequeños en ésta provincia.

DISLOJA, cuenta con 55 productos a disposición de la clientela, a lo largo de su trayectoria la empresa ha definido como sus productos estrellas las Galletas Salticas y los Jugos Pulp. Por otro lado, unos de los productos que se tiene mayor rentabilidad son Manicho, chupetes Pin Pop, etc.

DISLOJA., busca la necesidad inmediata de optimizar las rutas de abastecimiento a los clientes y que ésta esté encaminada a atacar el incumplimiento de tiempos de entrega por tanto reduciría la probabilidad de desabasto a los clientes y la pérdida de los mismos.

1.7. Alcance

El alcance del presente trabajo de titulación, se enfoca en estandarizar y optimizar los procesos de pedido, facturación y despacho, así como en desarrollar rutas que permitan mejorar el abasto de confitería a los distintos clientes de las provincias de Loja y Cotopaxi, de la empresa DISLOJA., dedicada

a la comercialización y distribución de confitería en las dos provincias antes mencionadas

El fin es, con la mejora de procesos y rutas óptimas, se pueda llegar rápidamente a los clientes, cumpliendo con la totalidad del pedido y a su vez superar las expectativas del mismo generando valor a la cadena de abastecimiento de la empresa.

1.8. Justificación del Problema

Partiendo de que el número promedio de pedidos semanales es de 40 aproximadamente en las dos provincias y por cada ruta, sabiendo que de este número el 25% presenta retrasos en la entrega, según la estimación de DISLOJA, se requiere levantar el proceso actual de preparación de pedidos y despachos, así como reducir los retrasos y mejorar costos operativos. El levantamiento y estandarización de procesos en los 2 centros de distribución y la optimización de rutas podría mejorar las ventas y mejorar el nivel de servicio a los clientes, facilitando la capacidad competitiva de la empresa y potenciar el mercado local. Por tanto, el impacto del proyecto de titulación, corresponde al área del servicio efectivo a los clientes con los cuales se trabaja.

Finalmente, los beneficios de la estandarización de procesos y mejoramiento de ruta son:

- Disminución de tiempo de respuesta
- Crecimiento en ventas
- Mejora del nivel de servicio con clientes

1.9. Objetivos

1.9.1. Objetivo General

Optimización del flujo de pedidos y rutas de entrega en una empresa comercializadora y distribuidora de confites "DISLOJA".

1.9.2. Objetivos Específicos

- Analizar la situación actual de abasto a clientes, analizando el proceso desde la preventa hasta la entrega.
- Realizar un análisis de las rutas en base a la ubicación geográfica, tipo de cliente y valor de factura, con el fin de sugerir acciones de mejora.
- Generar una propuesta de mejora al distribuidor a través de una estandarización de procesos y mejora de ruta.
- Realizar un análisis financiero en cuanto a los beneficios generados de las propuestas de mejora.

2. CAPÍTULO II: MARCO TEÓRICO

2.1. Administración de Operaciones

Diagrama de Causa Efecto

El diagrama de Causa Efecto también conocido como diagrama de Ishikawa, por su creador Kaoru Ishikawa, diagrama de espina de pescado y en algunos casos diagrama de las 6M's; hoy en día se conoce una M adicional que corresponde al Managing. El diagrama intenta representar mediante cada M las distintas causas que dan como resultado el problema latente. Las causas provienen de una lluvia de ideas que responde principalmente a la pregunta ¿Cuáles son las causas por las cuales se deriva el problema? Las respuestas que se pueda obtener se estratifican para seguidamente ilustrarse en el diagrama de Ishikawa.

Kaoru Ishikawa, sugiere que las causas principales se las puede clasificar en 6 categorías que son: materiales, maquinaria, método de trabajo, medición, mano de obra y medio ambiente.

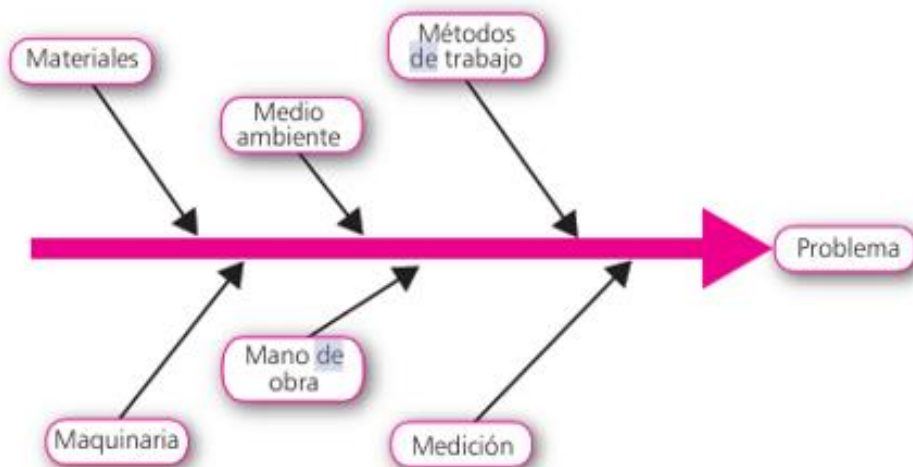


Figura 6: Diagrama de Causa Efecto

Tomado de: Cantú, D. J. H. (2011).

La utilización el diagrama de Causa-Efecto permite:

- Identificar con mayor precisión el problema
- Dar a conocer las posibles causas
- Relacionar los distintos recursos (6M's) con el problema

Por lo tanto, el diagrama de Ishikawa permite establecer la relación entre las posibles causas y el problema, de esta manera ampliando las distintas formas de encontrar la solución. Cantú, D. J. H. (2011).

2.2. Flujograma

Un flujograma es una herramienta que permite diagramar procesos, fenómenos, situaciones etc, mediante la utilización de simbología que cada uno representa un significado que a su vez concatenan con la descripción diagramada.

El flujograma forma parte de un recurso elemental en las organizaciones, ya que mediante éstos se puede transmitir el desarrollo de un proceso, situación, etc., y a su vez les permite tener el control de la continuidad en las operaciones diagramadas. El flujograma también constituye un elemento fundamental en cuanto a la facilidad de comprensión de algún proceso complejo, puesto que al descomponer el proceso complejo mediante flujograma contribuye a la simplificación del trabajo.

Existen algunas organizaciones que han estandarizado la elaboración de los flujogramas como:

- ASME. American Society of Mechanical Engineers
- ANSI. American National Standard Institute
- ISO. International Organization for Standardization
- DIN. Instituto Alemán de Estandarización

| Símbolo | Representa |
|-------------------|--|
| ○ | Operación. Indica las principales fases del proceso, método o procedimiento. |
| □ | Inspección. Indica que se verifica la calidad y/o cantidad de algo. |
| → | Desplazamiento o transporte. Indica el movimiento de los empleados, material y equipo de un lugar a otro. |
| D | Depósito provisional o espera. Indica demora en el desarrollo de los hechos. |
| ▽ | Almacenamiento permanente. Indica el depósito de un documento o información dentro de un archivo, o de un objeto cualquiera en un almacén. |
| Combinados | |
| Símbolo | Representa |
| ○○ | Origen de una forma o documento. Indica el hecho de elaborar una forma o producir un informe. |
| ○□ | Decisión o autorización de un documento. Representa el acto de tomar una decisión o bien el momento de efectuar una autorización. |
| ○→ | Entrevistas. Indica el desarrollo de una entrevista entre dos o más personas. |
| ▽▽ | Destrucción de documento. Indica el hecho de destruir un documento o parte de él, o bien la existencia de un archivo muerto. |

Figura 7: Simbología ASME

Tomado de: Franklin, F. E. B. (2014).

Dentro de las ventajas de los fluajogramas están:



2.3. Procesos

2.3.1. Procesamiento de Pedidos

A lo largo del flujo de operaciones que se cumplen para abastecer al cliente o terminar con el ciclo de trabajo, el procesamiento de pedidos forma una parte primordial ya que hoy en día la tecnología ofrece diversas maneras de comunicación para eficientar el proceso de pedidos, puesto que el procedimiento de pedidos está dado por distintas operaciones.

El beneficio de saber administrar el procesamiento de pedidos está directamente relacionado con el nivel de servicio al cliente por lo que, a medida que el porcentaje de respuesta al cliente sea menor el nivel de servicio estará mejorando, es decir una relación inversamente proporcional.

En la cadena de suministro el pedido básicamente se conforma de:

- Recepción Inicial del Pedido
- Entrega de Mercancía
- Facturación
- Cobranza

2.3.2. Estandarización de Procesos

"La estandarización de los procesos es fundamental para el éxito de los negocios; sin embargo, el seno de las pequeñas empresas esta actividad se encuentra desvalorizada y ha sido distorsionada por sistemas como el ISO 9000 (International Standard Organization), que en muchos casos se ha tratado de implementar sin éxito porque no se adapta a las condiciones de las pequeñas empresas". (Martínez, 2005)

Los beneficios de la estandarización de procesos están:

- Realizar un mejor trabajo de forma más eficiente y segura.
- Se basa en medios para prevenir a errores y disminuir la variabilidad.
- Se plantea objetivos y metas
- Se consigue determinar un indicador de desempeño
- Proporcionan la base para el desarrollo de un mejoramiento.

Por consiguiente, la estandarización de trabajo demuestra la forma en la cual se va a realizar un trabajo, dejando abierta la puerta hacia la mejora continua del proceso. Gutiérrez, P. H. (2014).

2.4. Inventario

El inventario de una empresa es la composición de productos almacenados disponibles para la venta, forma parte de un activo circulante puesto que representa una inversión que se hace efectiva una vez que el producto se haya vendido y cobrado; y que en ciertos casos rota con mayor y menor frecuencia.

En general, la definición de inventario está dada bajo el concepto de acumulación de material o bienes circulantes, y que a lo largo de un proceso productivo puede sufrir transformaciones. Schroeder, R. G., Meyer, G. S., & Rungtusanatham, M. J. (2011).

Para que cada producto entre a inventario, éste se debe registrar a precio de costo, es decir a precio de compra. El movimiento de inventario se maneja con

muchas minuciosidad pues afecta al estado financiero de la empresa, sin dejar de lado que el inventario debe formar parte del estado de resultados y el balance general de la compañía.

Las empresas de manufactura cuentan con tipos de inventario como:

- Inventario de Materia Prima
- Inventario de Producto en Proceso
- Inventario de Producto Terminado

El inventario de mercadería se basa en conceptos como el servicio al cliente, esto significa que a medida que exista un porcentaje de servicio al cliente mayor, los niveles de inventario tendrán mayor rotación que a su vez es beneficioso para el efectivo de la compañía.

Los propósitos del inventario son: Schroeder, R. G., Meyer, G. S., & Rungtusanatham, M. J. (2011).

- Protección contra las incertidumbres
- Permitir una producción económica
- Cubrir cambios repentinos en cuanto a demanda u oferta
- Pronosticar demandas

2.4.1. Servicio al Cliente

La calidad de servicio al cliente debe estar presente en todas las compañías las 24 horas, haciendo énfasis en las horas en donde la afluencia de clientes o visita a clientes, puesto que representan el recurso más importante, como es el caso de DISLOJA, es alta; ya que el cliente tomará en cuenta aspectos como la atención o la ayuda brindada al momento de decidirse por la compra. Cantú, D. J. H. (2011).

2.4.1.1. Nivel de Servicio al Cliente

El nivel de servicio al cliente está impuesto por los clientes estrella de una empresa, es decir son ellos los que obligan a que el nivel de servicio sea mayor, además se lo puede medir mediante factores como:

- Capacidad de Respuesta
- Calidad de atención
- Comunicación y expresión
- Disponibilidad
- Cortesía y Amabilidad
- Aptitud ante la resolución de requerimientos

Para el cálculo del nivel de servicio se puede hacer uso de las siguientes fórmulas: Barboza, F. (s. f.).

- Método considerando cantidades

$$\frac{\text{Unidades Vendidas}}{\text{Unidades Vendidas} + \text{Unidades negadas}} = \text{Nivel de Servicio} \quad (\text{Ecuación 1})$$

- Método considerando valores

$$\frac{\text{Valor de unidades vendidas}}{\text{Valor de Unidades Vendidas} + \text{Valor de Unidades negadas}} = \text{Nivel de Servicio} \quad (\text{Ecuación 2})$$

2.5. Rutas y Logística

2.5.1. Logística

La logística involucra la gestión de los pedidos, transporte, almacén, manejo de materiales y productos, despacho, etc. La integración de esto al target empresarial permite que los requerimientos del cliente se cumplan. Es por eso que la logística posee uno de los enfoques más considerables en el diseño y gestión de métodos para el registro de inventario, materia prima, producto en proceso, todo esto optimizando recursos.

La misión de la logística es mantener a la cadena de valor funcionando, con los materiales e información, desde los proveedores hasta el punto de venta. Schroeder, R. G., Meyer, G. S., & Rungtusanatham, M. J. (2011).

2.5.1.1. Beneficios de la logística

- Disponibilidad: Mantener un inventario para cumplir los requerimientos del cliente constantemente, asimismo disponibilidad de flota que continuamente satisfaga los pedidos de los clientes.
- Desempeño Operativo: Abarca el tiempo necesario para abastecer al cliente haciendo entregas eficientes y regulares.
- Confiableidad del Servicio: Interviene la calidad en el proceso logístico, entonces para ofrecer alta calidad es importante cumplir con lo mencionado antes como la disponibilidad, desempeño operativo; adicionando a estos factores la capacitación de los colaboradores para hacer de la calidad logística un componente que destaque. Bowersox, D. J., Closs, D. J., & Cooper, M. B. (2007).

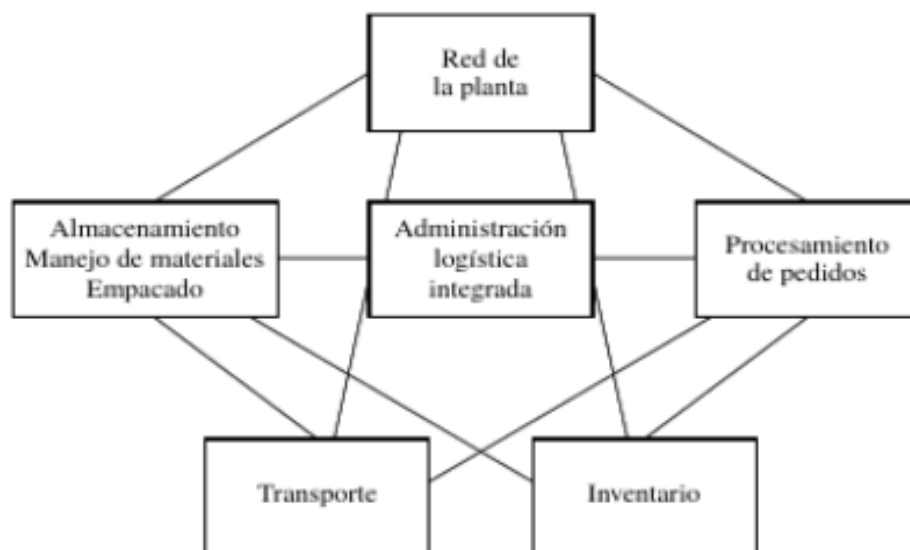


Figura 8: Logística Integrada

Tomado de: Bowersox, D. J., Closs, D. J., & Cooper, M. B. (2007).

Costos relacionados con los procesos de logística

- Transporte
- Inventario
- Almacenamiento
- Administración

2.5.2. Planeación de Rutas

Partiendo de que una ruta está definida por una serie de nodos que se encuentran unidos indistintamente de la dirección del flujo. Para que una ruta forme un ciclo, los nodos se deben conectar consigo mismo. Muñoz, C. R. V., Ochoa, H. M. B., & Morales, G. M. (2011).

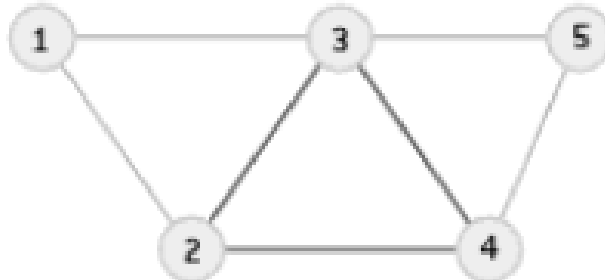


Figura 9: Ciclo de Rutas

Tomado de: Muñoz, C. R. V., Ochoa, H. M. B., & Morales, G. M. (2011).

2.5.3. Transporte y Distribución

El transporte constituye dentro de la logística una unidad elemental ya que su función es de trasladar y colocar bajo una ubicación geográfica los diferentes destinos. Hillier, F. S. (2010).

El sistema de transporte considera tres elementos fundamentales a la hora del manejo logístico:

- Costo
- Velocidad
- Regularidad

El costo representando es el valor que involucra la gestión de envío desde el centro de distribución hasta el destino y que cubre la seguridad de la mercancía durante el viaje, recursos físicos y humanos, etc.

La velocidad está determinada en base al tiempo que se necesita para cumplir con la ruta. El costo de transporte y la velocidad están relacionados de dos maneras. La primera el servicio rápido es directamente proporcional a las tarifas y segundo el servicio rápido es inversamente proporcional al inventario en tránsito. Entonces la manera óptima es buscar un punto de equilibrio entre el costo y la velocidad.

La regularidad de transporte releva la confiabilidad del transporte mediante las fluctuaciones de tiempo que se dan para realizar un movimiento. Es decir, cuando el transporte no es regular se necesita disponer de inventario de seguridad para abastecer en caso de que se presente una interrupción.

2.5.4. Distancia Euclíadiana

La distancia euclíadiana es la medición de la distancia en línea rectilínea entre un punto y otro. La distancia rectilínea es la que está dada bajo una serie de giros de 90°, su valor es absoluto y está definida por la siguiente ecuación:

$$d(A, B) = |(X_B - X_A)^2| + |(Y_B - Y_A)^2| \quad (\text{Ecuación 3})$$

La distancia Euclíadiana tiene como objetivo la guía para conseguir la distancia desde un punto a otro, ya sea en el plano como en el espacio.

“Sus bases se encuentran en la aplicación del Teorema de Pitágoras sobre triángulos rectángulos, donde la distancia euclíadiana viene a ser por lo general la longitud de la hipotenusa del triángulo recto conformado por cada punto y los

vectores proyectados sobre los ejes directores al nivel de la hipotenusa." («Distancia euclídea - EcuRed», s. f.)

Por lo tanto, para calcular la distancia euclidiana en el plano cartesiano la fórmula está dada de la siguiente manera:

$$d(A, B) = \sqrt{(X_B - X_A)^2 + (Y_B - Y_A)^2} \quad (\text{Ecuación 4})$$

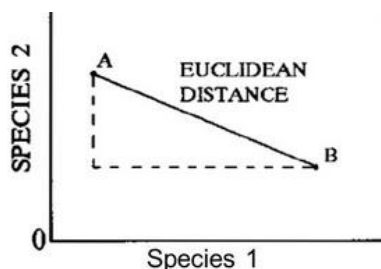
$d(A, B)$ = Distancia euclidiana entre los puntos A y B

X_A = Coordenada x del punto A

X_B = Coordenada x del punto B

Y_A = Coordenada Y del punto A

Y_B = Coordenada Y del punto B



Mientras que, la fórmula para la distancia euclidiana en el espacio es la siguiente:

$$d(A, B) = \sqrt{(X_B - X_A)^2 + (Y_B - Y_A)^2 + (Z_B - Z_A)^2} \quad (\text{Ecuación 5})$$

Por lo tanto, la importancia de la distancia euclidiana es la determinación de un segmento de longitud de distancia recta entre dos puntos, más conocido como distancia a secas. Distancia euclídea - EcuRed. (s. f.).

2.5.5. Modelo de Optimización de Rutas

Dentro de los problemas de optimización de rutas se encuentra el TSP por sus siglas en inglés (Travelling Salesman Problem), problema del Agente Viajero, que se refiere a la distribución de mercadería partiendo desde un centro de distribución hacia los diferentes clientes con la condición de que se realice una

sola visita y que finalmente se retorne el vehículo al centro de distribución; optimizando recursos.

Esto se puede llevar a cabo mediante la utilización de programas logísticos, que a las empresas agregan valor ya que la ruta de distribución va a estar dada bajo los datos que se ingrese en el programa.

Sin embargo, hoy en día el costo que estos programas representan es un limitante para las empresas, por otro lado, la relación costo beneficio de la utilización de estos programas es mayor en cuanto a los beneficios para la empresa.

Existen programas para la optimización de rutas como Log VRP, Win QSB, Rutas, etc.

2.6. Travelling Salesman Problem

En la logística existen varios métodos de resolución para la optimización de rutas, uno de ellos es el problema del agente viajero que consiste en, la distribución de mercadería hacia varios puntos (destino, cliente, etc.) desde un punto inicial conocido como el centro de distribución, de tal manera que durante la ruta se minimicen costos totales; todo esto cumpliendo una sola visita a cada destino y regresando al punto inicial.

Este tipo de problemas tiene gran acogida en la aceptación en la logística ya que involucra las distancias de los distintos puntos, sean estas simétricas o no. La cantidad de posibles rutas a tomar para cumplir con la visita a todos los puntos está dada por la siguiente fórmula:

$$(n-1)! \quad (\text{Ecuación 6})$$

En donde n representa la cantidad de destinos a visitar. Por tanto, la cantidad de posibles rutas a tomar depende directamente de n ya que crece bajo una tendencia factorial. («Problema del Agente Viajero - TSP», s. f.)

A continuación, se puede observar 2 sencillas rutas que describen al problema del agente viajero.

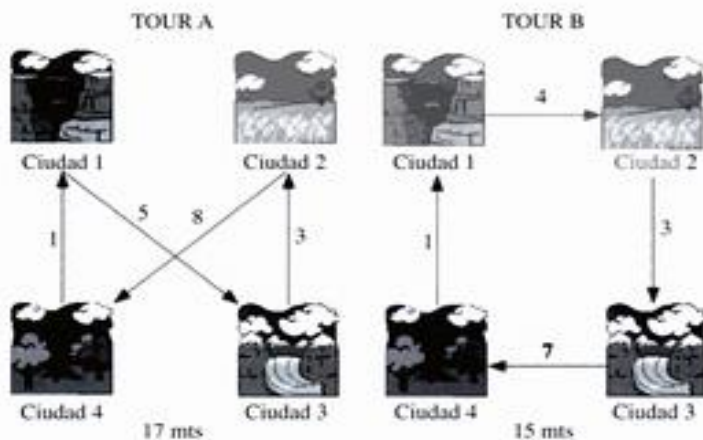


Figura 10: Salesman Routing Problem

Tomado de: (Tarapaca, 2010)

2.6.1. Uso y Aplicaciones del TSP

Hoy en día la aplicación del problema del agente viajero está latente en las cosas cotidianas del día y que está inmerso en la toma de decisiones en cuanto a la eficiencia como: TFE001031.pdf. (s. f.).

- Logística: Al momento de buscar la ruta más eficiente o más corta para transportar ya sea, pasajeros, mercadería, etc. Es indispensable optimizar costos para que dicha ruta sea factible y represente ganancia.

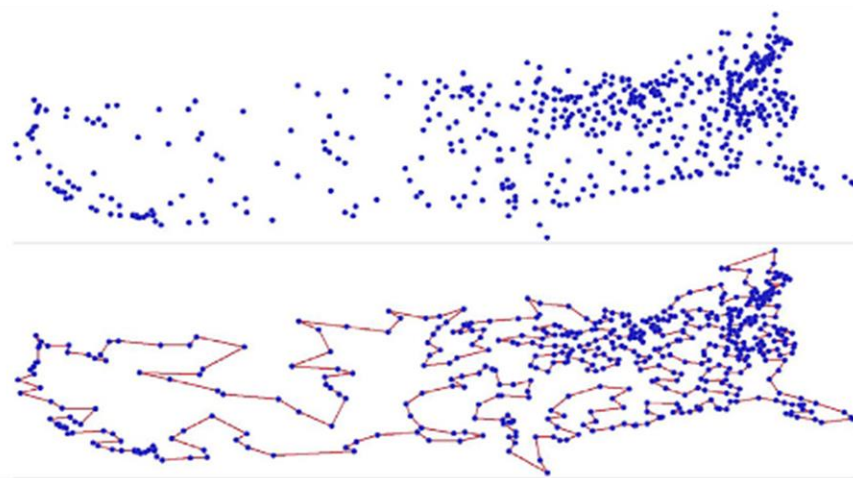


Figura 11: Ruteo para cubrir 532 ciudades

Tomado de: TFE001031.pdf. (s. f.).

Como lo representa la (**figura 11**), el TSP trata de buscar una ruta que sea la más eficiente y que cumpla la visita por todos los destinos y volver al punto inicial. No tiene relevancia cuán distanciado este un destino del otro.

- Manufactura: En la actualidad el TSP juega un papel importante en varios ámbitos de la manufactura como uno de ellos es:
 - Serie de Tareas: Suponiendo que una máquina va a realizar una secuencia de tareas, el TSP ayuda a determinar el proceso más lógico y eficiente para dicha máquina tomando en cuenta que las tareas que debe realizar son los destinos.

2.6.2. Programación Lineal

“La programación lineal, que es un procedimiento matemático que ayuda a asignar de manera óptima los recursos escasos, consta de una o más funciones objetivo, un conjunto de restricciones y una restricción de no negatividad.”
Muñoz, C. R. V., Ochoa, H. M. B., & Morales, G. M. (2011).

2.6.2.1. Aplicaciones de la Programación Lineal

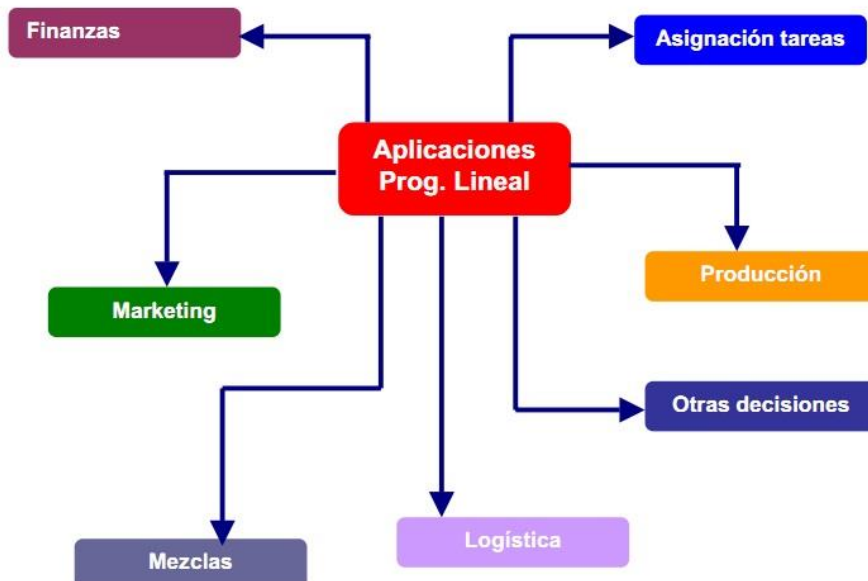


Figura 12: Aplicaciones de Programación Lineal

Tomado de: («Aplicaciones de la programación lineal», 2012)

2.6.2.2. Planteamiento de Problemas de Programación Lineal

Para que la resolución de un problema forme parte de los modelos de programación lineal, éste debe cumplir con factores básicos de la programación lineal que son:

- Funciones Objetivo, una o más
- Restricciones
- Variables de Decisión y/o parámetros

Función Objetivo: En función a las variables de decisión la función objetivo demuestra la efectividad de modelo.

Restricciones: Toda y cualquier limitante que contenga el problema, debe ser algún dato que no permita que a la variable de decisión consumir valores permisibles.

Variables de Decisión y Parámetros: Son los valores que serán determinados durante la resolución del problema. Mientras que los parámetros son los valores que son constantes en el problema y que relacionan a las variables de decisión.

2.6.2.3. Estructura del Modelo de Programación Lineal

“Función Objetivo → Optimizar $z = c_1x_1 + c_2x_2 + \dots + c_nx_n$

Sujeta a las siguientes restricciones:

$$a_{11}x_1 + a_{12}x_2 + \dots + a_{1n}x_n <, =, > b_1$$

$$a_{21}x_1 + a_{22}x_2 + \dots + a_{2n}x_n <, =, > b_2.$$

$$a_{m1}x_1 + a_{m2}x_2 + \dots + a_{mn}x_n <, =, > b_m$$

$x_1, x_2, \dots, x_n > 0$ (*restricción de no negatividad*)” Muñoz, C. R. V., Ochoa, H. M. B., & Morales, G. M. (2011).

2.6.3. Algoritmo de Branch and Bound

El algoritmo branch and bound, ramificación y acotamiento, abarca la solución de problemas de programación de enteros, lineales o mixtos. mediante la utilización de los fundamentos de programación lineal. Uno de los beneficios de utilizar este algoritmo es la cantidad de nodos que permite extenderse. No obstante, para resolución de problemas que abarque grandes cantidades de nodos es importante realizarlo mediante la utilización de un software.

Como su nombre lo dice, parte de un árbol imaginario y aplica la acotación desde el principio para desechar caminos no viables.

El algoritmo utiliza técnicas llamadas “podas” que significa que a medida que se da resolución al problema inicial se van eliminando nodos que obstruyen el paso para encontrar la solución óptima.

Aplicar Branch and Bound es un método muy completo, puesto que éste algoritmo analiza todos los nodos y que cada uno cumpla con las condiciones establecidas para la búsqueda de la mejora.

Al mencionar ramificación se refiere a la utilización de estrategias para incrementar costo/beneficio, Estrategias LC / MB, que representa en inglés Least Cost / Maximum Benefit.

Example of Branch and Bound

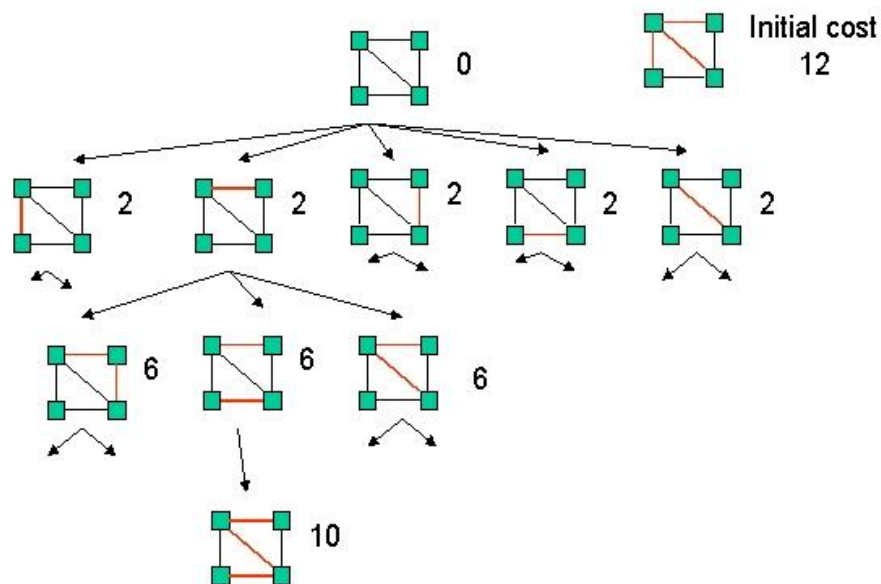


Figura 13: Ejemplo de Algoritmo Branch and Bound

Tomado de: («Example of Branch and Bound», s. f.)

2.6.4. Two Steps Exchange

El algoritmo se basa en que, si en el problema planteado existe un cruce de rutas, éste puede ser acortado con gran facilidad. El procedimiento consiste en eliminar los caminos que estén cruzados y reconectarlos con un solo ciclo, resultado un camino mucho más corto que el inicial.

El éxito del algoritmo es que, a medida de ir acortando los caminos, se va actualizando los nodos sobrantes, tomando en cuenta que es un algoritmo bastante complejo y de gran precisión es muy confiable, puesto que representa una de las rutas más óptimas. TSP: Algoritmos de resolución. (s. f.).

2.7. Aplicación de TIC's

Los problemas de optimización y logística poseen varios métodos de solución, incluye la aplicación de modelos matemáticos, pero estos no siempre resultan la mejor solución frente al problema inicial, por lo tanto, la necesidad de utilizar métodos heurísticos que no siempre brindan la solución óptima éstos tienden a acercarse con un porcentaje de probabilidad bien alto.

Sin embargo, la tecnología hoy en día facilita la resolución de dichos problemas mediante la utilización de métodos heurísticos en los softwares disponibles.

Para una buena identificación del óptimo software para la resolución de rutas es de suma importancia saber identificar el modelo de resolución que queremos, ya que el programa de resolución a escoger debe cumplir con las necesidades para resolver el problema y que, siendo un software no se presentará variabilidad en cuanto a resultados. Belaire, M. a B. F. (2011).

2.7.1. LogVRP

Log VRP, es un software que en base a dos algoritmos de resolución permite la optimización de rutas, planeación de fletes y la programación exacta del servicio en cuanto a logística. Log VRP se basa en lo siguiente:

- Adaptive Largescale Neighbourhood Search: Los puntos de venta para las distintas entregas se agrupan de distinta manera en función a la localización geográfica. Considera la posibilidad de un tercer logístico, cuando una entrega está fuera de la zona.

2.7.1.1. Beneficios del LogVRP

- Ahorrar dinero
- Reduce el consumo de combustible
- Utiliza recursos de manera eficiente
- Reducir distancias
- Aumenta el volumen de negocios
- Posee procesos mesurables y sistemáticos
- Minimizar tiempo
- Incremento de la Satisfacción al Cliente
- Protección el medio ambiente

2.7.1.2. Características del Programa

- Programa que se trabaja por medio de internet
- Más de un tipo de VRP se puede manejar para diferentes problemas de enrutamiento de vehículos.
- Resume los resultados y brinda una vista detallada
- Exporta la información de resultados
- Importa información
- Re calcula y permite editar rutas

- Permite adicionar múltiples cantidades de vehículos y órdenes de compra («logvrp - Route Optimization and Fleet Planning Web Application - Pricing», s. f.)

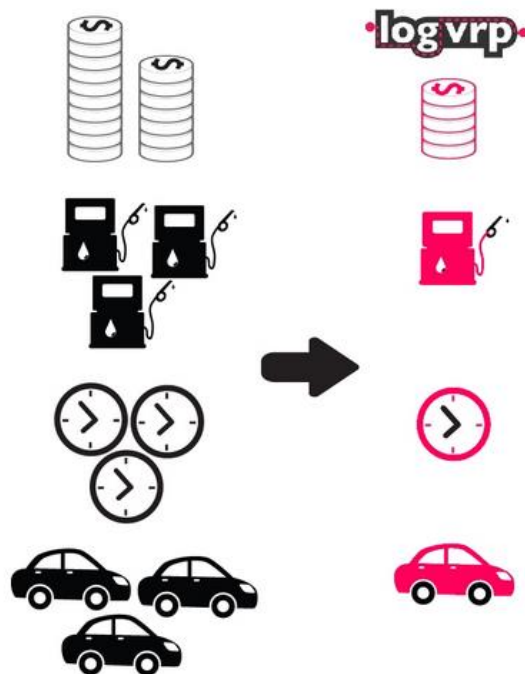


Figura 14: Características LogVRP

Tomado de: («logvrp - Route Optimization and Fleet Planning Web Application - Pricing», s. f.)

2.7.2. WinQSB

Consiste de un software interactivo que mediante distintos algoritmos de solución brinda una respuesta ante el problema planteado. En WinQSB sobresalen los siguientes algoritmos:

- Programación Lineal: Dentro de la LP, el software utiliza métodos de solución como Simplex, Programación Lineal Gráfica, Ramificación y Acotación (Branch&Bound)
- Programación de Objetivos Lineales: Brinda ayuda cuando el problema presenta múltiples objetivos con restricciones lineales.

- Programación Cuadrática: Mediante la utilización del método Simplex, da solución a problemas que presentan una función objetivo cuadrática y restricciones lineales.
- Modelado de Red: permite resolver problemas de transporte, ruta más corta, maximización de flujo, problema del agente viajero.
- Programación No Lineal: Con la ayuda del método SUMT (función objetivo con penalizaciones sobre el incumplimiento de restricciones), da solución a problemas no lineales irrestringidos.

WinQSB, es compatible en el sistema operativo Windows, de una manera interactiva con el usuario como son las ventanas y los menús desplegables. Por tanto, la utilización del programa es muy similar a cualquier otro que se maneje dentro del entorno Windows. («Introducción al programa WinQSB - WinQSB2.0.pdf», s. f.)

3. CAPÍTULO III: ANÁLISIS DE LA SITUACIÓN ACTUAL

3.1. Diagrama de Causa Efecto

Para poder entender el origen causal del problema, el diagrama de causa efecto ordena los motivos, distribuyéndolos en las 7 M's, Medición, Materiales, Medio Ambiente, Método, Maquinarias, Mano de Obra, Managing; mediante una recolección de información brindada por el alta directiva, el diagrama se representa en la (**Figura 15**).

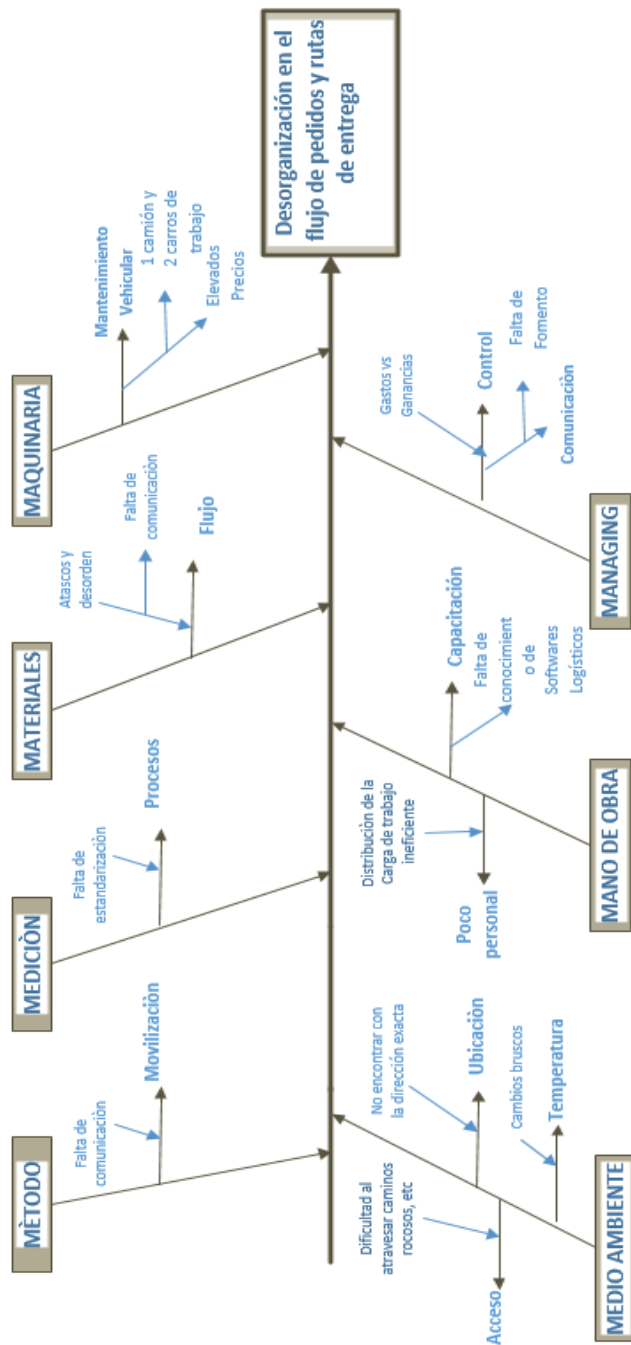


Figura 15: Diagrama de Causa Efecto DISLOJA

3.2. Flujograma DISLOJA

Tomando en cuenta que en la provincia de Loja existe mayor cantidad de ventas y clientes, DISLOJA para esa provincia realiza la preventa, en la cual recoge todo el pedido del cliente, y el despacho, en el que se entrega conforme fueron recogidos los pedidos en la preventa. Mientras que en la provincia de Cotopaxi es lo contrario, puesto que la cantidad de ventas y clientes es muy limitada; por lo tanto, con la ayuda de una colaboradora se realiza la venta directa.

A continuación, el flujograma que representa el proceso de comercialización en la provincia de Loja.

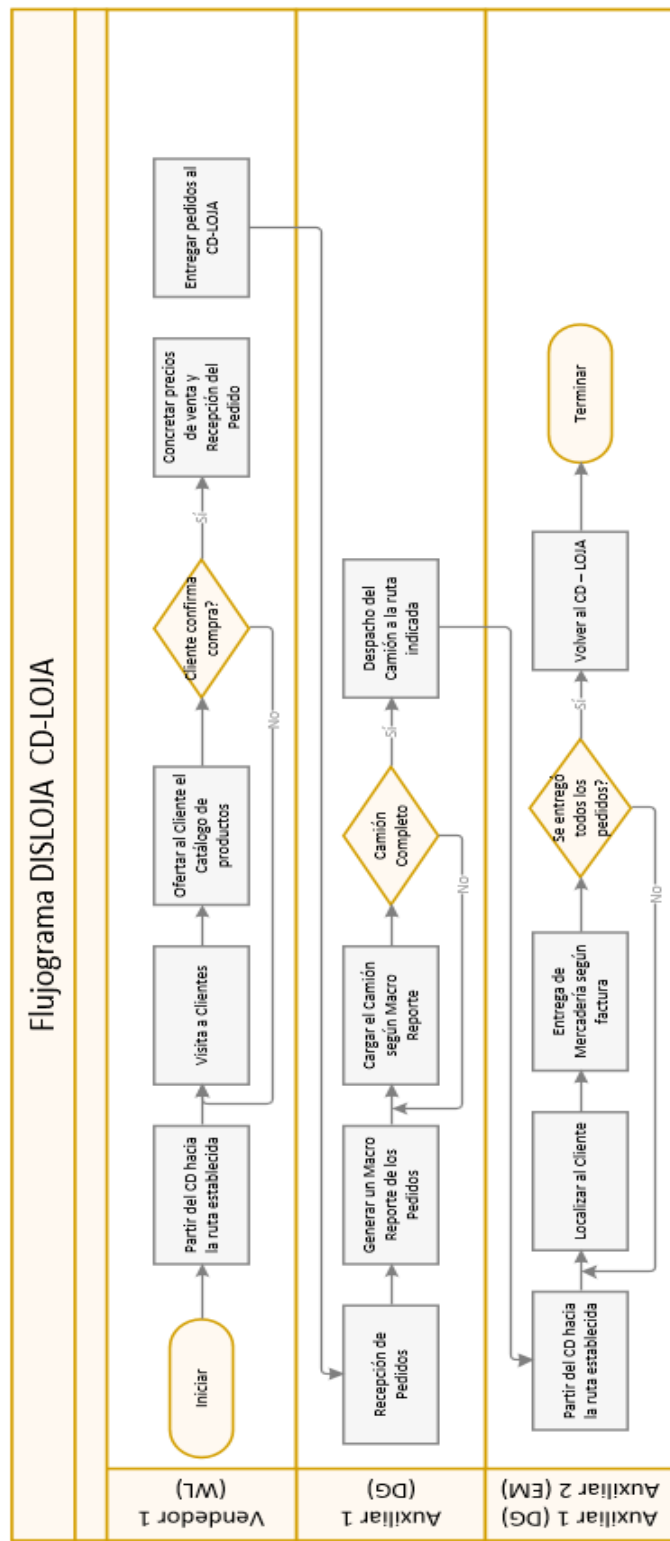


Figura 16: Flujograma DISLOJA CD- Loja

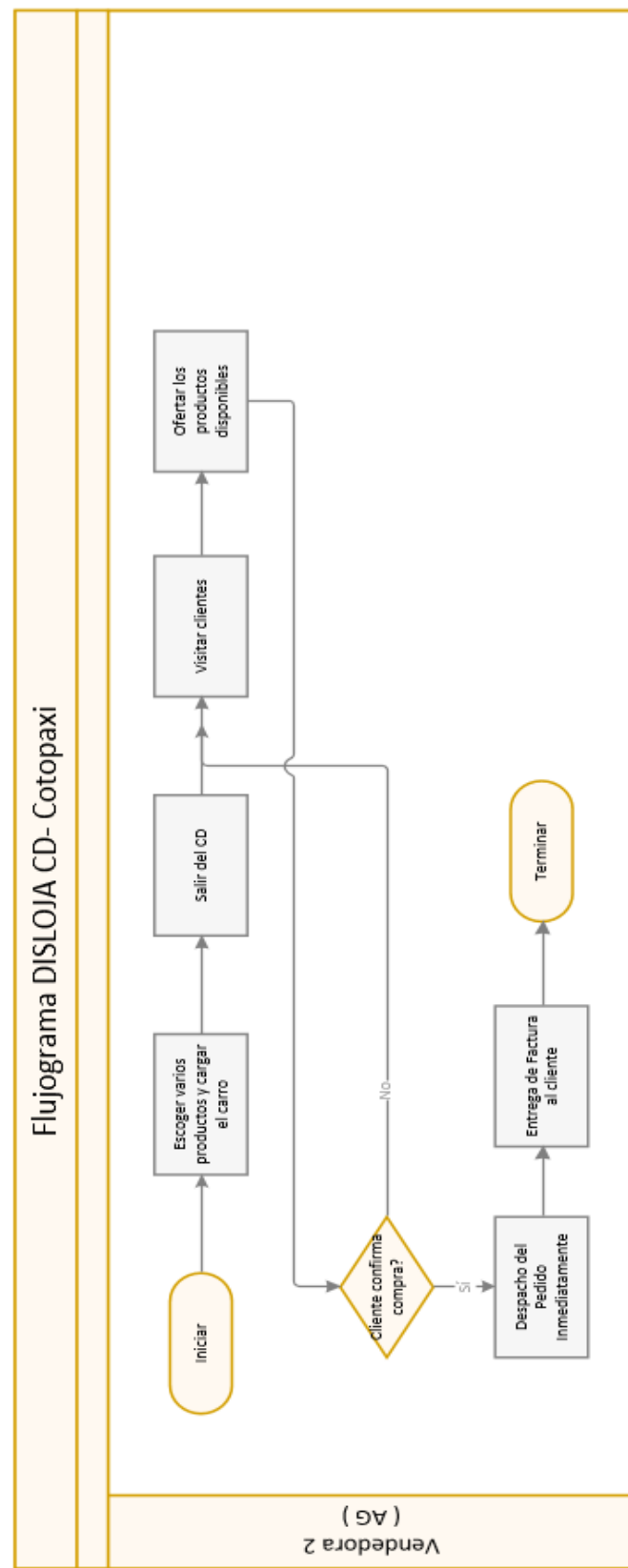


Figura 17: Flujograma DISLOJA CD- Cotopaxi

3.2.1. Mercado Proveedor

DISLOJA, pensando en los costos logísticos de entrega de producto, ha decidido trabajar para la provincia de Loja con proveedores de la misma provincia o cercanos, y para Cotopaxi de la misma forma. De esta manera el precio de venta de los productos a los clientes no se eleva exageradamente y estaría apto para competir con otros comerciantes de confitería.

Provincia de Loja:

- Calva & Calva
- Comercializadora DARPA
- Comercializadora del Austro
- Confiteca
- Cordialsa
- DICAVI
- DIFAR
- DIPOR
- Distribuidora Granda
- Distribuidora F.A.G.I
- Distribuidora e Importadora ROMAR
- Ranchito



Figura 18: Proveedores LOJA

Para Cotopaxi:

- Grupo Pydaco
- Colombina
- Confitería Nancita
- Confitería Lourdes
- Confitería Rosita



Figura 19: Proveedores Cotopaxi

3.3. Procesos Actuales

3.3.1. Proceso Logística de Entrada

El proceso para contactar a los proveedores es distinto en las 2 provincias. En Loja disponen de un software llamado Visual Fact para llevar el control del centro de distribución, sin embargo, esta herramienta no está siendo usada al 100%, puesto que los usuarios no están del todo capacitados para llevar a cabo. Es por eso que, ciertos productos se encuentran ingresados al sistema mientras que otros no, entonces, para determinar la cantidad a solicitar al proveedor se debe revisar el sistema y también de forma manual la bodega y anotar los productos que están próximos a agotarse.

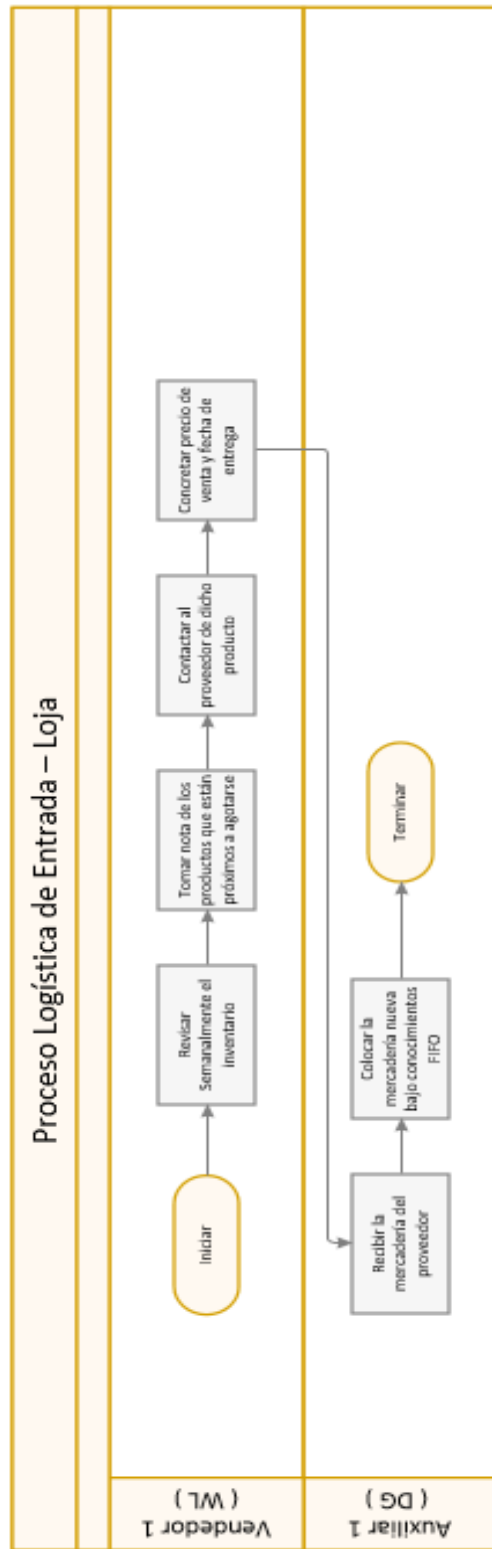


Figura 20: Logística de entrada CD-Loja

Por otro lado, en Cotopaxi se realiza de forma manual la revisión de la bodega y anotación de productos que están próximos a agotarse.

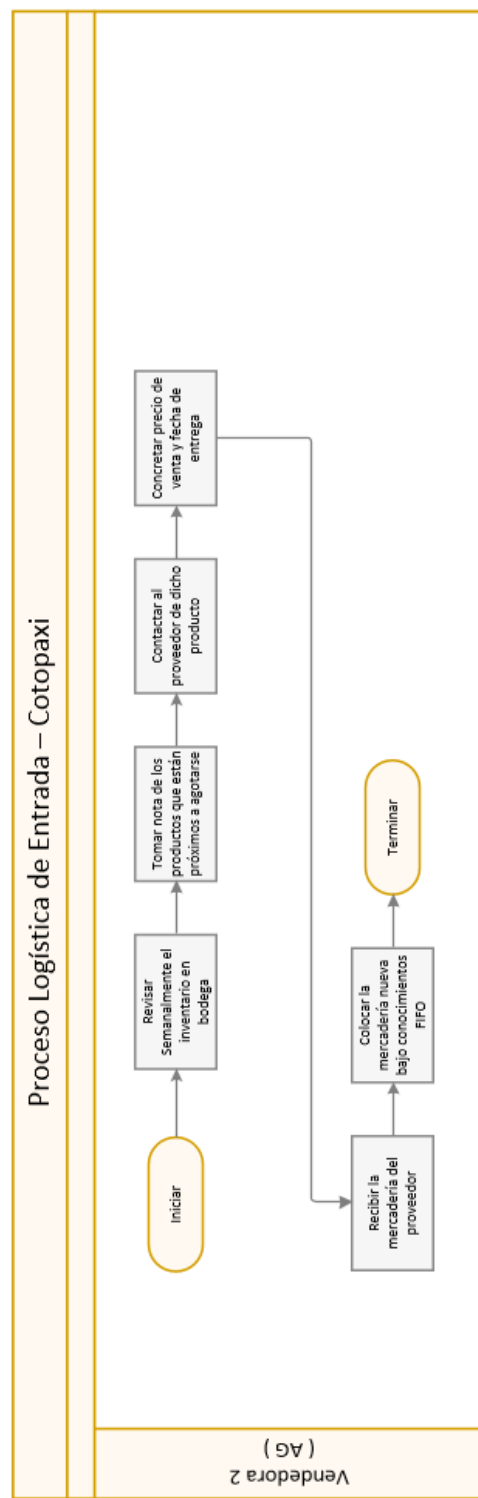


Figura 21: Logística de entrada CD-Cotopaxi

3.3.2. Procesamiento Actual de Pedidos DISLOJA

Sabiendo que en las dos provincias el mecanismo de trabajo es distinto, por ende, el procesamiento de pedidos se lo realiza de manera que en Loja se tome en cuenta la preventa y despacho, mientras que en Cotopaxi el despacho.

- Loja

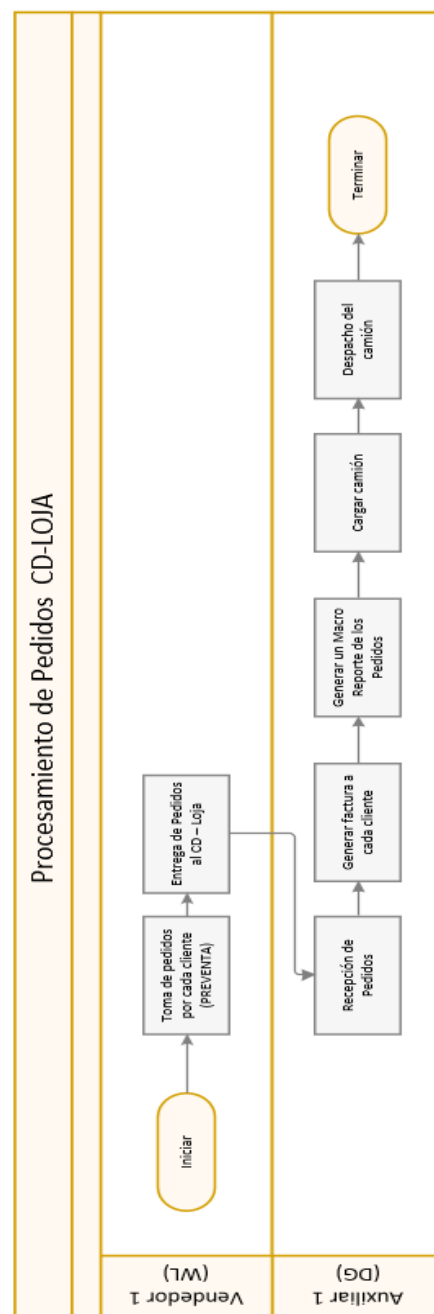


Figura 22: Procesamiento de pedidos DISLOJA CD-Loja

- Cotopaxi

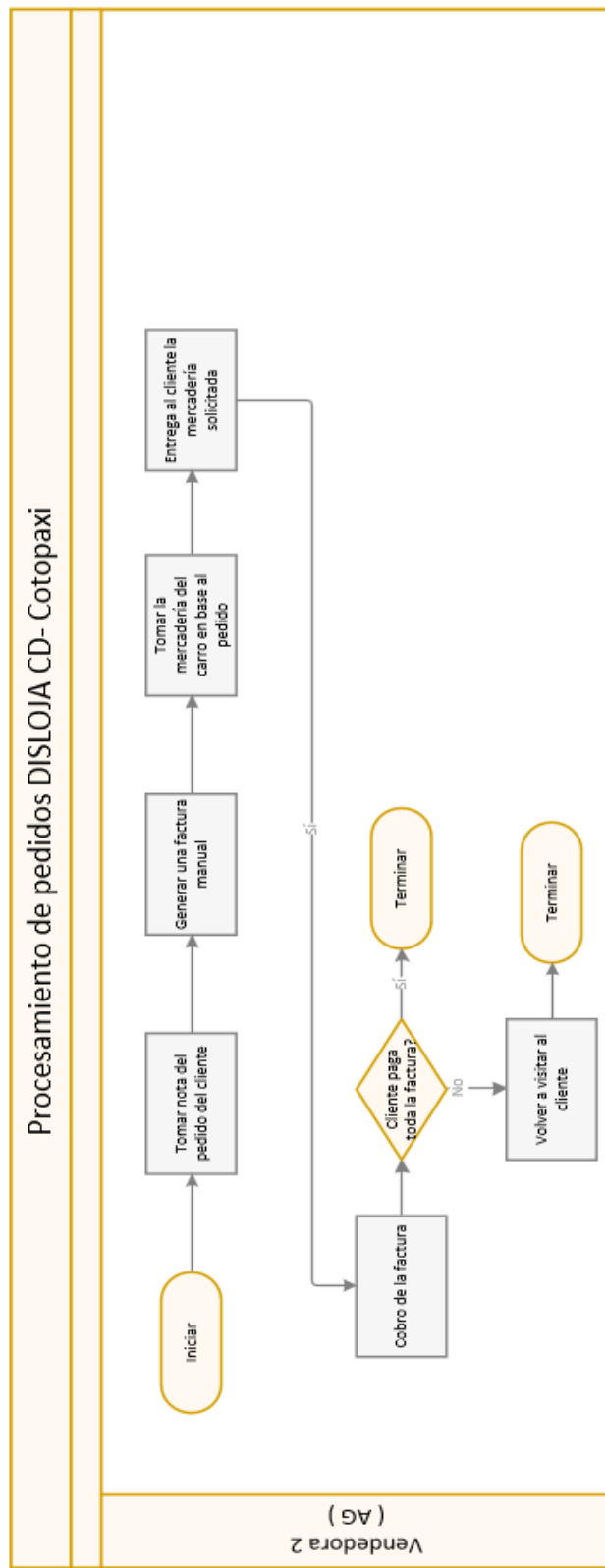


Figura 23: Procesamiento de pedidos DISLOJA CD-Cotopaxi

3.3.3. Proceso de Despacho Actual

Con la ayuda de dos colaboradores en la provincia de Loja, Diego y Edison, se realiza el despacho de los productos previamente señalados en la preventa. En Cotopaxi, Alicia es la colaboradora encargada de realizar el despacho el mismo momento de la venta del producto.

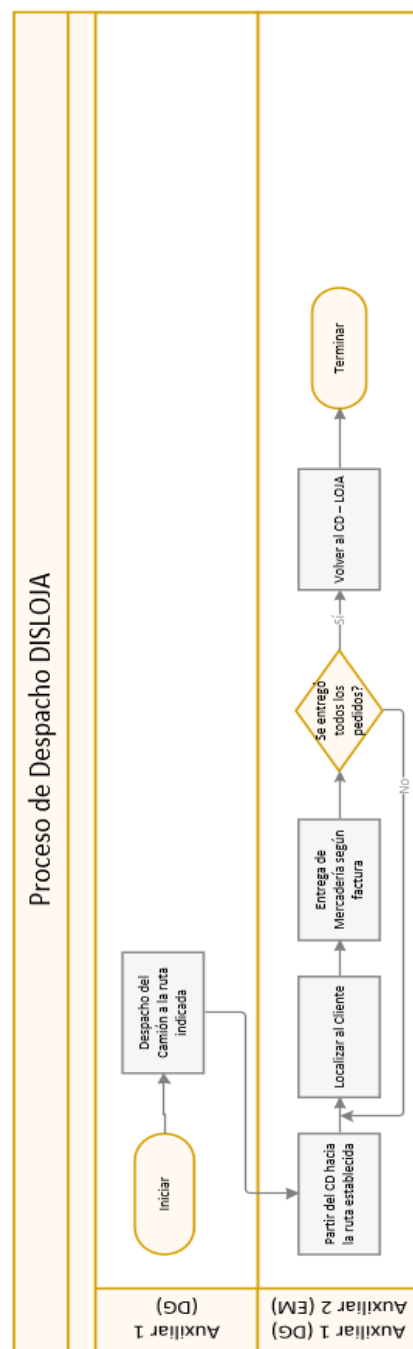


Figura 24: Proceso de despacho DISLOJA

3.3.3.1. Valor del Proceso de Despacho

Por tanto, el valor del proceso de despacho de DISLOJA mensual es de \$2.042,00 mensuales aproximadamente. Conociendo que según DISLOJA se realizan alrededor de 40 reparticiones a clientes por ruta, el valor del despacho individual a cada cliente es:

Tabla 3.

Valor del proceso de despacho

| | Rubros | Costo / Mensual |
|-----------------|-------------------|--------------------|
| Personal | Diego Granda | \$ 850,00 |
| | Edison Medina | \$ 400,00 |
| Camión | Mantenimiento | \$ 120,00 |
| | Gasolina | \$ 206,00 |
| | Matriculación | \$ 10,00 |
| | Peajes | \$ 15,00 |
| | Neumáticos | \$ 96,00 |
| | Depreciación | \$ 100,00 |
| Viáticos | Diego Granda | \$ 100,00 |
| | Edison Medina | \$ 100,00 |
| Otros | Software | \$ 10,00 |
| | Telefonía | \$ 20,00 |
| | Servicios Básicos | \$ 15,00 |
| TOTAL | | \$ 2.042,00 |

$$\frac{\$ 2.042,00 \text{ mensual}}{320 \text{ mensual}} = \$ 6,38$$

Al realizar aproximadamente 40 reparticiones por ruta y considerando que a la semana se abarcan 2 rutas, mensualmente corresponde a hacer 320 reparticiones.

Por lo tanto, el valor de hacer un despacho que comprende llegar al cliente y hacer la respectiva entrega de la mercadería cuesta para DISLOJA \$6,38.

3.4. Distribución de la Carga de Trabajo

Las actividades en cuanto a la distribución de trabajo son distintas en la provincia de Loja y Cotopaxi. Tomando en cuenta que en Loja se tiene mayor cantidad de clientes y productos se realiza una preventa más la ayuda de un chofer y el ayudante mientras que, en Cotopaxi por la reducida cantidad de clientes se realiza una venta directa a los clientes establecidos.

A continuación, se presenta la manera en la cual se está efectuando las labores de cada colaborador:

- Washington Loyola Celi(WL)

Dueño de la empresa, con experiencia en ventas por más de 20 años es por eso que, en la empresa ejerce distintas labores, principalmente la de preventa de todos los productos que oferta DISLOJA, por otro lado, siempre está en contacto con los proveedores para realizar la mejor comercialización, cumpliendo así los objetivos de la empresa. Como meta tiene puesta vender en promedio \$2,500.00 por cada ruta establecida.

El colaborador cumple con la visita de dos rutas por semana, como se puede observar en la **Tabla 2**.

Además, Washington cumple con la función de facturación en el sistema Visual Fact luego de haber cumplido con la visita de una ruta.

- Diego Granda Gutiérrez (DG)

Chofer distribuidor de la empresa, nuevo en DISLOJA, pero con experiencia en cargos similares. Encargado de realizar las entregas de pedidos hechos en la preventa por el Sr. Loyola. Una vez cargado el camión repartidor con la ayuda de Edison Medina salen a la distribución en la provincia de Loja cumpliendo asimismo dos rutas por semana.

- Edison Medina (EM)

Para la provincia de Loja, también se cuenta con la ayuda del empleado Edison, joven nuevo en el negocio, ayudante de repartición de mercadería al empleado Diego Granda.

- Alicia Granda Gutiérrez (AG)

Esposa del Sr. Loyola, dueña igual de DISLOJA, con experiencia en ventas y comercialización por más de 10 años, cumple con funciones similares en la provincia de Cotopaxi; con la distinción de que en la Sra. Alicia realiza venta directa ya que la cantidad de clientes en Cotopaxi es pequeña. Ella cumple con una ruta por semana. Es decir, a cada cliente se lo visita cada 15 días.

Además, la Sra. Alicia es la encargada de la facturación diaria y contacto con proveedores para la respectiva comercialización de mercancía.

3.5. Inventario

La planificación de inventario de DISLOJA se maneja semanalmente y quincenal, esto depende del proveedor y de la rotación del producto. Entonces, para DISLOJA es de suma importancia poseer un inventario que mínimo abastezca a los clientes para 15 días en la provincia de Loja y de una semana para la provincia de Cotopaxi.

DISLOJA, posee un nivel de inventario tanto en la provincia de Loja como en Cotopaxi, en la provincia de Loja se tiene en inventario aproximadamente \$11.000 mientras que en Cotopaxi \$ 3.000.

3.5.1. Proceso de Disposición de Inventario

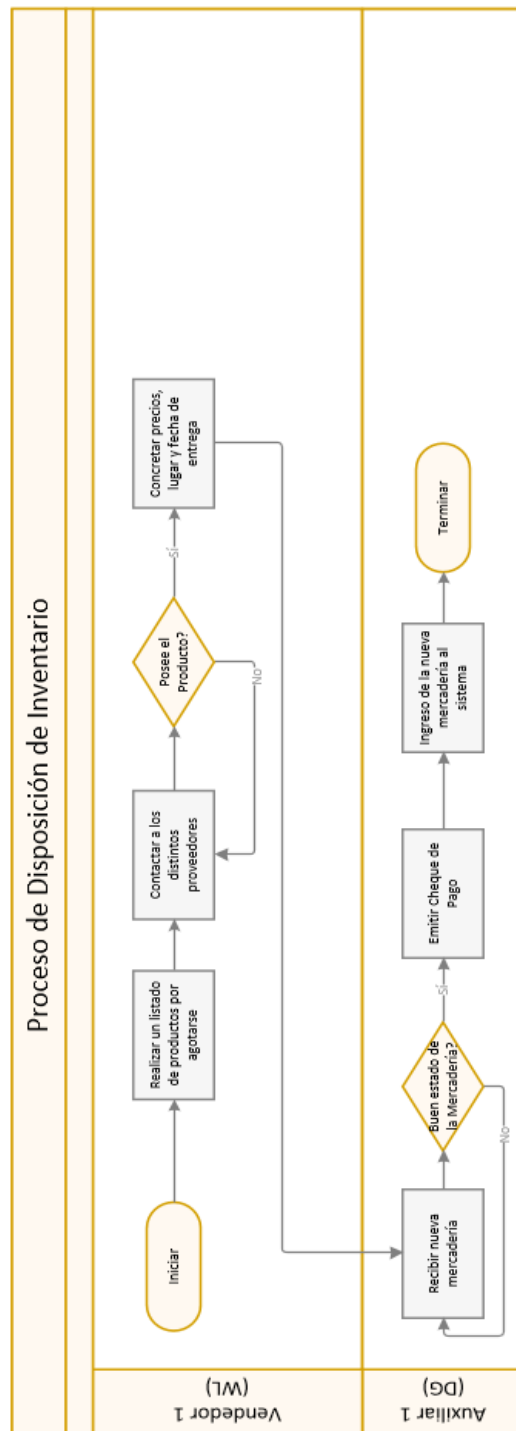


Figura 25: Proceso de Disposición de Inventario

3.5.2. Servicio al Cliente

Para determinar el porcentaje de servicio al cliente de DISLOJA, se va a tomar los pedidos de una semana arbitraria de la ruta que más ganancia genera, entonces para la provincia de Loja se tiene:

Total, Facturado en la ruta 1 de una semana arbitraria es de **\$2,461.35**, correspondiente a vender lo siguiente:

Tabla 4.

Detalle Unidades vendidas negadas y el valor que representa ruta 1

| RUTA 1 | | | | |
|---------|-------------------|-------------|------------------|--------------------|
| CLIENTE | UNIDADES VENDIDAS | VALOR TOTAL | UNIDADES NEGADAS | VALOR TOTAL NEGADO |
| 1 | 17 | \$34,39 | 0 | \$- |
| 2 | 83 | \$81,47 | 0 | \$- |
| 3 | 33 | \$28,48 | 0 | \$- |
| 4 | 6 | \$19,95 | 0 | \$- |
| 5 | 34 | \$31,06 | 0 | \$- |
| 6 | 43 | \$24,75 | 0 | \$- |
| 7 | 15 | \$17,91 | 0 | \$- |
| 8 | 4 | \$17,06 | 0 | \$- |
| 9 | 15 | \$72,29 | 0 | \$- |
| 10 | 209 | \$215,84 | 0 | \$- |
| 11 | 64 | \$70,72 | 0 | \$- |
| 12 | 36 | \$32,66 | 0 | \$- |
| 13 | 14 | \$44,23 | 0 | \$- |
| 14 | 81 | \$95,88 | 0 | \$- |
| 15 | 54 | \$67,36 | 0 | \$- |
| 16 | 79 | \$182,18 | 0 | \$- |

| | | | | |
|--------------|-----|-------------------|----|----------------|
| 17 | 12 | \$34,76 | 0 | \$- |
| 18 | 13 | \$29,40 | 13 | \$29,40 |
| 19 | 76 | \$85,72 | 0 | \$- |
| 20 | 12 | \$33,84 | 0 | \$- |
| 21 | 11 | \$20,00 | 0 | \$- |
| 22 | 9 | \$13,85 | 0 | \$- |
| 23 | 12 | \$9,25 | 0 | \$- |
| 24 | 21 | \$30,41 | 0 | \$- |
| 25 | 8 | \$11,16 | 0 | \$- |
| 26 | 44 | \$57,11 | 0 | \$- |
| 27 | 84 | \$192,55 | 0 | \$- |
| 28 | 43 | \$89,52 | 0 | \$- |
| 29 | 15 | \$22,40 | 0 | \$- |
| 30 | 12 | \$22,33 | 0 | \$- |
| 31 | 16 | \$19,24 | 0 | \$- |
| 32 | 8 | \$16,17 | 0 | \$- |
| 33 | 68 | \$82,33 | 0 | \$- |
| 34 | 20 | \$23,35 | 0 | \$- |
| 35 | 12 | \$19,85 | 0 | \$- |
| 36 | 39 | \$51,00 | 0 | \$- |
| 37 | 71 | \$81,88 | 0 | \$- |
| 38 | 298 | \$344,94 | 0 | \$- |
| 39 | 27 | \$31,30 | 0 | \$- |
| 40 | 63 | \$87,01 | 0 | \$- |
| 41 | 12 | \$15,75 | 3 | \$5,40 |
| TOTAL | | \$2,461,35 | | \$34,80 |

Entonces para la provincia de Loja en la ruta 1 si se presentan 2 clientes con unidades negadas, que representa **\$34,80**, por lo tanto, el nivel de servicio es el siguiente:

$$\frac{\$2.461,35}{\$2.461,35+\$34,80} = \textcolor{red}{98,60\%} \quad (\textbf{Ecuación 7})$$

Mientras que, para la provincia de Cotopaxi se puede hacer un desglose de lo facturado en una semana de una ruta en este caso la ruta 5 ya que son pocos clientes en relación a la provincia de Loja y las ventas son menores.

Tabla 5.

Detalle Unidades vendidas negadas y el valor que representa ruta 3

| Ruta 5 | | | | |
|----------------|--------------------------|---------------------------|-------------------------|----------------------------------|
| Cliente | UNIDADES VENDIDAS | VALOR TOTAL [\$] | UNIDADES NEGADAS | VALOR TOTAL NEGADO [\$] |
| Cliente 1 | 22 | \$ 62,14 | 0 | \$ - |
| Cliente 2 | 51 | \$ 47,50 | 0 | \$ - |
| Cliente 3 | 15 | \$ 22,25 | 0 | \$ - |
| Cliente 4 | 7 | \$ 32,60 | 0 | \$ - |
| Cliente 5 | 8 | \$ 42,38 | 0 | \$ - |
| Cliente 6 | 4 | \$ 25,00 | 0 | \$ - |
| Total | 210 | \$ 438,74 | | |

La unidad negada en este caso no aplica ya que a medida que la vendedora recorre oferta los productos con una venta directa. Por tanto, ocupando la ecuación 2 el nivel de servicio está dado de la siguiente manera:

$$\frac{\$231,87}{\$231,87+\$0} = \textcolor{red}{100\%} \quad (\textbf{Ecuación 6})$$

3.6. Rutas

3.6.1. Plan de Viajes DISLOJA

- Loja

Tabla 6.

Plan de Viajes y Rutas DISLOJA -LOJA

| | SEMANA 1 | | | SEMANA 2 | | | |
|-----------------------|-------------------|--------------------|--------|----------|--------|--------|--------|
| | Lunes - miércoles | Miércoles- Viernes | Ruta 1 | Ruta 2 | Ruta 3 | Ruta 3 | Ruta 4 |
| Preventa (WL) | X | | | X | | X | |
| Despacho (DG & EM) | | X | | | X | | X |

El de viajes empieza con el señor Loyola, tomándose dos días y medio para acabar dicha ruta; una vez concluida se procesa los pedidos Figura 21., y el proceso de despacho empieza a la ruta previamente visitada por el Sr. Loyola. Éste proceso se repite a lo largo de todo el mes con las 4 rutas que comprende en la provincia de Loja.

- Cotopaxi

Por otro lado, en esta provincia el plan de viajes consta de la siguiente manera:

Tabla 7.

Plan de Viajes y Rutas DISLOJA – Cotopaxi

| | SEMANA 1 | |
|---------------|----------------|------------------|
| | Lunes - Martes | Jueves - Viernes |
| | Ruta 5 | Ruta 6 |
| Venta (AG) | X | X |

Tal como se expresa, la vendedora se toma día y medio para acabar cada una de las rutas, siendo éste un ciclo repetitivo durante todo el mes.

3.6.2. Clientes Visitados

Provincia de Loja

En la provincia de Loja, el Sr. Loyola por cada ruta visita en promedio 45 clientes tomando un tiempo de preventa para esa cantidad de clientes de 2 días aproximadamente. Es decir, viaja el lunes por la mañana a la ruta 1, llegando a su primer destino luego de abastecer a todos los clientes, retorna al centro de distribución.

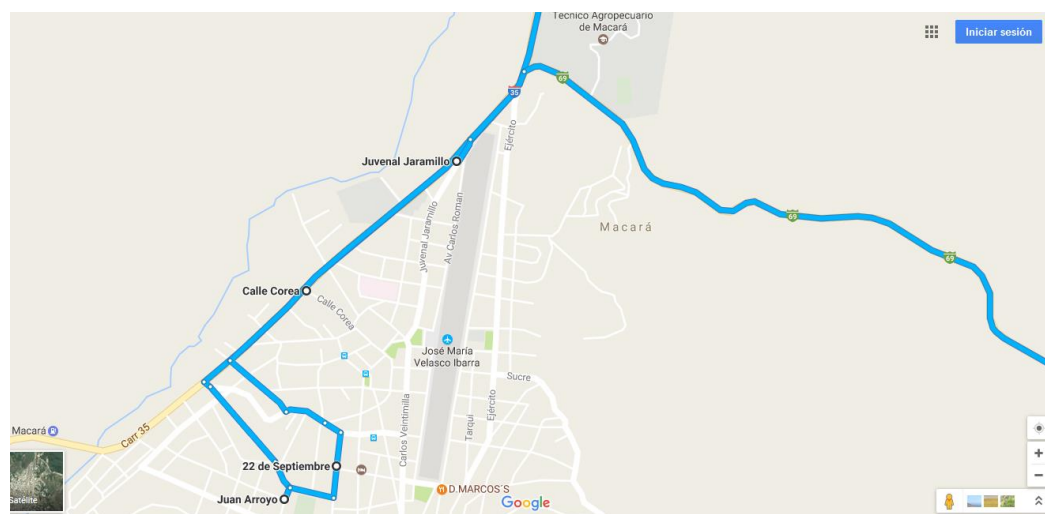
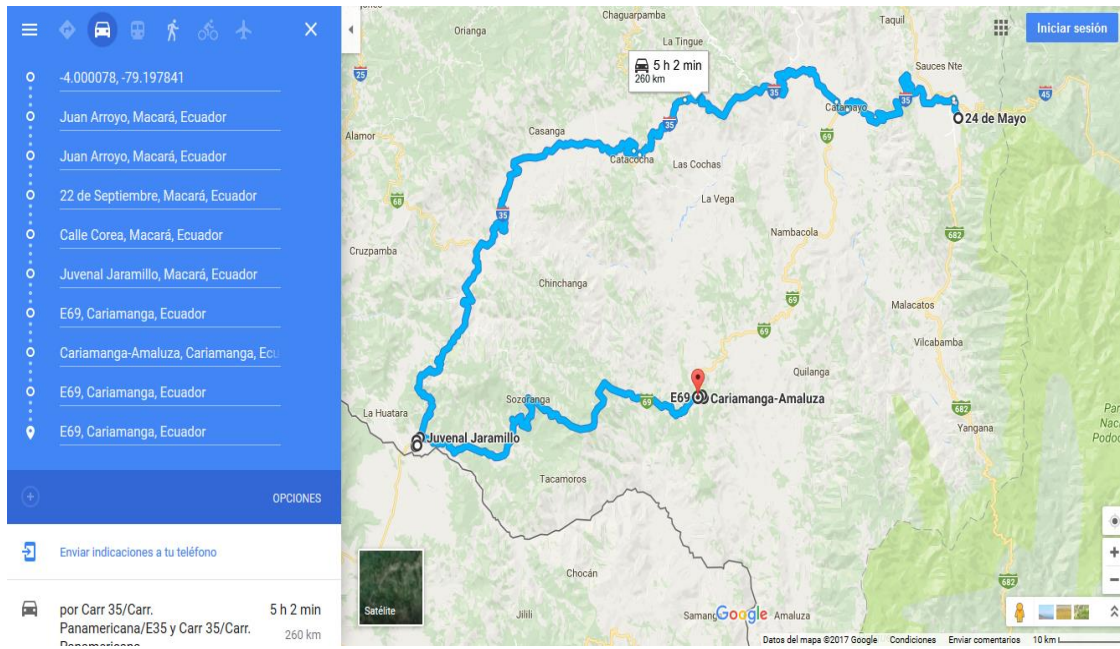
- Ruta 1

La ruta 1 ubicada en la provincia de Loja y que comprende los cantones de Catamayo-Gonzanamá-Cariamanga-Macará, representa la mayor rentabilidad para DISLOJA, cuenta dicha ruta con 47 clientes que se detallan en el (**Anexo1**).

Para el ejemplo predictor se toma 9 clientes potenciales de la ruta 1 y se los ubica en el mapa en la (**figura 26**).

Para poder ubicar geográficamente cada cliente se necesita las coordenadas, latitud y longitud que se muestran en el (**Anexo 1**).

Tomando en cuenta que el centro de distribución en la provincia de Loja se encuentra en la ciudad Loja, Av. 24 de mayo y Azuay; (**-4.000078, -79.197841**).



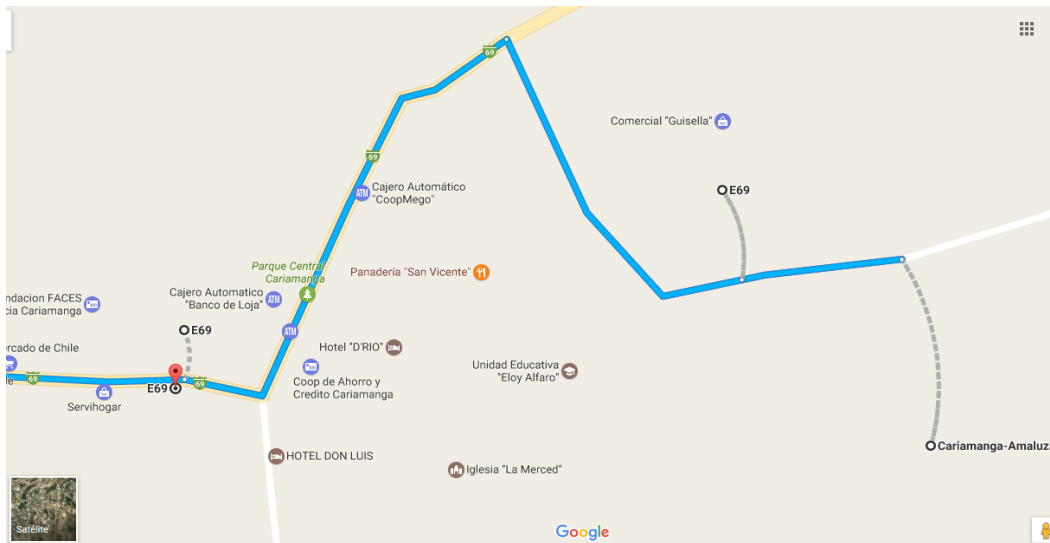


Figura 28: Ubicación clientes en el cantón Calvas de la provincia de Loja de la ruta 1

Tomado de: («Google Maps», s. f.)

Una de las restricciones en Google Maps es que permite introducir máximo 10 puntos incluyendo el centro de distribución, por lo tanto, en las figuras 20-22, se expresa los 9 primeros destinos.

- Ruta 2

En la ruta 2, que comprende visitar Loja – Catacocha – Alamor – Celica, DISLOJA cuenta con 40 clientes, el detalle de los mismos, Nombre, Código, CI, Dirección, Cantón y Coordenadas, se expresa en el (**Anexo 2**).

- Ruta 3

Para la Ruta 3 DISLOJA cuenta con 30 clientes que se detallan con Nombre, Código, CI, Dirección, Cantón y Coordenadas en el (**Anexo 3**).

- Ruta 4

La ruta 4 contiene 35 clientes los mismos que se encuentran a detalla en (**Anexo4**).

Provincia de Cotopaxi

Como se ha mencionado, DISLOJA también hace cobertura en la provincia de Cotopaxi con la ayuda de una vendedora que realiza venta directa y tiene a cargo la **ruta 5 y 6**.

- Ruta 5

DISLOJA, con la ayuda de la vendedora la Sra. Alicia, para la ruta 5 que contiene 15 clientes y comprende los cantones de Latacunga – Salcedo los detalles se encuentran en el (**Anexo 5**).

- Ruta 6

Al igual que en la ruta 5, la vendedora Sra. Alicia se encarga de la ruta 6 con 15 clientes (**Anexo 6**).

3.6.3. Distancias Euclidianas

El objetivo de elaborar una matriz euclíadiana es conocer la distancia lineal desde un punto a otro. Para elaborar dicha matriz, se necesita previamente datos como las coordenadas del cliente, longitud y latitud, coordenadas del centro de distribución y mediante la aplicación de la ecuación 4 se obtiene los resultados.

3.6.3.1. Distancias Euclidianas Ruta 1

Para elaborar un ejemplo predictor, se tomará una muestra de 9 clientes de la ruta 1, a partir de eso los datos en la tabla 8.

Coordenada del centro de distribución Loja: **-4.000078, -79.197841**

Tabla 8.

Distancias Euclidianas Ruta 1 con 9 clientes

| Distancias euclidianas desde el Centro de Distribución Loja "DISLOJA" | | | | | | | | | | |
|---|------|------|--------|--------|--------|--------|---------|---------|--------|--------|
| | 0 | 1 | 2 | 3 | 4 | 5 | 6 | 7 | 8 | 9 |
| 0 | 0 | 0,33 | 0,48 | 0,48 | 0,48 | 0,83 | 0,83 | 0,83 | 0,84 | 0,83 |
| 1 | 0,33 | 0 | 0,15 | 0,14 | 0,14 | 0,52 | 0,52 | 0,52 | 0,53 | 0,53 |
| 2 | 0,48 | 0,15 | 0 | 0,0083 | 0,0061 | 0,3868 | 0,3867 | 0,3918 | 0,3934 | 0,3917 |
| 3 | 0,48 | 0,14 | 0,0083 | 0 | 0,0024 | 0,3948 | 0,3948 | 0,3998 | 0,401 | 0,399 |
| 4 | 0,48 | 0,14 | 0,0061 | 0,0024 | 0 | 0,43 | 0,39 | 0,397 | 0,399 | 0,3978 |
| 5 | 0,83 | 0,52 | 0,3868 | 0,3948 | 0,43 | 0 | 0,00012 | 0,006 | 0,114 | 0,0099 |
| 6 | 0,83 | 0,52 | 0,3867 | 0,3948 | 0,39 | 0,0001 | 0 | 0,00854 | 0,011 | 0,01 |
| 7 | 0,83 | 0,52 | 0,3918 | 0,3998 | 0,397 | 0,006 | 0,00854 | 0 | 0,0063 | 0,0054 |
| 8 | 0,84 | 0,53 | 0,3934 | 0,401 | 0,399 | 0,114 | 0,011 | 0,00635 | 0 | 0,0018 |
| 9 | 0,83 | 0,53 | 0,3917 | 0,399 | 0,3978 | 0,0099 | 0,01 | 0,0054 | 0,0018 | 0 |

3.6.3.1.1. Planificación Actual de Rutas

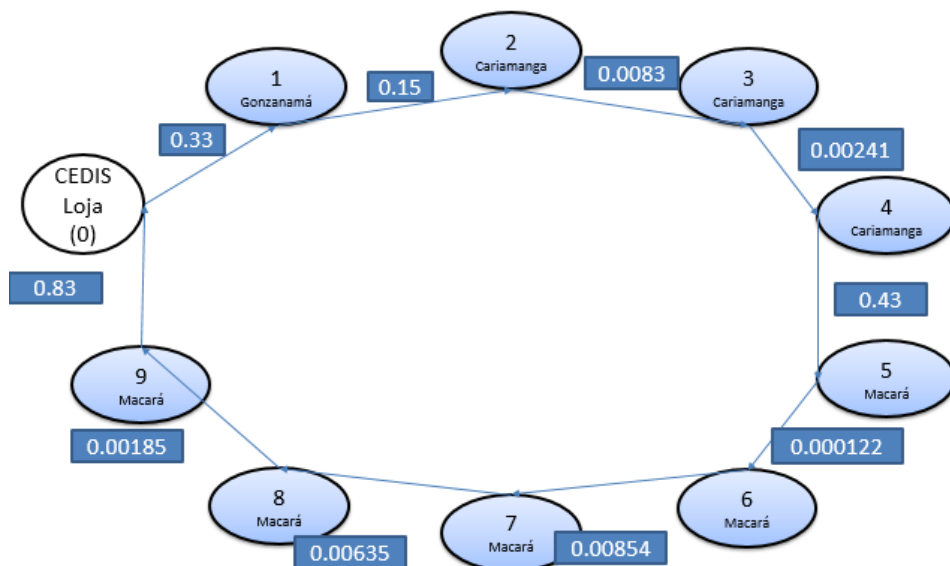


Figura 29. Planificación Actual de Ruta 1 con 9 clientes

Para cumplir con la visita de los 9 clientes de la ruta 1 se tiene que seguir la secuencia 0- 1 -2 -3 -4 -5 -6 -7 -8 -9 -0, tomando en cuenta que retorna al centro de distribución Loja se tiene que recorrer 1.76 kilómetros euclidianos (**Tabla 9**).

Tabla 9.

Secuencia de Ruta 1 y distancia eucladiana

| Ruta | Distancia [km euclidianos] |
|------------------|--------------------------------|
| 0-1- | 0,33 |
| 1-2- | 0,15 |
| 2-3- | 0,0083 |
| 3-4- | 0,00241 |
| 4-5- | 0,43 |
| 5-6- | 0,000122 |
| 6-7- | 0,00854 |
| 7-8- | 0,00635 |
| 8-9- | 0,00185 |
| 9-0. | 0,83 |
| Distancia | 1,767572 km |

4. CAPÍTULO IV: APLICACIÓN DE TIC's

En base al diagnóstico de la situación actual de las bodegas 32 y 77 realizado en el capítulo anterior, se desarrollará una propuesta de mejora, en cuanto se refiere a la distribución de la mercadería dentro de las bodegas, mediante un análisis ABC de los productos y volumen en términos de capacidad, que viabilice la implementación de un tipo de almacenamiento adecuado y permita a su vez manejar un flujo de transporte de la mercadería más eficiente.

4.1. Algoritmo de Resolución

Problema del Agente Viajero

Para problemas de logística existen varios métodos de llegar a la respuesta, por ende, el algoritmo óptimo para resolución debe ser uno que encaje a las restricciones que contiene el problema, y que para las condiciones de DISLOJA el algoritmo del agente viajero TSP es el que más se ajusta a las necesidades.

Por lo tanto, las restricciones de DISLOJA, para la provincia de Loja son las siguientes:

- La persona encargada de la preventa y el de las entregas deben cumplir con dos rutas por semana, desde lunes 7h30 hasta el día sábado 17h00
- Tanto en la preventa como en la entrega de mercancía se debe visitar una sola vez a cada cliente y regresar al centro de distribución en la ciudad de Loja.
- Para cubrir cada ruta se tiene en promedio dos días y medio.

Con las restricciones antes presentadas se pretende optimizar las distancias que a su vez involucra tiempos, recursos y costos por ruta.

4.1.1. Definición del problema DISLOJA con TSP

DISLOJA, desea que sus vendedores y repartidores visiten una sola vez a sus clientes y que al finalizar retornen al punto de origen. Para ello se debe saber que:

- Cada cliente es un Nodo y la ruta que los conecta es un arco
- Cada Arco representa una distancia o un costo de transporte
- Se debe visitar a todos los clientes

Por lo tanto, se debe hallar la ruta más corta de venta y entregas que parte de un CEDIS en la ciudad de Loja y tiene que entregar producto a 9 clientes, luego volver al CEDIS. Las distancias/costos de una localidad a otra se muestran en la tabla 8.

Una vez que se tiene la matriz completa con las distancias euclidianas se empieza a seguir los siguientes pasos:

- 1) Determinar el menor valor de cada fila
- 2) Restar el valor de cada fila, menos el valor anteriormente definido
- 3) Seleccionar el menor valor que queda en cada columna
- 4) Minimizar las columnas respecto al menor valor seleccionado en el paso anterior y construir una nueva matriz
- 5) Penalizar los ceros de cada fila con la suma del menor valor de su fila y su columna
- 6) Escoger la penalidad más alta, si hay dos iguales, escoger arbitrariamente
- 7) Quitar la fila y la columna del cero, con la mayor penalidad: anular, también, el recorrido de regreso con un (-)
- 8) Estructurar la nueva matriz sin la fila y columna anteriores
- 9) Preguntar: ¿todas las filas y columnas contienen al menos un cero?
 - a. Si: Calcular las penalidades de los ceros
 - b. No: Transformación: restar el valor de la fila o columna del mínimo de su fila o columna, hasta que todas las filas y columnas queden con al menos un cero.
- 10)Continuar con los pasos 7 y 8 hasta que no haya más nodos que asignar

Resolución en base a los pasos anteriormente detallados (**Anexo 7**).

A medida que se resuelve el problema se van quitando las filas y columnas que mayor penalidad uno de sus ceros como lo dice el mecanismo de resolución, las cuales son:

$$(1,0) - (2,4) - (3,5) - (7,8) - (6,9)$$

Por lo tanto, la secuencia para cubrir los 9 puntos mediante el algoritmo resuelto es: 0-1-2-4-3-5-7-8-6-9-0, tomando en cuenta que desde el último cliente se debe

retornar al centro de distribución ubicado en Loja. Entonces las distancias que corresponden son las siguientes:

Tabla 10.

Secuencia de Ruta 1 y distancia euclíadiana utilizando algoritmo Vecino más Cercano

| Vecino Más Cercano | |
|--------------------|-----------------------------|
| Ruta | Distancia [km euclidianos] |
| 0-1- | 0,33 |
| 1-2- | 0,15 |
| 2-4- | 0,0061 |
| 4-3- | 0,00241 |
| 3-5- | 0,3948 |
| 5-7- | 0,006 |
| 7-8- | 0,00635 |
| 8-6- | 0,011 |
| 6-9- | 0,01 |
| 9-0. | 0,83 |
| Distancia | 1,74666 |

4.2. Programación Lineal de un TSP

Para la solución del problema de rutas, también se puede aplicar la programación lineal, para ello se debe identificar factores como la función objetivo, definir las restricciones, variables de decisión y parámetros.

Una vez obtenidas las distancias euclidianas, (**tabla 10**), se procede a graficar para tener una visualización más completa, el gráfico se demuestra en la siguiente figura:

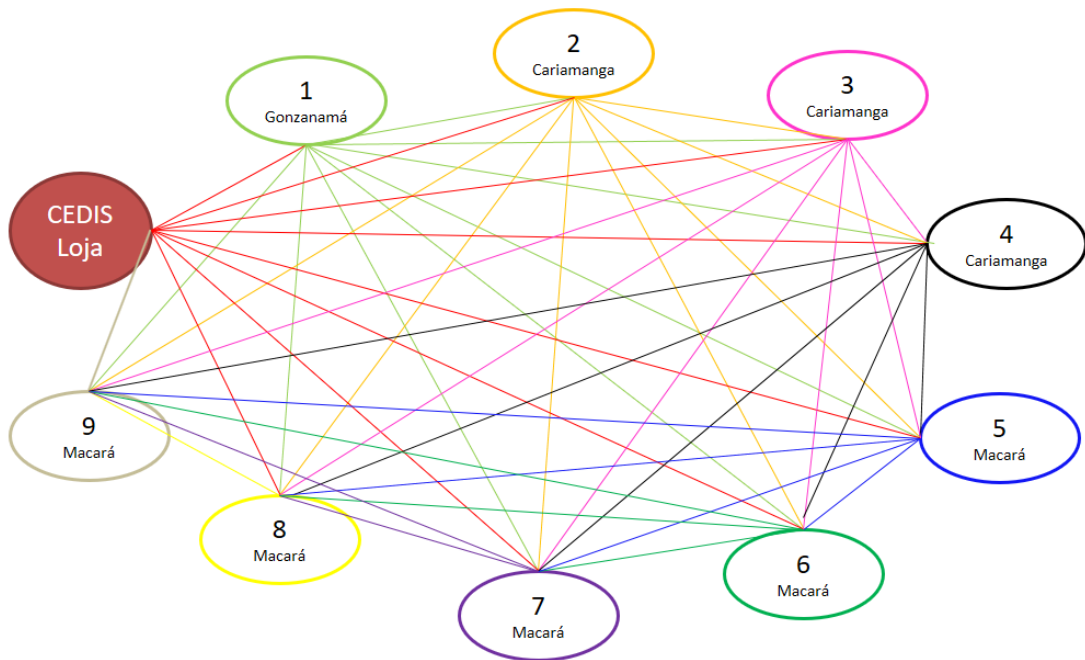


Figura 30. Diagramación Ruta 1 DISLOJA

Tabla 11.

Distancias euclidianas de la ruta 1 con 9 clientes

| Distancias euclidianas desde el Centro de Distribución y entre clientes "DISLOJA" | | | | | | | | | | |
|---|------|------|-------|-------|-------|--------|-------|-------|--------|-------|
| | 0 | 1 | 2 | 3 | 4 | 5 | 6 | 7 | 8 | 9 |
| 0 | 0 | 0,33 | 0,48 | 0,48 | 0,48 | 0,83 | 0,83 | 0,83 | 0,84 | 0,83 |
| 1 | 0,33 | 0 | 0,15 | 0,14 | 0,14 | 0,52 | 0,52 | 0,52 | 0,53 | 0,53 |
| 2 | 0,48 | 0,15 | 0 | 0,00 | 0,006 | 0,386 | 0,386 | 0,391 | 0,3934 | 0,39 |
| 3 | 0,48 | 0,14 | 0,008 | 0 | 0,001 | 0,394 | 0,394 | 0,399 | 0,401 | 0,399 |
| 4 | 0,48 | 0,14 | 0,006 | 0,002 | 0 | 0,43 | 0,39 | 0,397 | 0,399 | 0,39 |
| 5 | 0,83 | 0,52 | 0,386 | 0,394 | 0,43 | 0 | 0,01 | 0,006 | 0,114 | 0,009 |
| 6 | 0,83 | 0,52 | 0,386 | 0,394 | 0,39 | 0,0001 | 0 | 0,008 | 0,011 | 0,01 |
| 7 | 0,83 | 0,52 | 0,391 | 0,399 | 0,397 | 0,006 | 0,008 | 0 | 0,006 | 0,005 |
| 8 | 0,84 | 0,53 | 0,39 | 0,401 | 0,399 | 0,114 | 0,011 | 0,006 | 0 | 0,001 |
| 9 | 0,83 | 0,53 | 0,39 | 0,399 | 0,397 | 0,009 | 0,01 | 0,005 | 0,001 | 0 |

Para determinar la cantidad de soluciones para los 9 puntos de la **figura 30**, se toma en cuenta la **ecuación 6**:

$$(n-1)!$$

Solución = $(9-1)! = 40320$

Por lo tanto, existen 40320 soluciones factibles en cuanto a optimización de rutas.

Para la definición de la función objetivo se toma en cuenta la información de la tabla anterior de distancias euclidianas, entonces la función objetivo es la siguiente:

- **Función Objetivo**

$$\begin{aligned} \text{Min } z = & 0X_{00} + 0,33X_{01} + 0,48X_{02} + 0,48X_{03} + 0,48X_{04} + 0,83X_{05} + 0,83X_{06} + \\ & 0,83X_{07} + 0,84X_{08} + 0,83X_{09} + 0X_{11} + 0,15X_{12} + 0,14X_{13} + 0,14X_{14} + 0,52X_{15} + \\ & 0,52X_{16} + 0,52X_{17} + 0,53X_{18} + 0,53X_{19} + 0X_{22} + 0,0083X_{23} + 0,0061X_{24} + \\ & 0,3868X_{25} + 0,3867X_{26} + 0,3918X_{27} + 0,3934X_{28} + 0,3917X_{29} + 0X_{33} + \\ & 0,00241X_{34} + 0,3948X_{35} + 0,3948X_{36} + 0,3998X_{37} + 0,401X_{38} + 0,399X_{39} + \\ & 0X_{44} + 0,43X_{45} + 0,39X_{46} + 0,397X_{47} + 0,399X_{48} + 0,3978X_{49} + 0X_{55} + \\ & 0,000122X_{56} + 0,006X_{57} + 0,114X_{58} + 0,0099X_{59} + 0X_{66} + 0,00854X_{67} + \\ & 0,011X_{68} + 0,01X_{69} + 0X_{77} + 0,00635X_{78} + 0,0054X_{79} + 0X_{88} + 0,00185X_{89} + \\ & 0X_{99} \end{aligned}$$

- **Restricciones**

Restricciones de Origen

$$\text{Nodo 0 } \left\{ \begin{array}{l} X01 + X02 + X03 + X04 + X05 + X06 + X07 + X08 + X09 = 1 \end{array} \right.$$

$$\text{Nodo 1 } \left\{ \begin{array}{l} X12 + X13 + X14 + X15 + X16 + X17 + X18 + X19 = 1 \end{array} \right.$$

$$\text{Nodo 2 } \left\{ \begin{array}{l} X23 + X24 + X25 + X26 + X27 + X28 + X29 = 1 \end{array} \right.$$

$$\text{Nodo 3 } \left\{ \begin{array}{l} X34 + X35 + X36 + X37 + X38 + X39 = 1 \end{array} \right.$$

$$\text{Nodo 4 } \left\{ \begin{array}{l} X45 + X46 + X47 + X48 + X49 = 1 \end{array} \right.$$

$$\text{Nodo 5 } \left\{ \begin{array}{l} X56 + X57 + X58 + X59 = 1 \end{array} \right.$$

$$\text{Nodo 6 } \left\{ \begin{array}{l} X67 + X68 + X69 = 1 \end{array} \right.$$

$$\text{Nodo 7 } \left\{ \begin{array}{l} X_{78} + X_{79} = 1 \end{array} \right.$$

$$\text{Nodo 8 } \left\{ \begin{array}{l} X_{89} = 1 \end{array} \right.$$

Restricciones de Destino

$$\text{Nodo 0 } \left\{ \begin{array}{l} X_{10} + X_{20} + X_{30} + X_{40} + X_{50} + X_{60} + X_{70} + X_{80} + X_{90} = 1 \end{array} \right.$$

$$\text{Nodo 1 } \left\{ \begin{array}{l} X_{21} + X_{31} + X_{41} + X_{51} + X_{61} + X_{71} + X_{81} + X_{91} = 1 \end{array} \right.$$

$$\text{Nodo 2 } \left\{ \begin{array}{l} X_{32} + X_{42} + X_{52} + X_{62} + X_{72} + X_{82} + X_{92} = 1 \end{array} \right.$$

$$\text{Nodo 3 } \left\{ \begin{array}{l} X_{43} + X_{53} + X_{63} + X_{73} + X_{83} + X_{93} = 1 \end{array} \right.$$

$$\text{Nodo 4 } \left\{ \begin{array}{l} X_{54} + X_{64} + X_{74} + X_{84} + X_{94} = 1 \end{array} \right.$$

$$\text{Nodo 5 } \left\{ \begin{array}{l} X_{65} + X_{75} + X_{85} + 95 = 1 \end{array} \right.$$

$$\text{Nodo 6 } \left\{ \begin{array}{l} X_{76} + X_{86} + X_{96} = 1 \end{array} \right.$$

$$\text{Nodo 7 } \left\{ \begin{array}{l} X_{87} + X_{97} = 1 \end{array} \right.$$

$$\text{Nodo 8 } \left\{ \begin{array}{l} X_{98} = 1 \end{array} \right.$$

4.3. Software para Resolución de Rutas

4.3.1. LogVRP

Existen varios programas que permiten la resolución de problemas de optimización de rutas, en este caso se va a utilizar el programa LogVRP.

A continuación, se detalla la utilización de LogVRP para graficar 9 puntos de la ruta 1, puesto que como condición del software para una utilización libre del mismo es máximo para 10 puntos incluyendo el centro de distribución en el caso de DISLOJA.

Los resultados son los siguientes:

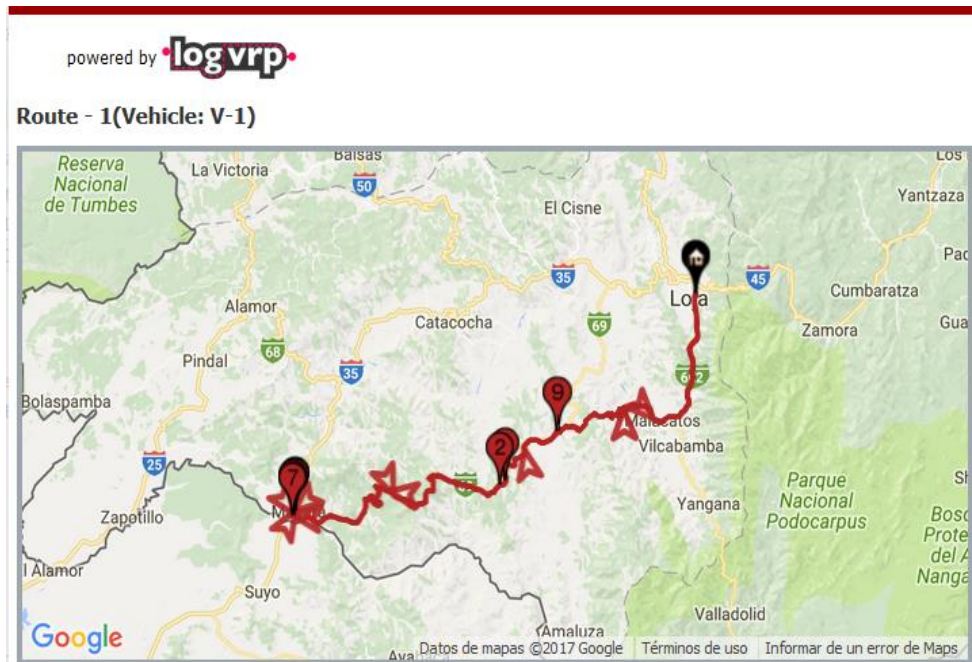


Figura 31: Ruteo de 9 clientes de la ruta 1

Tomado de: («logvrp - Route Optimization and Fleet Planning Web Application - Pricing», s. f.)

El resultado propuesto se detalla en el (**Anexo 8**).

La secuencia de la ruta es: CD - CLIENTE 2 - CLIENTE 6 - CLIENTE 5 – CLIENTE 7 – CLIENTE 9 – CLIENTE 8 – CLIENTE 4 – CLIENTE 1 – CD

Por lo que haciendo una equivalencia a lo que correspondería a distancia euclíadiana los resultados son los que están a continuación:

Tabla 12.

Resultados del software LogVRP para la ruta 1 con 9 clientes

| LOG VRP | |
|------------------|-----------------|
| Ruta | Distancia |
| 0-2- | 0,48 |
| 2-6- | 0,3867 |
| 6-5- | 0,000122 |
| 5-7- | 0,006 |
| 7-9- | 0,0054 |
| 9-8- | 0,00185 |
| 8-4- | 0,399 |
| 4-1- | 0,14 |
| 1-0 | 0,33 |
| Distancia | 1,749072 |

4.3.2. WinQSB

Para tener obtener resultados más precisos, el procedimiento de resolución del problema en el programa WinQSB es el siguiente:

Como lo hemos detallado anteriormente el programa ofrece una gran variedad de algoritmos, para lo cual en el problema de DISLOJA, es evidente la necesidad de utilizar el algoritmo del TSP mediante un Network Modeling.

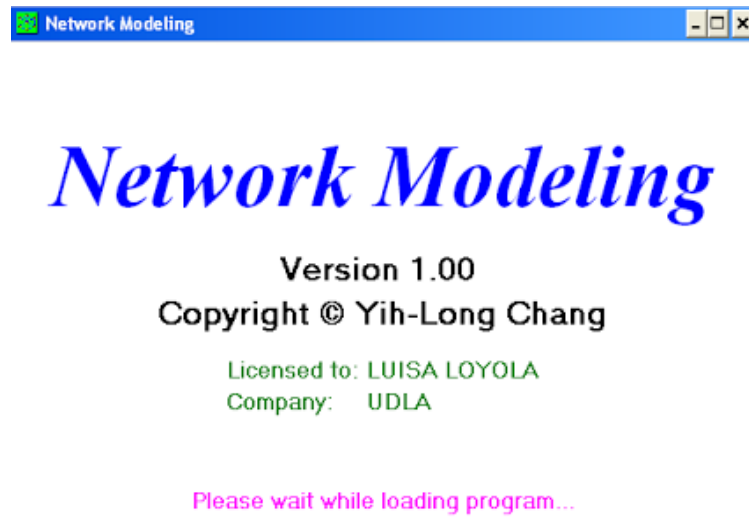


Figura 32: Iniciación del programa WinQSB

Una vez que el programa se inicializó se procede a escoger las siguientes opciones:

- Ruta 1

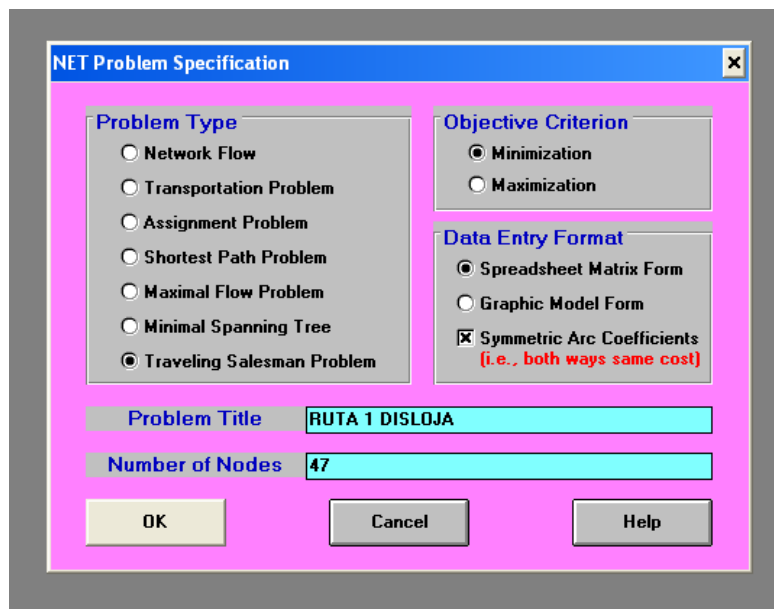


Figura 33: Especificación del Programa WinQSB

Se coloca el tipo de problema que en el caso DISLOJA, es un TSP “Travelling Salesman Problem”, seguidamente del criterio objetivo, minimización, el formato de la entrada de datos y la cantidad de variables o nodos como se expresa en la **Figura 28.**

Luego de que se ingresa los datos que requiere el programa se procede a completar la tabla con los datos de la matriz de distancias de la ruta 1. **Anexo 9.**

- Ruta 2

Para la ruta 2 en la provincia de Loja el procedimiento y resultados se expresan a continuación:

| RUTA 2 DISLOJA: Minimization (Traveling Salesman Problem) | | | | | | | | | | | | | |
|---|-------------|------------|------------|------------|-------------|------------|------------|------------|------------|------------|-------------|------------|------------|
| From \ To | Node29 | Node30 | Node31 | Node32 | Node33 | Node34 | Node35 | Node36 | Node37 | Node38 | Node39 | Node40 | Node41 |
| Node8 | 0.31310967 | 0.3118278 | 0.31293852 | 0.31494268 | 0.37624327 | 0.37703593 | 0.37621703 | 0.37905454 | 0.37586844 | 0.35533957 | 0.37494578 | 0.37612797 | 0.37300361 |
| Node9 | 0.31072277 | 0.31086573 | 0.31059684 | 0.31253366 | 0.37208429 | 0.37287504 | 0.37200956 | 0.37489222 | 0.37166113 | 0.3611121 | 0.37073731 | 0.37180579 | 0.37509237 |
| Node10 | 0.31043622 | 0.31057897 | 0.1031685 | 0.3122439 | 0.3715393 | 0.39232976 | 0.37145637 | 0.37434668 | 0.37113514 | 0.36055744 | 0.37010515 | 0.37128668 | 0.37454013 |
| Node11 | 0.0892882 | 0.30906312 | 0.30880314 | 0.31073967 | 0.3703872 | 0.3711296 | 0.37026611 | 0.3714689 | 0.36994315 | 0.35937076 | 0.36899484 | 0.37014551 | 0.37334993 |
| Node12 | 0.3108401 | 0.31058453 | 0.3125402 | 0.37260088 | 0.37339222 | 0.37254012 | 0.37540991 | 0.37540991 | 0.37221521 | 0.36164914 | 0.37126882 | 0.3724257 | 0.37562396 |
| Node13 | 0.31234682 | 0.31247727 | 0.3122183 | 0.31415905 | 0.3737659 | 0.37455667 | 0.37363031 | 0.37657385 | 0.37336786 | 0.36279387 | 0.37241906 | 0.37356757 | 0.37677412 |
| Node14 | 0.314016056 | 0.31029504 | 0.31002503 | 0.31197136 | 0.37152621 | 0.37231699 | 0.37145114 | 0.37432442 | 0.3711296 | 0.36055491 | 0.37017988 | 0.37132882 | 0.37452495 |
| Node15 | 0.31132477 | 0.31146306 | 0.31120208 | 0.31313409 | 0.37253595 | 0.37332641 | 0.37245521 | 0.37534341 | 0.37211359 | 0.3615704 | 0.37116397 | 0.37232904 | 0.37553096 |
| Node16 | 0.31043774 | 0.31056051 | 0.31029605 | 0.31225651 | 0.37245941 | 0.37239901 | 0.37526476 | 0.37207337 | 0.39150955 | 0.3711277 | 0.37228943 | 0.37548284 | |
| Node17 | 0.30804393 | 0.30817251 | 0.30791399 | 0.30985693 | 0.36965707 | 0.39044823 | 0.3695912 | 0.37246575 | 0.36926713 | 0.35669827 | 0.36831992 | 0.36947523 | 0.37267504 |
| Node18 | 0.31654026 | 0.31664362 | 0.31639161 | 0.31836236 | 0.37865568 | 0.37944711 | 0.37859649 | 0.38146484 | 0.37827133 | 0.36770588 | 0.37732518 | 0.37848479 | 0.38168032 |
| Node19 | 0.31161801 | 0.31172959 | 0.31147544 | 0.3134372 | 0.3736352 | 0.37442669 | 0.37357768 | 0.37444447 | 0.37325223 | 0.36268778 | 0.37230638 | 0.37346729 | 0.37666151 |
| Node20 | 0.00274557 | 0.31161801 | 0.31172959 | 0.31147544 | 0.3134372 | 0.3736352 | 0.37444447 | 0.37325223 | 0.36268778 | 0.37230638 | 0.37346729 | | |
| Node21 | 0.00693736 | 0.31050646 | 0.31866254 | 0.31839707 | 0.31030899 | 0.3789448 | 0.37973412 | 0.37883514 | 0.38174995 | 0.3785184 | 0.36792764 | 0.37562412 | 0.39668094 |
| Node22 | 0.01167488 | 0.00693736 | 0.31050646 | 0.31866254 | 0.31839707 | 0.32030899 | 0.3789448 | 0.37973412 | 0.37883514 | 0.38174995 | 0.3785184 | 0.36792764 | 0.37756412 |
| Node23 | 0.00168751 | 0.01167488 | 0.00693736 | 0.31050646 | 0.31866254 | 0.31839707 | 0.32030899 | 0.3789448 | 0.37973412 | 0.37883514 | 0.38174995 | 0.3785184 | 0.36792764 |
| Node24 | 0.00657839 | 0.00892256 | 0.01049095 | 0.32178922 | 0.32188808 | 0.32163725 | 0.32361288 | 0.36388551 | 0.38467632 | 0.38382062 | 0.35669398 | 0.38349636 | 0.37292801 |
| Node25 | 0.00536729 | 0.00665336 | 0.00794887 | 0.31908341 | 0.3191845 | 0.31893308 | 0.3209063 | 0.38119161 | 0.38198294 | 0.3811299 | 0.3840000 | 0.38080517 | 0.37023834 |
| Node26 | 0.00959047 | 0.01741632 | 0.01000958 | 0.31420114 | 0.31441242 | 0.31413237 | 0.31598237 | 0.37305449 | 0.37384186 | 0.37290348 | 0.37585562 | 0.37259369 | 0.361985 |
| Node27 | 0.00100816 | 0.01085732 | 0.00628475 | 0.3120899 | 0.31024552 | 0.31798146 | 0.31989961 | 0.37671778 | 0.37950734 | 0.37861392 | 0.38152646 | 0.37829612 | 0.36770803 |
| Node28 | 0.00075485 | 0.01135885 | 0.00741116 | 0.31095595 | 0.31111733 | 0.31085047 | 0.31275659 | 0.37146917 | 0.37225688 | 0.37136874 | 0.3742751 | 0.37105042 | 0.36046413 |
| Node29 | 0.010111959 | 0.00627393 | 0.31836253 | 0.31850451 | 0.3182433 | 0.32017003 | 0.37921306 | 0.3800029 | 0.37911544 | 0.38201925 | 0.37879668 | 0.36821162 | |
| Node30 | 0.010111959 | 0.00627393 | 0.31836253 | 0.31850451 | 0.3182433 | 0.32017003 | 0.37921306 | 0.3800029 | 0.37911544 | 0.38201925 | 0.37879668 | 0.36821162 | |
| Node31 | 0.00627393 | 0.00766297 | 0.31221674 | 0.31234979 | 0.31209016 | 0.314028 | 0.37356006 | 0.37465074 | 0.3734824 | 0.37636786 | 0.37136103 | 0.36258525 | |
| Node32 | 0.31836253 | 0.31352502 | 0.31221674 | 0.31234979 | 0.31209016 | 0.00250625 | 0.00186725 | 0.00203746 | 0.10495366 | 0.10497508 | 0.10632257 | 0.14064344 | 0.10576885 |
| Node33 | 0.31805041 | 0.3159761 | 0.31234979 | 0.00250625 | 0.000668957 | 0.00383903 | 0.10650086 | 0.1071161 | 0.10849249 | 0.1085806 | 0.10793803 | 0.10233636 | |
| Node34 | 0.3102433 | 0.31353548 | 0.31209016 | 0.00186725 | 0.000668957 | 0.00340619 | 0.10605527 | 0.106673 | 0.10803767 | 0.10612195 | 0.10740351 | 0.10103877 | |
| Node35 | 0.32017003 | 0.31595082 | 0.314028 | 0.00203746 | 0.00083039 | 0.00340619 | 0.10267236 | 0.10328819 | 0.10466243 | 0.10473237 | 0.104108 | 0.09851648 | |
| Node36 | 0.37921306 | 0.37668143 | 0.37356006 | 0.10435366 | 0.10650086 | 0.10605527 | 0.10267236 | 0.00079874 | 0.00274159 | 0.0028158 | 0.00231868 | 0.0115606 | |
| Node37 | 0.3800029 | 0.37745409 | 0.37465074 | 0.10497508 | 0.1071161 | 0.106673 | 0.10328819 | 0.00079874 | 0.00276986 | 0.00201953 | 0.00247795 | 0.01288239 | |
| Node38 | 0.37311544 | 0.37663449 | 0.37348424 | 0.10632257 | 0.10849249 | 0.10803767 | 0.10466243 | 0.00274159 | 0.00276986 | 0.00304342 | 0.00055772 | 0.01093702 | |
| Node39 | 0.38201925 | 0.37947269 | 0.37636786 | 0.14064344 | 0.10858009 | 0.10819215 | 0.10473237 | 0.0028158 | 0.00201953 | 0.0038432 | 0.003682316 | 0.0142049 | |
| Node40 | 0.37879668 | 0.37630437 | 0.3731803 | 0.10576885 | 0.10793803 | 0.10740351 | 0.104108 | 0.00231868 | 0.00247795 | 0.00055772 | 0.00382316 | 0.01066487 | |
| Node41 | 0.36821162 | 0.36575731 | 0.36259825 | 0.10006631 | 0.10233636 | 0.10183877 | 0.09851648 | 0.0115606 | 0.01228239 | 0.01093702 | 0.0142049 | 0.01066487 | |

Figura 34: Ingreso de distancias euclidianas de la ruta 1

La **figura 34** presenta las distancias euclidianas entre puntos desde el Centro de distribución que corresponde desde el Nodo 1 hasta el cliente 40 que equivale al Nodo 41.

El procedimiento para obtener los resultados es el siguiente:

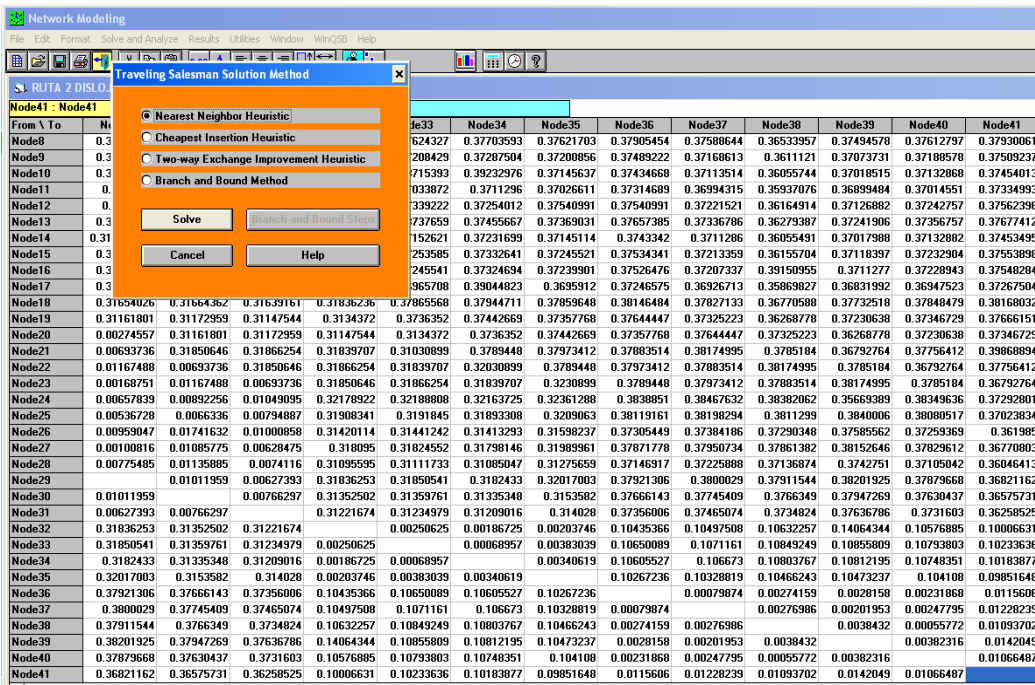


Figura 35: Algoritmos de resolución al problema TSP

Eligiendo la opción Solve and Analyze se despliega la ventana naranja, en donde nos da opciones de resolución. Se escoge la Nearest Neighbor Heuristic y finalmente Solve.

| 05-30-2017 | From Node | Connect To | Distance/Cost | | From Node | Connect To | Distance/Cost |
|------------|-----------|---------------------|------------------------------|---|-----------|------------|---------------|
| 1 | Node1 | Node4 | 0,2432 | 22 | Node27 | Node23 | 8,19E-4 |
| 2 | Node4 | Node2 | 5,01E-4 | 23 | Node23 | Node29 | 1,69E-3 |
| 3 | Node2 | Node3 | 1,90E-3 | 24 | Node29 | Node20 | 2,75E-3 |
| 4 | Node3 | Node21 | 0,2309 | 25 | Node20 | Node26 | 6,23E-3 |
| 5 | Node21 | Node25 | 8,19E-4 | 26 | Node26 | Node22 | 8,19E-4 |
| 6 | Node25 | Node10 | 2,37E-3 | 27 | Node22 | Node18 | 2,56E-3 |
| 7 | Node10 | Node5 | 9,28E-4 | 28 | Node18 | Node24 | 6,18E-3 |
| 8 | Node5 | Node15 | 3,29E-4 | 29 | Node24 | Node30 | 8,92E-3 |
| 9 | Node15 | Node9 | 8,06E-4 | 30 | Node30 | Node31 | 7,66E-3 |
| 10 | Node9 | Node7 | 3,63E-4 | 31 | Node31 | Node34 | 0,3121 |
| 11 | Node7 | Node14 | 2,09E-4 | 32 | Node34 | Node33 | 6,90E-4 |
| 12 | Node14 | Node6 | 1,10E-3 | 33 | Node33 | Node32 | 2,51E-3 |
| 13 | Node6 | Node28 | 1,35E-3 | 34 | Node32 | Node35 | 2,04E-3 |
| 14 | Node28 | Node13 | 3,50E-4 | 35 | Node35 | Node41 | 0,0985 |
| 15 | Node13 | Node12 | 2,33E-3 | 36 | Node41 | Node40 | 0,0107 |
| 16 | Node12 | Node16 | 6,07E-4 | 37 | Node40 | Node38 | 5,58E-4 |
| 17 | Node16 | Node19 | 1,19E-3 | 38 | Node38 | Node36 | 2,74E-3 |
| 18 | Node19 | Node11 | 3,89E-3 | 39 | Node36 | Node37 | 7,99E-4 |
| 19 | Node11 | Node17 | 1,34E-3 | 40 | Node37 | Node39 | 2,02E-3 |
| 20 | Node17 | Node8 | 8,53E-3 | 41 | Node39 | Node1 | 0,8123 |
| 21 | Node8 | Node27 | 4,20E-4 | | | | |
| | Total | Minimal (Result) | Traveling from Nearest | Distance or Cost Neighbor Heuristic) | = | | 1,79 |

Figura 36: Resultados de la ruta 1

La **figura 36** nos indica la ruta propuesta por el programa WinQSB para la ruta 2. Tomando en cuenta que el Nodo 1 corresponde al Centro de Distribución y el Nodo 41 el cliente 40. La secuencia de ruta propuesta es la siguiente:

CD - 4 - 2 - 3 - 21 - 25 - 10 - 5 - 15 - 9 - 7 - 14 - 6 - 28 - 13 - 12 - 16 - 19 - 11 - 17 - 8 - 27 - 23 - 29 - 20 - 26 - 22 - 18 - 24 - 30 - 31 - 34 - 33 - 32 - 35 - 41 - 40 - 38 - 36 - 37 - 39 - 37 - CD

Siguiendo la ruta propuesta la distancia recorrida para la ruta 2 es de 1,79 como se muestra en la tabla de resultados.

- Ruta 3

Tanto para la ruta 3 como para las 6 rutas de DISLOJA, el procedimiento de resolución del software WinQSB es igual. A continuación, la tabla de distancias ingresadas en el programa y el procedimiento de resolución:

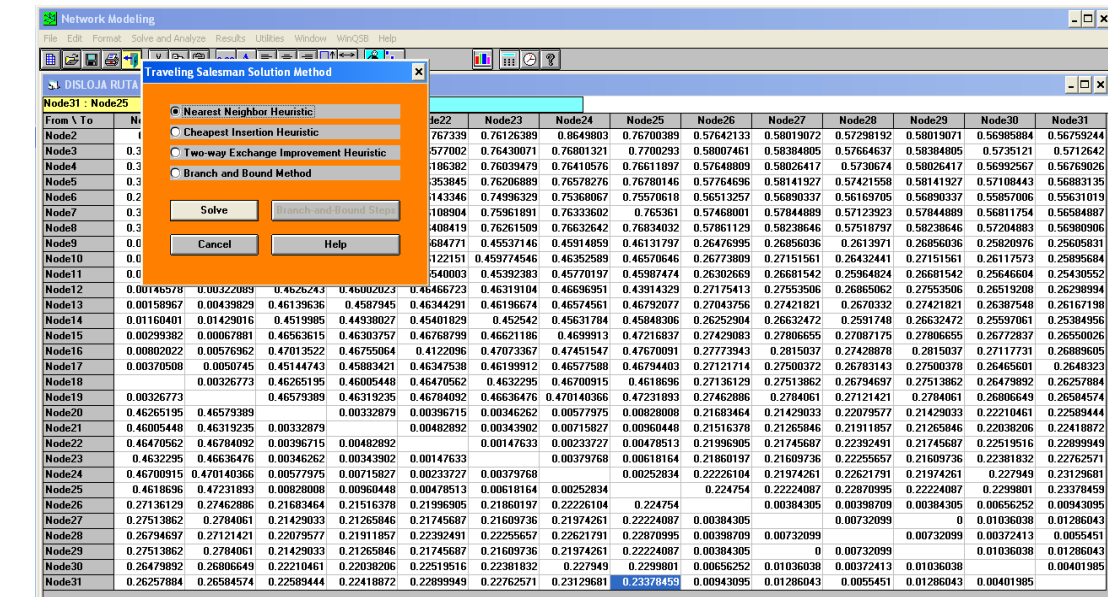
Network Modeling

File Edit Format Solve and Analyze Results Utilities Window WinQSB Help

DISLOJA RUTA 3: Minimization (Traveling Salesman Problem)

| From \ To | Node18 | Node19 | Node20 | Node21 | Node22 | Node23 | Node24 | Node25 | Node26 | Node27 | Node28 | Node29 | Node30 | Node31 |
|-----------------|------------|-------------|------------|-------------|-------------|------------|------------|------------|------------|------------|------------|------------|------------|------------|
| Node31 - Node25 | 0.23378459 | | | | | | | | | | | | | |
| Node2 | 0.305087 | 0.30181942 | 0.76105932 | 0.75625236 | 0.767339 | 0.76126389 | 0.8649803 | 0.76700389 | 0.57642133 | 0.58019072 | 0.57298192 | 0.58019071 | 0.56985884 | 0.56759244 |
| Node3 | 0.30871907 | 0.30545134 | 0.76113232 | 0.76129475 | 0.76577002 | 0.76430701 | 0.7601321 | 0.7700293 | 0.58007461 | 0.58384805 | 0.57684637 | 0.58384805 | 0.5735121 | 0.5712642 |
| Node4 | 0.30512709 | 0.30185946 | 0.76021396 | 0.75739475 | 0.76185382 | 0.76039479 | 0.76410572 | 0.76611897 | 0.57648890 | 0.58026417 | 0.5730674 | 0.58026417 | 0.56992567 | 0.56769026 |
| Node5 | 0.30629582 | 0.30030281 | 0.7618755 | 0.75906276 | 0.76353845 | 0.76206889 | 0.76578272 | 0.76780146 | 0.57764659 | 0.58141927 | 0.57421558 | 0.58141927 | 0.57108443 | 0.56883135 |
| Node6 | 0.29378956 | 0.29052192 | 0.74954543 | 0.74639492 | 0.75143346 | 0.74956329 | 0.75368067 | 0.75570618 | 0.56513257 | 0.56890337 | 0.56163070 | 0.56890337 | 0.55857006 | 0.55631019 |
| Node7 | 0.30334949 | 0.3008196 | 0.7594112 | 0.75605057 | 0.76108904 | 0.75961891 | 0.76333606 | 0.765361 | 0.57468000 | 0.57844886 | 0.57123923 | 0.57844886 | 0.56801754 | 0.56594087 |
| Node8 | 0.30725141 | 0.30398373 | 0.76243265 | 0.75961427 | 0.76400419 | 0.76261509 | 0.76632642 | 0.76834032 | 0.57661129 | 0.50236464 | 0.57516797 | 0.56239646 | 0.57204983 | 0.56890906 |
| Node9 | 0.00842771 | 0.01120022 | 0.45481673 | 0.45620534 | 0.45684771 | 0.45537146 | 0.45914859 | 0.46131797 | 0.26476393 | 0.26856030 | 0.25920976 | 0.25605031 | | |
| Node10 | 0.00362386 | 0.006689152 | 0.45916062 | 0.45657579 | 0.46122151 | 0.45974546 | 0.46352580 | 0.46570646 | 0.27151561 | 0.26432441 | 0.27151561 | 0.26117573 | 0.25895684 | |
| Node11 | 0.00948475 | 0.01247555 | 0.4533602 | 0.45075417 | 0.45540003 | 0.45392383 | 0.45770197 | 0.45987474 | 0.26302669 | 0.26681542 | 0.25964824 | 0.26681542 | 0.25646604 | 0.25430552 |
| Node12 | 0.00146578 | 0.00322089 | 0.4626243 | 0.46002023 | 0.46466723 | 0.46319104 | 0.46569595 | 0.43914329 | 0.27255350 | 0.26865062 | 0.2755350 | 0.26519208 | 0.26289894 | |
| Node13 | 0.00158967 | 0.00439829 | 0.46139636 | 0.4587945 | 0.46344291 | 0.46196574 | 0.46574561 | 0.46792077 | 0.27043756 | 0.27421821 | 0.26387548 | 0.26167198 | | |
| Node14 | 0.01160401 | 0.01429016 | 0.4519985 | 0.44538027 | 0.4501829 | 0.452542 | 0.45631784 | 0.45848336 | 0.2625290 | 0.26532472 | 0.2591748 | 0.26632472 | 0.25959701 | 0.25384956 |
| Node15 | 0.02993982 | 0.00676881 | 0.45653615 | 0.46303757 | 0.46768799 | 0.46521186 | 0.4659913 | 0.47216387 | 0.27429083 | 0.27806555 | 0.27087175 | 0.27806555 | 0.26772837 | 0.26550026 |
| Node16 | 0.00802022 | 0.00576562 | 0.47013522 | 0.46755084 | 0.41220986 | 0.47073367 | 0.47451547 | 0.47670091 | 0.2773943 | 0.3015037 | 0.27428878 | 0.2815037 | 0.27117731 | 0.26889605 |
| Node17 | 0.00370508 | 0.0050745 | 0.45144743 | 0.45830421 | 0.46347538 | 0.46199812 | 0.46577598 | 0.46794403 | 0.27121714 | 0.27500372 | 0.26783143 | 0.27500378 | 0.26465601 | 0.2648323 |
| Node18 | 0.00326773 | 0.45679389 | 0.46319235 | 0.46780402 | 0.46563476 | 0.47014036 | 0.47231893 | 0.27462866 | 0.27121421 | 0.2784061 | 0.26806649 | 0.26806649 | 0.26584574 | |
| Node19 | 0.00326773 | | | | | | | | | | | | | |
| Node20 | 0.46265195 | 0.46579389 | 0.00332879 | 0.00396715 | 0.00346262 | 0.00577975 | 0.00626000 | 0.21683464 | 0.21429033 | 0.22210461 | 0.22589444 | | | |
| Node21 | 0.46005448 | 0.46319235 | 0.00332879 | 0.00402892 | 0.00343902 | 0.00715827 | 0.00696444 | 0.21516378 | 0.2126584 | 0.2126584 | 0.22038026 | 0.22418872 | | |
| Node22 | 0.46470562 | 0.46784092 | 0.00396715 | 0.00482892 | 0.00147633 | 0.00233727 | 0.00479513 | 0.21996305 | 0.21745687 | 0.21745687 | 0.22519516 | 0.22899949 | | |
| Node23 | 0.4632295 | 0.46636476 | 0.00346262 | 0.00343902 | 0.00147633 | 0.00379766 | 0.00618164 | 0.21660719 | 0.2109376 | 0.22295657 | 0.21069736 | 0.22381832 | 0.22762571 | |
| Node24 | 0.46700915 | 0.47014036 | 0.00577975 | 0.00715827 | 0.00233727 | 0.00379766 | 0.00618164 | 0.2160793 | 0.2226104 | 0.21974261 | 0.2277949 | 0.23129681 | | |
| Node25 | 0.46186596 | 0.47231893 | 0.00828008 | 0.009560448 | 0.009478513 | 0.00618164 | 0.00252834 | 0.22226104 | 0.21621791 | 0.21974261 | 0.2277949 | 0.23129681 | | |
| Node26 | 0.27136129 | 0.27462868 | 0.21683464 | 0.21516378 | 0.21956905 | 0.21860197 | 0.22226104 | 0.224754 | 0.00384305 | 0.00398709 | 0.00384305 | 0.00656252 | 0.00943095 | |
| Node27 | 0.27513862 | 0.2784061 | 0.21429033 | 0.21265846 | 0.21745687 | 0.21609736 | 0.21974261 | 0.22224087 | 0.00384305 | 0.00732099 | 0.00732099 | 0.00732099 | 0.01036038 | 0.01286043 |
| Node28 | 0.27513862 | 0.27121421 | 0.22079577 | 0.21911857 | 0.22392491 | 0.22256567 | 0.22621791 | 0.22870995 | 0.00398709 | 0.00732099 | 0.00372413 | 0.0055451 | | |
| Node29 | 0.27513862 | 0.2784061 | 0.21429033 | 0.21265846 | 0.21745687 | 0.21609736 | 0.21974261 | 0.22224087 | 0.00384305 | 0.00732099 | 0.01036038 | 0.01286043 | | |
| Node30 | 0.26479892 | 0.26806649 | 0.22210461 | 0.22038206 | 0.22519516 | 0.22381832 | 0.2277949 | 0.22998001 | 0.00656252 | 0.01036038 | 0.00372413 | 0.01036038 | 0.00401985 | |
| Node31 | 0.26257884 | 0.26584574 | 0.22589444 | 0.22418872 | 0.22899349 | 0.22762571 | 0.23129681 | 0.23378459 | 0.00943095 | 0.01286043 | 0.0055451 | 0.01286043 | 0.00401985 | |

Figura 37: Ingreso de distancias euclidianas de la ruta 3



| 05-30-2017 | From Node | Connect To | Distance/Cost | | From Node | Connect To | Distance/Cost |
|------------|--|------------------------------------|---------------|----|-----------|------------|---------------|
| 1 | Node1 | Node8 | 0,2513 | 17 | Node9 | Node11 | 1,88E-3 |
| 2 | Node8 | Node3 | 2,02E-3 | 18 | Node11 | Node14 | 0,003 |
| 3 | Node3 | Node5 | 2,59E-3 | 19 | Node14 | Node31 | 0,2538 |
| 4 | Node5 | Node2 | 2,59E-3 | 20 | Node31 | Node30 | 4,02E-3 |
| 5 | Node2 | Node7 | 1,79E-3 | 21 | Node30 | Node28 | 3,72E-3 |
| 6 | Node7 | Node4 | 5,96E-3 | 22 | Node28 | Node26 | 3,99E-3 |
| 7 | Node4 | Node6 | 0,0121 | 23 | Node26 | Node27 | 3,84E-3 |
| 8 | Node6 | Node16 | 0,2874 | 24 | Node27 | Node29 | 0 |
| 9 | Node16 | Node15 | 5,48E-3 | 25 | Node29 | Node21 | 0,2127 |
| 10 | Node15 | Node19 | 6,79E-4 | 26 | Node21 | Node20 | 3,33E-3 |
| 11 | Node19 | Node12 | 3,22E-3 | 27 | Node20 | Node23 | 3,46E-3 |
| 12 | Node12 | Node13 | 1,32E-3 | 28 | Node23 | Node22 | 1,48E-3 |
| 13 | Node13 | Node18 | 1,59E-3 | 29 | Node22 | Node24 | 2,34E-3 |
| 14 | Node18 | Node10 | 3,62E-3 | 30 | Node24 | Node25 | 2,53E-3 |
| 15 | Node10 | Node17 | 5,01E-3 | 31 | Node25 | Node1 | 0,863 |
| 16 | Node17 | Node9 | 6,64E-3 | | | | |
| | Total | Minimal Traveling Distance or Cost | | = | | | 1,96 |
| | (Result from Nearest Neighbor Heuristic) | | | | | | |

Figura 39: Resultados de la ruta 3

La secuencia sugerida por el software para la ruta 3 es la siguiente:

**CD – 8 – 3 – 5 – 2 – 7 – 4 – 6 – 16 – 15 – 19 – 12 – 13 -18 – 10 – 17 – 8 – 3 – 5
– 2 – 7 – 4 – 6 – 16 – 15 – 19 – 12 – 13 – 18 – 10 – 17 – 9 – 11 – 14 – 31 – 30
– 28 – 26 – 27 – 29 – 21 – 20 – 23 – 22 – 24 – 25 – CD**

La ruta propuesta corresponde a recorrer 1.96 kilómetros euclidianos como indica en la tabla de resultados.

- Ruta 4

De la misma manera la ruta 4 con 35 clientes el resultado mediante el algoritmo del vecino más cercano la resolución es la siguiente:

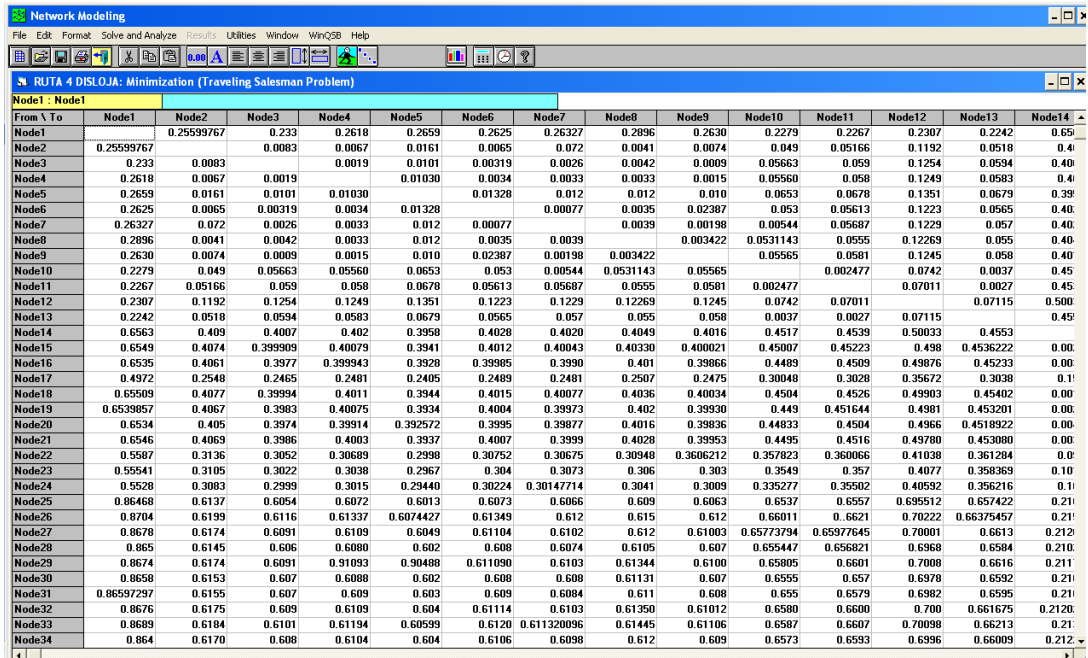


Figura 40: Ingreso de distancias euclidianas de la ruta 4

| 06-05-2017 | From Node | Connect To | Distance/Cost | | From Node | Connect To | Distance/Cost |
|------------|----------------|-------------------------------|--------------------------------------|----|-----------|------------|---------------|
| 1 | Node1 | Node13 | 0,2242 | 19 | Node16 | Node15 | 1,50E-3 |
| 2 | Node13 | Node11 | 2,70E-3 | 20 | Node15 | Node21 | 1,20E-3 |
| 3 | Node11 | Node26 | 0 | 21 | Node21 | Node20 | 1,10E-3 |
| 4 | Node26 | Node33 | 1,97E-3 | 22 | Node20 | Node22 | 0,0953 |
| 5 | Node33 | Node27 | 1,12E-3 | 23 | Node22 | Node23 | 3,59E-3 |
| 6 | Node27 | Node30 | 2,00E-4 | 24 | Node23 | Node24 | 0,003 |
| 7 | Node30 | Node35 | 0,001 | 25 | Node24 | Node17 | 0,0557 |
| 8 | Node35 | Node31 | 7,10E-4 | 26 | Node17 | Node5 | 0,2405 |
| 9 | Node31 | Node34 | 1,49E-3 | 27 | Node5 | Node9 | 0,01 |
| 10 | Node34 | Node28 | 3,41E-3 | 28 | Node9 | Node3 | 9,00E-4 |
| 11 | Node28 | Node25 | 4,38E-3 | 29 | Node3 | Node4 | 1,90E-3 |
| 12 | Node25 | Node36 | 0,007 | 30 | Node4 | Node7 | 3,30E-3 |
| 13 | Node36 | Node32 | 0,0162 | 31 | Node7 | Node6 | 7,70E-4 |
| 14 | Node32 | Node29 | 1,58E-3 | 32 | Node6 | Node8 | 3,50E-3 |
| 15 | Node29 | Node14 | 0,2117 | 33 | Node8 | Node2 | 4,10E-3 |
| 16 | Node14 | Node18 | 1,30E-3 | 34 | Node2 | Node10 | 0,049 |
| 17 | Node18 | Node19 | 1,21E-3 | 35 | Node10 | Node12 | 0,0742 |
| 18 | Node19 | Node16 | 1,40E-3 | 36 | Node12 | Node1 | 0,2307 |
| | Total (Result) | Minimal from Nearest Neighbor | Traveling Distance or Cost Heuristic | = | | | 1,26 |

Figura 41: Resultados de la ruta 4

La secuencia es: CD- 13- 11 – 26 – 33 – 27 – 30 – 35 – 31 – 34 – 28 – 36 – 32 – 29 – 14 – 18 – 19 – 16 – 15 – 21 – 20 – 22 – 23 – 24 – 17 – 5 – 9 – 3 – 4 – 7 - 6 - 8 2 – 10 -12 – CD

Siguiendo la ruta propuesta la distancia es de 1.26 kilómetros euclidianos.

- Ruta 5

En la provincia de Cotopaxi la ruta 5 con 15 clientes y mediante la aplicación del software es de la siguiente manera:

| DISLOJA RUTA 5: Minimization (Traveling Salesman Problem) | | | | | | | | | | | | | | |
|---|-------------|------------|------------|------------|------------|------------|------------|------------|------------|------------|------------|------------|------------|-------------|
| From \ To | Node1 | Node2 | Node3 | Node4 | Node5 | Node6 | Node7 | Node8 | Node9 | Node10 | Node11 | Node12 | Node13 | Node14 |
| Node1 | 0.13348419 | 0.12549032 | 0.13280644 | 0.12899193 | 0.13434514 | 0.13065798 | 0.12687381 | 0.14983137 | 0.15052088 | 0.18517989 | 0.32536462 | 0.29248955 | 0.31001389 | |
| Node2 | 0.112549032 | 0.01432926 | 0.00255866 | 0.00564528 | 0.03423772 | 0.00403887 | 0.0074493 | 0.01663301 | 0.0174113 | 0.05171026 | 0.19346869 | 0.15902629 | 0.17653758 | |
| Node3 | 0.12549032 | 0.01432926 | 0.01196831 | 0.00908242 | 0.02308428 | 0.01035297 | 0.00838158 | 0.02689617 | 0.02795602 | 0.06105052 | 0.20434193 | 0.16820418 | 0.18557629 | |
| Node4 | 0.13280644 | 0.00255866 | 0.01196831 | 0.0039414 | 0.03172085 | 0.00219231 | 0.00601973 | 0.01794623 | 0.01876902 | 0.05240047 | 0.19465887 | 0.15980428 | 0.17729042 | |
| Node5 | 0.12898913 | 0.00564528 | 0.00908242 | 0.0039414 | 0.0307153 | 0.00175505 | 0.00211583 | 0.02187316 | 0.02187316 | 0.05262132 | 0.19859971 | 0.16367639 | 0.18115409 | |
| Node6 | 0.13434514 | 0.03423772 | 0.02308428 | 0.03172085 | 0.0307153 | 0.03120899 | 0.0306644 | 0.04225507 | 0.04306988 | 0.06412798 | 0.20631493 | 0.166861 | 0.18372823 | |
| Node7 | 0.13065798 | 0.00403887 | 0.01035297 | 0.00219231 | 0.00175505 | 0.03120899 | 0.00382921 | 0.02011936 | 0.02093601 | 0.05456464 | 0.19685007 | 0.16197516 | 0.17945778 | |
| Node8 | 0.12687381 | 0.0074493 | 0.00838158 | 0.00601973 | 0.0211583 | 0.0306644 | 0.00362921 | 0.02389614 | 0.02470397 | 0.05837566 | 0.2006665 | 0.16578981 | 0.1832685 | |
| Node9 | 0.14983137 | 0.01663301 | 0.02689617 | 0.01794623 | 0.02187316 | 0.04225507 | 0.02011836 | 0.02389614 | 0.00087926 | 0.35686871 | 0.17683508 | 0.14266986 | 0.16020899 | |
| Node10 | 0.15052088 | 0.0174113 | 0.02976502 | 0.01676902 | 0.02187316 | 0.04036988 | 0.02093601 | 0.02470397 | 0.00087926 | 0.03509798 | 0.1760613 | 0.14199228 | 0.159536 | |
| Node11 | 0.18517989 | 0.05171026 | 0.06105052 | 0.05240047 | 0.05626132 | 0.06412798 | 0.05456464 | 0.05837566 | 0.35686871 | 0.03509798 | 0.1435823 | 0.10741919 | 0.12469285 | |
| Node12 | 0.32536462 | 0.19346869 | 0.20434193 | 0.19465887 | 0.19859971 | 0.20631493 | 0.19685007 | 0.2006665 | 0.17683508 | 0.1435823 | 0.04630412 | 0.0383122 | | |
| Node13 | 0.29248965 | 0.15902629 | 0.16820418 | 0.15980428 | 0.16367639 | 0.166861 | 0.16197516 | 0.16578981 | 0.14268986 | 0.10741919 | 0.04630412 | 0.01758446 | | |
| Node14 | 0.31001389 | 0.17653758 | 0.18557629 | 0.17729042 | 0.18115409 | 0.18372823 | 0.17945778 | 0.1832685 | 0.16020899 | 0.159536 | 0.12489285 | 0.0383122 | 0.01758446 | |
| Node15 | 0.30996081 | 0.17639078 | 0.18548286 | 0.1771556 | 0.181023 | 0.18374421 | 0.17932454 | 0.18313702 | 0.1604611 | 0.15937008 | 0.12476214 | 0.03755812 | 0.01738199 | 0.00087852 |
| Node16 | 0.33572217 | 0.20431112 | 0.21540728 | 0.2055952 | 0.20950047 | 0.21702599 | 0.20774793 | 0.21155539 | 0.1876963 | 0.18690015 | 0.1548183 | 0.01202227 | 0.05815792 | 0.048906628 |

Figura 42: Ingreso de distancias euclidianas de la ruta 5

A continuación, el resultado propuesto:

| Traveling Salesman Solution Method | | | | | | | | | | | | | | |
|------------------------------------|---|--|--|---|------------|------------|------------|------------|------------|------------|------------|------------|------------|-------------|
| From \ To | Node1 | Node2 | Node3 | Node4 | Node5 | Node6 | Node7 | Node8 | Node9 | Node10 | Node11 | Node12 | Node13 | Node14 |
| Node1 | <input checked="" type="radio"/> Nearest Neighbor Heuristic | <input type="radio"/> Cheapest Insertion Heuristic | <input type="radio"/> Two-way Exchange Improvement Heuristic | <input type="radio"/> Branch and Bound Method | | | | | | | | | | |
| Node2 | 0.1 | | | | | | | | | | | | | |
| Node3 | 0.1 | | | | | | | | | | | | | |
| Node4 | 0.1 | | | | | | | | | | | | | |
| Node5 | 0.1 | | | | | | | | | | | | | |
| Node6 | 0.1 | | | | | | | | | | | | | |
| Node7 | 0.1 | | | | | | | | | | | | | |
| Node8 | 0.1 | | | | | | | | | | | | | |
| Node9 | 0.1 | | | | | | | | | | | | | |
| Node10 | 0.1 | | | | | | | | | | | | | |
| Node11 | 0.18517989 | 0.05171026 | 0.06105052 | 0.05240047 | 0.05626132 | 0.06412798 | 0.05456464 | 0.05837566 | 0.05686871 | 0.1760613 | 0.1435823 | 0.10741919 | 0.04630412 | 0.01758446 |
| Node12 | 0.32536462 | 0.19346869 | 0.20434193 | 0.19465887 | 0.19859971 | 0.20631493 | 0.19685007 | 0.2006665 | 0.17683508 | 0.1435823 | 0.10741919 | 0.04630412 | 0.0383122 | |
| Node13 | 0.29248965 | 0.15902629 | 0.16820418 | 0.15980428 | 0.16367639 | 0.166861 | 0.16197516 | 0.16578981 | 0.14268986 | 0.10741919 | 0.04630412 | 0.01758446 | | |
| Node14 | 0.31001389 | 0.17653758 | 0.18557629 | 0.17729042 | 0.18115409 | 0.18372823 | 0.17945778 | 0.1832685 | 0.16020899 | 0.159536 | 0.12489285 | 0.0383122 | 0.01758446 | |
| Node15 | 0.30996081 | 0.17639078 | 0.18548286 | 0.1771556 | 0.181023 | 0.18374421 | 0.17932454 | 0.18313702 | 0.1604611 | 0.15937008 | 0.12476214 | 0.03755812 | 0.01738199 | 0.00087852 |
| Node16 | 0.33572217 | 0.20431112 | 0.21540728 | 0.2055952 | 0.20950047 | 0.21702599 | 0.20774793 | 0.21155539 | 0.1876963 | 0.18690015 | 0.1548183 | 0.01202227 | 0.05815792 | 0.048906628 |

Figura 43: Algoritmos de resolución al problema TSP

| 05-29-2017 | From Node | Connect To | Distance/Cost | | From Node | Connect To | Distance/Cost |
|------------|-----------|------------|---------------|----------|------------|------------|---------------|
| 1 | Node1 | Node3 | 0,1255 | 9 | Node10 | Node11 | 0,0351 |
| 2 | Node3 | Node8 | 8,38E-3 | 10 | Node11 | Node6 | 0,0641 |
| 3 | Node8 | Node5 | 2,12E-3 | 11 | Node6 | Node13 | 0,1669 |
| 4 | Node5 | Node7 | 1,76E-3 | 12 | Node13 | Node15 | 0,0174 |
| 5 | Node7 | Node4 | 2,19E-3 | 13 | Node15 | Node14 | 8,79E-4 |
| 6 | Node4 | Node2 | 2,56E-3 | 14 | Node14 | Node12 | 0,0383 |
| 7 | Node2 | Node9 | 0,0166 | 15 | Node12 | Node16 | 0,0120 |
| 8 | Node9 | Node10 | 8,79E-4 | 16 | Node16 | Node1 | 0,3357 |
| | Total | Minimal | Traveling | Distance | or Cost | = | 0,83 |
| | (Result) | from | Nearest | Neighbor | Heuristic) | | |

Figura 44: Resultados de la ruta 5

Secuencialmente está expresado de la siguiente manera:

CD – 3 -8 -5 -7 -4 -2 -9 -10 – 11 -6 -13 -15 -14 -12 -CD que corresponde a recorrer **0,83 kilómetros euclidianos.**

- Ruta 6

| DISLOJA RUTA 6: Minimization (Traveling Salesman Problem) | | | | | | | | | | | | | | | |
|---|------------|------------|------------|------------|------------|-------------|------------|------------|------------|------------|------------|------------|------------|------------|--|
| From \ To | Node1 | Node2 | Node3 | Node4 | Node5 | Node6 | Node7 | Node8 | Node9 | Node10 | Node11 | Node12 | Node13 | Node14 | |
| Node1 | | 0,90536207 | 0,90451761 | 0,91441248 | 0,90577718 | 0,90523063 | 0,90705493 | 0,91826386 | 0,90137465 | 0,94116166 | 0,93892002 | 0,93786197 | 0,93756453 | 0,9351749 | |
| Node2 | 0,90536207 | | 0,01545219 | 0,01187601 | 0,01352268 | 0,01437268 | 0,01238626 | 0,01742792 | 0,02110848 | 0,12229223 | 0,1109921 | 0,10444682 | 0,10592948 | 0,10513388 | |
| Node3 | 0,90451761 | 0,01545219 | | 0,01261143 | 0,00676261 | 0,00127966 | 0,00470962 | 0,01426899 | 0,00619234 | 0,13754691 | 0,12621022 | 0,11963563 | 0,12113785 | 0,120394 | |
| Node4 | 0,91441248 | 0,01187601 | 0,01261143 | | 0,00616484 | 0,0113983 | 0,0079486 | 0,00557493 | 0,01852371 | 0,12816492 | 0,11674444 | 0,11010021 | 0,11165949 | 0,11108223 | |
| Node5 | 0,91057718 | 0,01352268 | 0,00676261 | 0,00616484 | | 0,00568677 | 0,00274173 | 0,00772970 | 0,01241865 | 0,13351456 | 0,12211919 | 0,1549678 | 0,11703597 | 0,11636346 | |
| Node6 | 0,90523063 | 0,01437268 | 0,00127966 | 0,00113983 | 0,00568677 | | 0,0034632 | 0,01332178 | 0,00746044 | 0,13636587 | 0,12502317 | 0,11844392 | 0,11994946 | 0,11921479 | |
| Node7 | 0,90785493 | 0,01386262 | 0,00470962 | 0,0079486 | 0,00274173 | 0,0034632 | | 0,01041726 | 0,0108108 | 0,1336591 | 0,12228719 | 0,11568791 | 0,11720833 | 0,11651508 | |
| Node8 | 0,91826386 | 0,01742792 | 0,01426899 | 0,00557493 | 0,00772970 | 0,013232178 | 0,01041726 | 0,01922468 | 0,1316168 | 0,12024702 | 0,113589 | 0,11516557 | 0,11467601 | | |
| Node9 | 0,90137465 | 0,02110848 | 0,00619234 | 0,01852371 | 0,01241862 | 0,00746044 | 0,0108108 | 0,01922468 | | 0,14339175 | 0,13208043 | 0,12552517 | 0,12701411 | 0,12623407 | |
| Node10 | 0,94116166 | 0,12229223 | 0,13754691 | 0,12816492 | 0,13351456 | 0,13636587 | 0,1336591 | 0,1316168 | 0,14339175 | | 0,01145532 | 0,01814094 | 0,01652859 | 0,01715861 | |
| Node11 | 0,93892002 | 0,1109921 | 0,12621022 | 0,11674444 | 0,12211919 | 0,12502317 | 0,12228719 | 0,12024702 | 0,13208043 | 0,01145532 | | 0,00660735 | 0,00508495 | 0,00613814 | |
| Node12 | 0,93786197 | 0,10444682 | 0,11963563 | 0,11010021 | 0,11549678 | 0,11844392 | 0,11568791 | 0,113589 | 0,12552517 | 0,01814094 | 0,00668735 | | 0,00172598 | 0,00319553 | |
| Node13 | 0,93756453 | 0,10592948 | 0,12113785 | 0,11165949 | 0,11703597 | 0,11984946 | 0,11720833 | 0,11516557 | 0,12701411 | 0,01652859 | 0,00508495 | 0,00172598 | | 0,00230984 | |
| Node14 | 0,9351749 | 0,10513388 | 0,120394 | 0,11108223 | 0,11636946 | 0,11921479 | 0,11651508 | 0,11467681 | 0,12623407 | 0,01715861 | 0,00613814 | 0,00319553 | | 0,00238984 | |
| Node15 | 0,94143219 | 0,10441223 | 0,11949119 | 0,10968319 | 0,1151786 | 0,11828494 | 0,1154651 | 0,11300993 | 0,12543717 | 0,01937355 | 0,00849339 | 0,00387131 | 0,00501958 | 0,00704062 | |
| Node16 | 0,93786197 | 0,10444682 | 0,11963563 | 0,11010021 | 0,11549678 | 0,11844392 | 0,11568791 | 0,1135789 | 0,12552517 | 0,01814094 | 0,00668735 | 0 | 0,00172598 | 0,00319553 | |

Figura 45: Ingreso de distancias euclidianas de la ruta 6

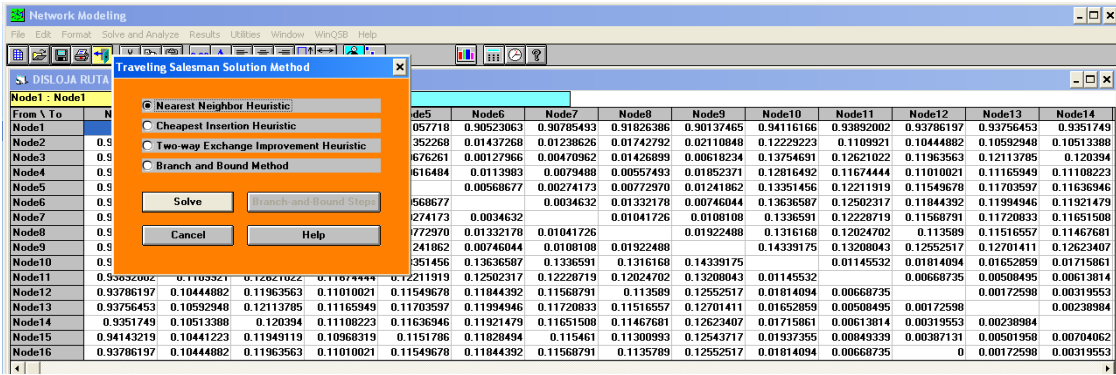


Figura 46: Algoritmos de resolución al problema TSP

| 05-29-2017 | From Node | Connect To | Distance/Cost | | From Node | Connect To | Distance/Cost |
|------------|-----------|------------|---------------|----------|------------|------------|---------------|
| 1 | Node1 | Node9 | 0,9014 | 9 | Node2 | Node15 | 0,1044 |
| 2 | Node9 | Node3 | 6,18E-3 | 10 | Node15 | Node12 | 3,87E-3 |
| 3 | Node3 | Node6 | 1,28E-3 | 11 | Node12 | Node16 | 0 |
| 4 | Node6 | Node7 | 3,46E-3 | 12 | Node16 | Node13 | 1,73E-3 |
| 5 | Node7 | Node5 | 2,74E-3 | 13 | Node13 | Node14 | 2,39E-3 |
| 6 | Node5 | Node4 | 6,16E-3 | 14 | Node14 | Node11 | 6,14E-3 |
| 7 | Node4 | Node8 | 5,57E-3 | 15 | Node11 | Node10 | 0,0115 |
| 8 | Node8 | Node2 | 0,0174 | 16 | Node10 | Node1 | 0,9412 |
| | Total | Minimal | Traveling | Distance | or Cost | = | 2,02 |
| | (Result | from | Nearest | Neighbor | Heuristic) | | |

Figura 47: Resultados de la ruta 6

Secuencia propuesta:

CD – 9 - 3 - 6 - 7 - 5 - 4 - 8 - 2 - 15 - 12 - 16 - 13 - 14 - 11 - 10 - CD

Branch and Bound

El software WinQSB ofrece también otros algoritmos de resolución para el problema de agente viajero, a continuación, la solución para las 6 rutas utilizando el algoritmo Branch and Bound o Ramificación y Acotación.

- Ruta 1

| 06-05-2017 | From Node | Connect To | Distance/Cost | | From Node | Connect To | Distance/Cost |
|------------|-----------|-----------------------------|----------------------------|-------------------------------------|-----------|------------|---------------|
| 1 | Node1 | Node4 | 0,332 | 25 | Node47 | Node48 | 1,88E-3 |
| 2 | Node4 | Node6 | 1,37E-3 | 26 | Node48 | Node40 | 4,67E-3 |
| 3 | Node6 | Node11 | 0,1482 | 27 | Node40 | Node45 | 8,21E-4 |
| 4 | Node11 | Node12 | 1,85E-3 | 28 | Node45 | Node44 | 0 |
| 5 | Node12 | Node15 | 1,79E-3 | 29 | Node44 | Node41 | 2,25E-3 |
| 6 | Node15 | Node23 | 2,12E-3 | 30 | Node41 | Node39 | 9,54E-4 |
| 7 | Node23 | Node33 | 2,49E-4 | 31 | Node39 | Node37 | 5,06E-3 |
| 8 | Node33 | Node24 | 4,17E-3 | 32 | Node37 | Node36 | 1,22E-4 |
| 9 | Node24 | Node25 | 1,84E-4 | 33 | Node36 | Node35 | 5,52E-3 |
| 10 | Node25 | Node31 | 5,23E-3 | 34 | Node35 | Node18 | 0,3192 |
| 11 | Node31 | Node30 | 1,40E-3 | 35 | Node18 | Node14 | 1,43E-3 |
| 12 | Node30 | Node29 | 0 | 36 | Node14 | Node13 | 1,58E-4 |
| 13 | Node29 | Node32 | 3,01E-3 | 37 | Node13 | Node16 | 1,21E-3 |
| 14 | Node32 | Node27 | 1,85E-3 | 38 | Node16 | Node17 | 2,67E-4 |
| 15 | Node27 | Node26 | 8,65E-4 | 39 | Node17 | Node5 | 1,40E-4 |
| 16 | Node26 | Node22 | 1,95E-3 | 40 | Node5 | Node20 | 6,30E-4 |
| 17 | Node22 | Node28 | 3,03E-3 | 41 | Node20 | Node10 | 3,63E-3 |
| 18 | Node28 | Node21 | 3,25E-3 | 42 | Node10 | Node34 | 1,11E-3 |
| 19 | Node21 | Node19 | 7,18E-4 | 43 | Node34 | Node8 | 1,05E-3 |
| 20 | Node19 | Node38 | 0,3888 | 44 | Node8 | Node7 | 2,78E-3 |
| 21 | Node38 | Node43 | 2,97E-3 | 45 | Node7 | Node9 | 1,13E-3 |
| 22 | Node43 | Node42 | 4,00E-4 | 46 | Node9 | Node3 | 0,1158 |
| 23 | Node42 | Node46 | 9,75E-4 | 47 | Node3 | Node2 | 5,57E-4 |
| 24 | Node46 | Node47 | 6,61E-4 | 48 | Node2 | Node1 | 0,3315 |
| | Total | Minimal from (Result) | Traveling Branch and | Distance or Cost and Bound | = | Method) | 1,71 |

Figura 48: Resultados de la ruta 1 método Branch and Bound

Secuencia: **CD – 4 – 6 – 11 – 12 – 15 – 23 – 33 – 24 – 25 – 31 – 30 – 29 – 32 – 27 – 26 – 22 – 28 – 21 – 19 – 38 – 43 – 42 – 46 – 47 – 48 – 40 – 45 – 44 – 41 – 39 – 37 – 36 – 35 – 18 – 14 – 13 – 16 – 17 – 5 – 20 – 10 – 34 – 8 – 7 – 9 – 3 – 2 – CD**

La distancia que representa la ruta es de **1.71** kilómetros euclidianos.

- Ruta 2

| 16-05-2017 | From Node | Connect To | Distance/Cost | | From Node | Connect To | Distance/Cost |
|------------|-----------|-----------------------|------------------|--------------------|---------------|------------|---------------|
| 1 | Node1 | Node27 | 0,4518 | 22 | Node26 | Node22 | 8,19E-4 |
| 2 | Node27 | Node21 | 1,69E-3 | 23 | Node22 | Node30 | 6,94E-3 |
| 3 | Node21 | Node25 | 8,19E-4 | 24 | Node30 | Node40 | 0,3696 |
| 4 | Node25 | Node10 | 2,37E-3 | 25 | Node40 | Node39 | 3,90E-3 |
| 5 | Node10 | Node9 | 1,12E-3 | 26 | Node39 | Node37 | 0,002 |
| 6 | Node9 | Node14 | 5,65E-4 | 27 | Node37 | Node36 | 7,90E-4 |
| 7 | Node14 | Node11 | 1,23E-3 | 28 | Node36 | Node38 | 2,70E-3 |
| 8 | Node11 | Node17 | 1,13E-3 | 29 | Node38 | Node41 | 0,01 |
| 9 | Node17 | Node7 | 2,41E-3 | 30 | Node41 | Node32 | 0,1 |
| 10 | Node7 | Node6 | 9,15E-4 | 31 | Node32 | Node35 | 0,002 |
| 11 | Node6 | Node16 | 2,04E-3 | 32 | Node35 | Node33 | 3,83E-3 |
| 12 | Node16 | Node12 | 6,07E-4 | 33 | Node33 | Node34 | 6,80E-4 |
| 13 | Node12 | Node19 | 1,12E-3 | 34 | Node34 | Node31 | 0,312 |
| 14 | Node19 | Node13 | 2,47E-3 | 35 | Node31 | Node24 | 0,0105 |
| 15 | Node13 | Node28 | 3,50E-4 | 36 | Node24 | Node29 | 6,50E-3 |
| 16 | Node28 | Node15 | 1,10E-3 | 37 | Node29 | Node23 | 1,67E-3 |
| 17 | Node15 | Node5 | 3,29E-4 | 38 | Node23 | Node3 | 0,2142 |
| 18 | Node5 | Node8 | 8,64E-3 | 39 | Node3 | Node4 | 2,17E-3 |
| 19 | Node8 | Node18 | 5,13E-3 | 40 | Node4 | Node2 | 5,01E-4 |
| 20 | Node18 | Node20 | 6,98E-3 | 41 | Node2 | Node1 | 0,2436 |
| 21 | Node20 | Node26 | 6,23E-3 | | | | |
| | Total | Minimal from [Result] | Traveling Branch | Distance and Bound | or Cost Bound | = Method) | 1,79 |

Figura 49: Resultados de la ruta 2 método Branch and Bound

Secuencia: **CD – 27 – 21 – 25 – 10 – 9 – 14 – 11 – 17 – 7 – 6 – 16 – 12 – 19 – 13 – 28 – 15 – 5 – 8 – 18 – 20 – 26 – 22 – 30 – 40 – 39 – 37 – 36 – 38 – 41 – 32 – 35 – 33 – 34 – 31 – 24 – 29 – 23 – 3 – 4 – 2 – CD**

Distancia en kilómetros euclidianos correspondiente a la secuencia es de **1.79**

- Ruta 3

| 06-05-2017 | From Node | Connect To | Distance/Cost | | From Node | Connect To | Distance/Cost |
|------------|-----------|-----------------------|------------------|--------------------|---------------|------------|---------------|
| 1 | Node1 | Node8 | 0,2513 | 17 | Node9 | Node11 | 1,88E-3 |
| 2 | Node8 | Node3 | 2,02E-3 | 18 | Node11 | Node14 | 0,003 |
| 3 | Node3 | Node5 | 2,59E-3 | 19 | Node14 | Node31 | 0,2538 |
| 4 | Node5 | Node2 | 2,59E-3 | 20 | Node31 | Node30 | 4,02E-3 |
| 5 | Node2 | Node7 | 1,79E-3 | 21 | Node30 | Node28 | 3,72E-3 |
| 6 | Node7 | Node4 | 5,96E-3 | 22 | Node28 | Node26 | 3,99E-3 |
| 7 | Node4 | Node6 | 0,0121 | 23 | Node26 | Node27 | 3,84E-3 |
| 8 | Node6 | Node16 | 0,2874 | 24 | Node27 | Node29 | 0 |
| 9 | Node16 | Node15 | 5,48E-3 | 25 | Node29 | Node21 | 0,2127 |
| 10 | Node15 | Node19 | 6,79E-4 | 26 | Node21 | Node20 | 3,33E-3 |
| 11 | Node19 | Node12 | 3,22E-3 | 27 | Node20 | Node23 | 3,46E-3 |
| 12 | Node12 | Node13 | 1,32E-3 | 28 | Node23 | Node22 | 1,48E-3 |
| 13 | Node13 | Node18 | 1,59E-3 | 29 | Node22 | Node24 | 2,34E-3 |
| 14 | Node18 | Node10 | 3,62E-3 | 30 | Node24 | Node25 | 2,53E-3 |
| 15 | Node10 | Node17 | 5,01E-3 | 31 | Node25 | Node1 | 0,863 |
| 16 | Node17 | Node9 | 6,64E-3 | | | | |
| | Total | Minimal from [Result] | Traveling Branch | Distance and Bound | or Cost Bound | = Method) | 1,96 |

Figura 50: Resultados de la ruta 3 método Branch and Bound

Secuencia: **CD – 8 – 3 – 5 – 2 – 7 – 4 – 6 – 16 – 15 – 19 – 12 – 13 – 18 – 10 – 17 – 9 – 11 – 14 – 30 – 28 – 26 – 27 – 29 – 21 – 20 – 23 – 22 – 24 – 25 – CD**

Distancia: **1.96** kilómetros euclidianos corresponde recorrer la secuencia propuesta.

- Ruta 4

| 06-05-2017 | From Node | Connect To | Distance/Cost | | From Node | Connect To | Distance/Cost |
|------------|-----------|------------|---------------|------------------|-----------|------------|---------------|
| 1 | Node1 | Node13 | 0,2242 | 19 | Node16 | Node19 | 1,40E-3 |
| 2 | Node13 | Node10 | 3,70E-3 | 20 | Node19 | Node18 | 1,21E-3 |
| 3 | Node10 | Node7 | 5,44E-3 | 21 | Node18 | Node14 | 1,30E-3 |
| 4 | Node7 | Node6 | 7,70E-4 | 22 | Node14 | Node28 | 0,2102 |
| 5 | Node6 | Node2 | 6,50E-3 | 23 | Node28 | Node25 | 4,38E-3 |
| 6 | Node2 | Node8 | 4,10E-3 | 24 | Node25 | Node36 | 0,007 |
| 7 | Node8 | Node3 | 4,20E-3 | 25 | Node36 | Node30 | 0,0113 |
| 8 | Node3 | Node9 | 9,00E-4 | 26 | Node30 | Node27 | 2,00E-4 |
| 9 | Node9 | Node4 | 1,50E-3 | 27 | Node27 | Node34 | 4,30E-4 |
| 10 | Node4 | Node5 | 0,0103 | 28 | Node34 | Node31 | 1,49E-3 |
| 11 | Node5 | Node17 | 0,2405 | 29 | Node31 | Node35 | 7,10E-4 |
| 12 | Node17 | Node24 | 0,0557 | 30 | Node35 | Node29 | 6,50E-3 |
| 13 | Node24 | Node23 | 0,003 | 31 | Node29 | Node32 | 1,58E-3 |
| 14 | Node23 | Node22 | 3,59E-3 | 32 | Node32 | Node33 | 5,20E-3 |
| 15 | Node22 | Node20 | 0,0953 | 33 | Node33 | Node26 | 1,97E-3 |
| 16 | Node20 | Node21 | 1,10E-3 | 34 | Node26 | Node11 | 0 |
| 17 | Node21 | Node15 | 1,20E-3 | 35 | Node11 | Node12 | 0,0701 |
| 18 | Node15 | Node16 | 1,50E-3 | 36 | Node12 | Node1 | 0,2307 |
| | Total | Minimal | Traveling | Distance or Cost | = | | 1,22 |
| | (Result | from | Branch | and | Bound | Method) | |

Figura 51: Resultados de la ruta 4 método Branch and Bound

La secuencia es la siguiente: **CD – 13 – 10 – 7 – 6 – 2 – 8 – 3 – 9 – 4 – 5 – 17 – 24 – 23 – 20 – 21 – 15 – 16 – 19 – 18 – 14 – 28 – 25 – 36 – 30 – 27 – 34 – 31 – 35 – 29 – 32 – 33 – 26 – 11 – 12 – CD**

La secuencia corresponde a recorrer **1.22** kilómetros euclidianos.

- Ruta 5

El procedimiento es exactamente igual, los resultados para la ruta 5 son:

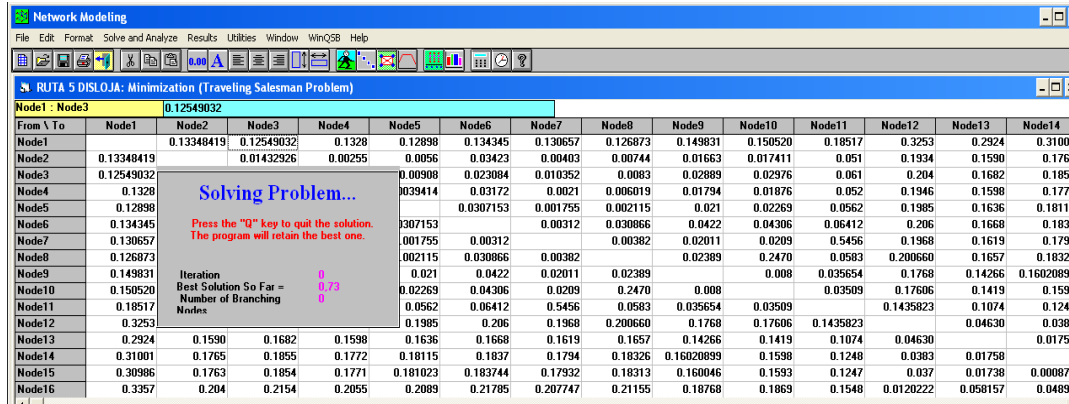


Figura 52: Resultados de la ruta 5 método Branch and Bound

| 06-06-2017 | From Node | Connect To | Distance/Cost | | From Node | Connect To | Distance/Cost |
|------------|-----------|------------|---------------|----------|-----------|------------|---------------|
| 1 | Node1 | Node5 | 0,1290 | 9 | Node15 | Node14 | 8,75E-4 |
| 2 | Node5 | Node8 | 2,12E-3 | 10 | Node14 | Node13 | 0,0176 |
| 3 | Node8 | Node3 | 8,30E-3 | 11 | Node13 | Node11 | 0,1074 |
| 4 | Node3 | Node2 | 0,0143 | 12 | Node11 | Node9 | 0,0357 |
| 5 | Node2 | Node10 | 0,0174 | 13 | Node9 | Node4 | 0,0179 |
| 6 | Node10 | Node12 | 0,1761 | 14 | Node4 | Node7 | 2,10E-3 |
| 7 | Node12 | Node16 | 0,0120 | 15 | Node7 | Node6 | 3,12E-3 |
| 8 | Node16 | Node15 | 0,0482 | 16 | Node6 | Node1 | 0,1343 |
| | Total | Minimal | Traveling | Distance | or Cost | = | 0,73 |
| | (Result | from | Branch | and | Bound | Method) | |

Figura 53: Resultados de la ruta 5 método Branch and Bound

La secuencia es la siguiente: **CD – 5 – 8 – 3- 2 – 10 -12 – 16 – 15 – 14 – 13 – 11 – 9 – 4 – 7 – 6 - CD**

La secuencia corresponde a recorrer **0.73** kilómetros euclidianos.

- Ruta 6

Los resultados con el método Branch and Bound son los siguientes:

| From \ To | Node3 | Node4 | Node5 | Node6 | Node7 | Node8 | Node9 | Node10 | Node11 | Node12 | Node13 | Node14 | Node15 | Node16 |
|-----------|----------|----------|----------|----------|----------|----------|------------|-----------|---------|----------|----------|----------|------------|----------|
| Node2 | 0.0145 | 0.011 | 0.013522 | 0.0143 | 0.012 | 0.01742 | 0.02110 | 0.1222 | 0.11093 | 0.10444 | 0.10592 | 0.105 | 0.10441 | 0.10444 |
| Node3 | | 0.01261 | 0.0067 | 0.0012 | 0.004709 | 0.0142 | 0.0061 | 0.1375 | 0.1262 | 0.1196 | 0.121137 | 0.12 | 0.1194 | 0.1196 |
| Node4 | 0.01261 | | 0.0061 | 0.011 | 0.007 | 0.0557 | 0.018 | 0.1201 | 0.1167 | 0.1101 | 0.1165 | 0.111080 | 0.10968 | 0.1101 |
| Node5 | 0.0067 | 0.0061 | | 0.0056 | 0.0027 | 0.007729 | 0.01241 | 0.1335 | 0.12211 | 0.1154 | 0.1170 | 0.1163 | 0.1151 | 0.1154 |
| Node6 | 0.0012 | 0.011 | 0.0056 | | 0.003463 | 0.013312 | 0.0074 | 0.13632 | 0.1250 | 0.1184 | 0.1199 | 0.1191 | 0.1182 | 0.1184 |
| Node7 | 0.004709 | 0.007 | 0.0027 | 0.003463 | | 0.0104 | 0.0108 | 0.1356 | 0.1222 | 0.1156 | 0.11752 | 0.1165 | 0.1156 | 0.1156 |
| Node8 | 0.0142 | 0.0557 | 0.007729 | 0.013312 | 0.0104 | | 0.01922 | 0.13169 | 0.1202 | 0.1135 | 0.1151 | 0.1146 | 0.113000 | 0.1135 |
| Node9 | 0.0061 | 0.018 | 0.01241 | 0.0074 | 0.0108 | 0.01922 | | 0.1433 | 0.1320 | 0.1255 | 0.127014 | 0.1262 | 0.12543717 | 0.125525 |
| Node10 | 0.1375 | 0.1281 | 0.1335 | 0.13632 | 0.13356 | 0.13169 | 0.1433 | | 0.01145 | 0.01814 | 0.01652 | 0.01715 | 0.0193735 | 0.01814 |
| Node11 | 0.1262 | 0.1167 | 0.12211 | 0.1250 | 0.1222 | 0.1202 | 0.1320 | 0.01145 | | 0.0066 | 0.0052 | 0.00613 | 0.00849 | 0.0066 |
| Node12 | 0.1196 | 0.1101 | 0.1154 | 0.1184 | 0.1156 | 0.1135 | 0.1255 | 0.01814 | 0.0066 | | 0.00172 | 0.003195 | 0.003871 | 0 |
| Node13 | 0.121137 | 0.1165 | 0.1170 | 0.1199 | 0.11752 | 0.1151 | 0.127014 | 0.01652 | 0.0052 | 0.00172 | | 0.0023 | 0.005019 | 0.001725 |
| Node14 | 0.12 | 0.111080 | 0.1163 | 0.1191 | 0.1165 | 0.1146 | 0.1262 | 0.01715 | 0.00613 | 0.003195 | 0.0023 | | 0.007040 | 0.003198 |
| Node15 | 0.1194 | 0.10968 | 0.1151 | 0.1162 | 0.1156 | 0.113000 | 0.12543717 | 0.0193735 | 0.00849 | 0.003871 | 0.005019 | 0.007040 | | 0.0038 |
| Node16 | 0.1196 | 0.1101 | 0.1154 | 0.1184 | 0.1156 | 0.1135 | 0.125525 | 0.01814 | 0.0066 | 0 | 0.001725 | 0.003198 | 0.0038 | |

Figura 54: Resultados de la ruta 6 método Branch and Bound

| Node1 : Node3 | 0.904517 | | | | | | | | | | | | | |
|---------------|-----------|----------|----------|----------|----------|----------|----------|----------|------------|-----------|---------|----------|----------|----------|
| From \ To | Node1 | Node2 | Node3 | Node4 | Node5 | Node6 | Node7 | Node8 | Node9 | Node10 | Node11 | Node12 | Node13 | Node14 |
| Node1 | 0.905362 | 0.904517 | 0.9144 | 0.910577 | 0.90523 | 0.90795 | 0.9182 | 0.901374 | 0.9411661 | 0.9389 | 0.9378 | 0.93865 | 0.9351 | |
| Node2 | 0.905362 | | 0.01545 | 0.011 | 0.019522 | 0.0143 | 0.012 | 0.01742 | 0.02110 | 0.1222 | 0.11098 | 0.10444 | 0.10592 | 0.105 |
| Node3 | 0.904517 | | | 0.0067 | 0.0012 | 0.004709 | 0.0142 | 0.0061 | 0.1375 | 0.1262 | 0.1196 | 0.121137 | 0.12 | |
| Node4 | 0.9144 | | | | 0.0061 | 0.011 | 0.007 | 0.0657 | 0.018 | 0.1201 | 0.1167 | 0.1101 | 0.11165 | 0.111080 |
| Node5 | 0.910577 | | | | 0.0056 | 0.0027 | 0.007729 | 0.01241 | 0.1335 | 0.12211 | 0.1154 | 0.1170 | 0.1163 | |
| Node6 | 0.90523 | | | | 0.0056 | 0.003463 | 0.013312 | 0.0074 | 0.13632 | 0.1250 | 0.1184 | 0.1199 | 0.1191 | |
| Node7 | 0.90795 | | | | 0.0027 | 0.003463 | 0.0104 | 0.0108 | 0.1356 | 0.1222 | 0.1156 | 0.11752 | 0.1165 | |
| Node8 | 0.9192 | | | | 0.007729 | 0.013312 | 0.0104 | 0.01922 | 0.13169 | 0.1202 | 0.1135 | 0.1151 | 0.1146 | |
| Node9 | 0.901374 | | | | 0.01241 | 0.0074 | 0.0108 | 0.01922 | | 0.1433 | 0.1320 | 0.1255 | 0.127014 | 0.1262 |
| Node10 | 0.9411661 | | | | 0.1335 | 0.13632 | 0.1356 | 0.13169 | 0.1433 | | 0.01145 | 0.01814 | 0.01652 | 0.01715 |
| Node11 | 0.9389 | | | | 0.12211 | 0.1250 | 0.1222 | 0.1202 | 0.1320 | 0.01145 | | 0.0066 | 0.0052 | 0.00613 |
| Node12 | 0.9378 | | | | 0.1154 | 0.1184 | 0.1156 | 0.1135 | 0.1255 | 0.01814 | 0.0066 | | 0.00172 | 0.003195 |
| Node13 | 0.93865 | 0.10592 | 0.121137 | 0.11165 | 0.1170 | 0.1199 | 0.11752 | 0.1151 | 0.127014 | 0.01652 | 0.0052 | 0.00172 | | 0.0023 |
| Node14 | 0.9351 | 0.105 | 0.12 | 0.111080 | 0.1163 | 0.1191 | 0.1165 | 0.1146 | 0.1262 | 0.01715 | 0.00613 | 0.003195 | 0.0023 | |
| Node15 | 0.941432 | 0.10441 | 0.1194 | 0.10968 | 0.1151 | 0.1182 | 0.1156 | 0.113000 | 0.12543717 | 0.0193735 | 0.00849 | 0.003871 | 0.005019 | 0.007040 |
| Node16 | 0.9378 | 0.10444 | 0.1196 | 0.1101 | 0.1154 | 0.1184 | 0.1156 | 0.1135 | 0.125525 | 0.01814 | 0.0066 | 0 | 0.001725 | 0.003198 |

Figura 55: Resultados de la ruta 6 método Branch and Bound

| 06-06-2017 | From Node | Connect To | Distance/Cost | | From Node | Connect To | Distance/Cost |
|------------|-----------|---------------------------|---------------------------|----|-----------|------------|---------------|
| 1 | Node1 | Node9 | 0.9014 | 9 | Node8 | Node15 | 0.113 |
| 2 | Node3 | Node3 | 6.10E-3 | 10 | Node15 | Node16 | 3.80E-3 |
| 3 | Node3 | Node6 | 1.20E-3 | 11 | Node16 | Node12 | 0 |
| 4 | Node6 | Node7 | 3.46E-3 | 12 | Node12 | Node13 | 1.72E-3 |
| 5 | Node7 | Node5 | 2.70E-3 | 13 | Node13 | Node14 | 2.30E-3 |
| 6 | Node5 | Node4 | 6.10E-3 | 14 | Node14 | Node11 | 6.13E-3 |
| 7 | Node4 | Node2 | 0.011 | 15 | Node11 | Node10 | 0.0115 |
| 8 | Node2 | Node8 | 0.0174 | 16 | Node10 | Node1 | 0.9412 |
| | Total | Minimal from Branch | Traveling and Bound | = | | | 2,03 |
| | (Result) | | | | | | Method) |

Figura 56: Resultados de la ruta 6 método Branch and Bound

La secuencia es la siguiente: **CD – 9 – 3 – 6 – 7 – 5 – 4 – 2 – 8 – 15 – 16 – 12 – 13 – 14 – 11 – 10 - CD**

La secuencia corresponde a recorrer **2.03** kilómetros euclidianos.

Consolidado de Resultados

Una vez que se ha aplicado todos los algoritmos, softwares y métodos de solución para la optimización de rutas los resultados totales se detallan en la tabla a continuación:

Tabla 13.

Matriz de resultados en kilómetros euclidianos con los 3 algoritmos de WinQSB

| | | WIN QSB | | | |
|--------|-------|------------------|--------------------|------------------|--------------------|
| | Nodos | SITUACIÓN ACTUAL | VECINO MAS CERCANO | BRANCH AND BOUND | TWO STEPS EXCHANGE |
| Ruta 1 | 47 | 2,15 | 2,01 | 1,71 | 1,70 |
| Ruta 2 | 40 | 1,91 | 2,04 | 1,79 | 1,72 |
| Ruta 3 | 30 | 2,13 | 1,96 | 1,96 | 1,92 |
| Ruta 4 | 35 | 2,62 | 1,26 | 1,22 | 1,21 |
| Ruta 5 | 15 | 0,89 | 0,84 | 0,73 | 0,71 |
| Ruta 6 | 15 | 2,09 | 2,03 | 2,03 | 2,02 |

La **tabla 13** detalla la comparación entre la ruta original que se trabaja en DISLOJA, con los tres algoritmos de resolución mediante el software WinQSB.

El porcentaje de mejora por cada algoritmo se detalla a continuación:

Tabla 14.

Matriz de resultados incluye porcentajes de mejora

| | | WIN QSB | | | | | | |
|--------|-------|-------------------|--------------------|------------------|------------------|-----------------|---------------------|-----------------|
| | Nodos | Situació n Actual | Vecino más Cercano | % de Mejor a V+C | BRANCH AND BOUND | % de Mejora B&B | TWO STEPS EXCHAN GE | % de Mejora TSE |
| Ruta 1 | 47 | 2,15 | 2,01 | 6,5% | 1,71 | 20,5% | 1,70 | 20,9% |
| Ruta 2 | 40 | 1,91 | 1,79 | 6,3% | 1,79 | 6,3% | 1,72 | 9,9% |
| Ruta 3 | 30 | 2,13 | 1,96 | 8,0% | 1,96 | 8,0% | 1,92 | 9,9% |
| Ruta 4 | 35 | 2,62 | 1,26 | 52% | 1,22 | 53,4% | 1,21 | 53,8% |
| Ruta 5 | 15 | 0,89 | 0,84 | 6% | 0,73 | 18,0% | 0,71 | 20,2% |
| Ruta 6 | 15 | 2,09 | 2,03 | 3% | 2,03 | 2,9% | 2,02 | 3,3% |

Como nos muestra en la **tabla 14** es evidente que el algoritmo que más porcentaje de mejora es el Two Steps Exchange, por lo que para dar una alternativa de mejora al problema de rutas de DISLOJA. El promedio de mejora que propone el algoritmo es del **19.7% ~ 20%**.

5. CAPÍTULO V: PROPUESTA DE MEJORA

5.1. Hallazgos Generales

El hallazgo primordial identificado en DISLOJA, son la estructuración de rutas para dar cobertura a los clientes; para facilitar el reconocimiento del problema se realizó un diagrama de causa efecto (**Figura 15**), una vez reconocido el problema se procedió a recolectar información sobre la dirección de los clientes visitados como se detalla en los **Anexos 1-6**.

Se realizó un ejemplo que nos sirvió como predictor, es decir se tomó una muestra de 9 clientes de la ruta 1, la más rentable, y a partir de esa cantidad de clientes se procedió primeramente a resolver el problema aplicando de forma manual el algoritmo del vecino más cercano **Anexo 7**. En donde se obtuvo como resultado una secuencia que equivale a recorrer 1.74 kilómetros euclidianos, una vez obtenido ese dato que comparó con la secuencia de ruta original que resultó 1.76 kilómetros euclidianos para 9 clientes, por lo que el porcentaje de mejora obtenido fue de 1.13%, seguidamente se pronosticó para la cantidad de clientes total que posee la ruta 1 (**Anexo 9**), 47 clientes, y el porcentaje de mejora utilizando un software que abarque todos los clientes resultaría alrededor de 5.93%.

5.2. Hallazgos con aplicación de TIC's

5.2.1. Aplicación de LogVRP

El primer software a utilizar fue el programa online LogVRP, en donde los resultados fueron muy cercanos al resultado obtenido aplicando el algoritmo del vecino más cercano, con una secuencia de ruta que corresponde a 1,749

kilómetros euclidianos, y que haciendo el análisis para la cantidad total de clientes de la ruta 1 el porcentaje de mejora se mantendrá en 5,93% aproximadamente. **Figura 31, Tabla 12, Anexo 8.**

5.2.2. Aplicación WinQSB

Con la necesidad inmediata de aumentar el porcentaje de mejora se decidió en aplicar un software más, éste proporciona más opciones de resolución al problema del agente viajero como son el vecino más cercano, Branch and Bound Y Two Steps Exchange.

Una vez aplicado los tres algoritmos a las 6 rutas de DISLOJA, el porcentaje de mejora aumentó considerablemente como se muestra en la **Tabla 14**.

Resultando que el algoritmo con mayor porcentaje de mejora es Two Steps Exchange.

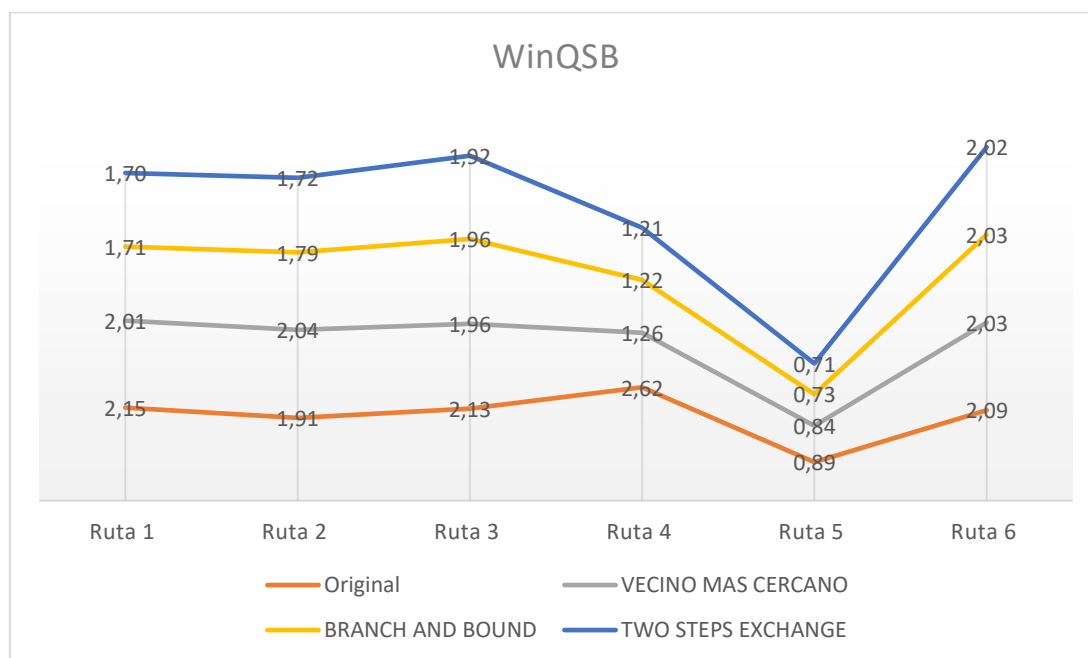


Figura 57: Resultados WinQSB

Considerando que la Ruta 4 es la que mayor porcentaje de mejora (**Tabla 14**), la diagramación de la solución propuesta es la siguiente:

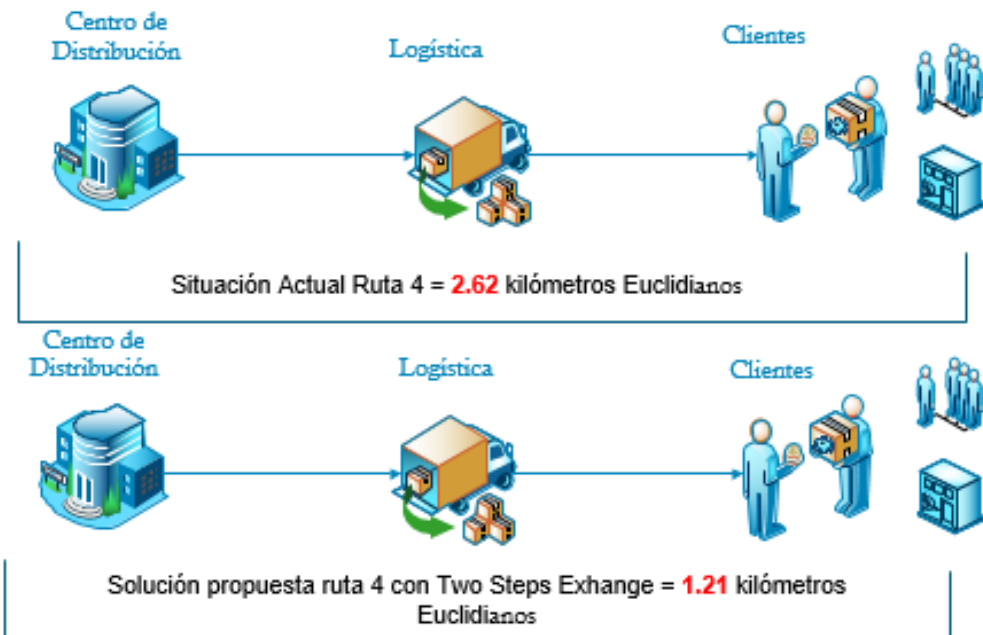


Figura 58: Mejora con WinQSB ruta 4

Finalmente, la solución propuesta por este proyecto de titulación a la empresa DISLOJA, es la aplicación de los resultados obtenidos por el software WinQSB, que como se muestra en la **tabla 14**, es el algoritmo que mayor porcentaje de mejora presenta por ruta.

6. CAPÍTULO VI. ANÁLISIS FINANCIERO

La finalidad del análisis financiero, es poder relacionar las ganancias, beneficios, aumento, productividad de un objetivo previamente planteado. Es importante establecer claramente los distintos costos para entender con mayor precisión la respuesta. Casteblanco, O.E. (s. f.).

Mediante un análisis financiero a la empresa DISLOJA, se podrá determinar el beneficio, rentabilidad y el impacto que tuvo el estudio frente a una optimización del flujo de pedidos y rutas de entrega.

Entonces para el análisis financiero se va a hacer una comparación entre la situación actual de la empresa frente a las propuestas de mejora expresadas en el capítulo anterior.

6.1. Desglose de Costos

Para determinar el costo que representa completar la ruta es importante definir costos que implican llegar al cliente, existen varios tipos de costos, a continuación, se presenta un detalle exhaustivo de los costos para DISLOJA:

- Es importante principalmente analizar los costos de mano de obra, tomando en cuenta que son 4 trabajadores el valor unitario mensual.

Tabla 15

Costos de mano de obra "DISLOJA".

COSTOS DE MANO DE OBRA "DISLOJA"

| Descripción | V. Unitario | Cantidad | V. total |
|--------------------|--------------------|-----------------|--------------------|
| Mano de Obra | \$ 1.250,00 | 1 | \$ 1.250,00 |
| | \$ 900,00 | 1 | \$ 900,00 |
| | \$ 850,00 | 1 | \$ 850,00 |
| | \$ 400,00 | 1 | \$ 400,00 |
| | | | \$ 3.400,00 |

Los costos por cada trabajador están fijados de acuerdo a las tareas que le corresponden realizar, es por eso que cada uno recibe un valor distinto; resultando de esta manera generar un gasto de \$3.400,00 mensuales.

- El costo del combustible es necesario tomar en cuenta, puesto que éste será uno de los indicativos principales para la optimización.

Tabla 16

Costos de combustible “DISLOJA”.

COSTOS DE COMBUSTIBLE "DISLOJA"

| Descripción | \$ / Galón | Galón | Ruta 1 V. Total {km} | Ruta2 V. Total {km} | Ruta3 V. Total {km} | Ruta4 V. Total {km} | Ruta5 V. Total {km} | Ruta6 V. Total {km} | Frecuencia Mensual | V. total |
|-------------|------------|-------|----------------------------|---------------------------|---------------------------|---------------------------|---------------------------|---------------------------|-----------------------|-----------|
| Camión | \$ 1,48 | 25 | 180 | \$10,56 | 90 | \$ 5,33 | 95 | \$ 5,62 | 160 | \$ 9,47 |
| Combustible | | | | | | | | | | |
| Carro 1 | \$ 1,03 | 14 | 180 | \$13,24 | 90 | \$ 6,62 | 95 | \$ 6,99 | 160 | \$11,77 |
| Carro 2 | \$ 1,03 | 14 | | | | | | | | \$ 155,60 |

Para los valores por galón de combustible, se tomó en cuenta los precios que maneja la comercial estatal Petrocomercial en su página oficial. Por tanto, el valor total de DISLOJA en combustible mensual es de \$155,60 tomando en cuenta que cada ruta tiene una frecuencia mensual de dos veces.

- El mantenimiento tanto del camión como de los dos carros es importante realizarlo preventivamente para evitar daños y retrasos en las entregas como en la preventa y venta.

Tabla 17

Costos de mantenimiento “DISLOJA”.

| COSTOS DE MANTENIMIENTO "DISLOJA" | | | | | |
|--|--------|-----------------------|--------------------|-----------------|-------------------|
| Descripción | | Cantidad Anual | V. Unitario | V. Total | V. Mensual |
| Mantenimiento | Camiòn | 2 | \$ 213,22 | \$ 426,45 | \$ 35,54 |
| | Carros | 1 | \$ 150,00 | \$ 150,00 | \$ 12,50 |
| | | | | | \$ 48,04 |

El mantenimiento DISLOJA lo realiza 3 veces al año para el camión y 2 veces para los carros. Tomando los costos que se encuentran en la página oficial de Chevrolet el valor mensual de mantenimiento es \$48,04. («Posventa Camiones Combos | Chevrolet Ecuador», s. f.)

La matriculación y revisión vehicular forman parte de las obligaciones ante el estado, por lo que no se puede evadir dichos impuestos y que al ser un valor anual forma parte de los gastos de la empresa.

Tabla 18

Costos de matriculación y revisión vehicular “DISLOJA”.

| COSTOS DE MATRICULACIÓN Y REVISIÓN VEHICULAR "DISLOJA" | | | | | |
|---|--------|-----------------|-----------------|-------------------|----------|
| Descripción | | Cantidad | V. Anual | V. Mensual | |
| Matriculación y Revisión | Camiòn | 1 | \$ 95,21 | \$ 7,93 | |
| | Carros | 2 | \$ 113,11 | \$ 18,85 | |
| | | | | | \$ 26,79 |

Para conocer el valor a pagar por cada carro y el camión, DISLOJA proporcionó la información en base a facturas pagadas anteriormente, además los valores a pagar se encuentran en la página de la Agencia Nacional de Tránsito (ANT) ant.gob.ec

- Los neumáticos forman parte de lo principal para el funcionamiento de la flota logística.

Tabla 19

Costos de neumáticos “DISLOJA”.

| Descripción | | Cantidad | V. Unitario | V. Total | km | \$/km | km mensual | \$ mensual |
|--------------------|--------|-----------------|--------------------|-----------------|-----------|--------------|-------------------|-------------------|
| Naumàticos | Camiòn | 6 | \$ 90,00 | \$ 540,00 | 36.000 | \$ 0,02 | 1.050 | \$ 15,75 |
| | Carros | 4 | \$ 50,00 | \$ 200,00 | 36.000 | \$ 0,01 | 220 | \$ 1,22 |
| | | | | | | | | \$ 16,97 |

El desglose está dado primeramente en base a los kilómetros que el camión y los carros recorren hasta agotar los neumáticos, que aproximadamente son 36.000 km; seguidamente los kilómetros que cada uno tiene aproximadamente. Finalmente, el costo mensual que entre los dos resulta de \$16,97.

- Por último, siempre existen costos extras que resultan ser indispensables para realizar el trabajo y que se los debe tomar en cuenta:

Tabla 20

Costos extras “DISLOJA”.

| COSTOS EXTRAS "DISLOJA" | | |
|--------------------------------|-------------------|-------------------|
| Descripción | | V. Mensual |
| Extras | Peajes | \$ 15,00 |
| | Software | \$ 5,00 |
| | Telefonía | \$ 25,00 |
| | Imprevistos | \$ 100,00 |
| | Servicios Básicos | \$ 15,00 |
| | Depreciaciones | \$ 260,00 |
| | | \$ 420,00 |

Estos costos extras forman parte de la logística de DISLOJA, por tanto, la suma de todos ellos es de \$420 mensuales.

6.2. Resumen de Costos

La compilación de todos los resultados desglosados, agrupándolos por áreas, partes, procesos, etc., añadiendo una frecuencia de repetición. Contabilidad. Análisis de Cuentas. (s. f.).

Los gastos mensuales que DISLOJA tiene mensualmente son:

Tabla 21

Costos extras “DISLOJA”.

| Descripción | V. Total Mensual |
|--------------------------|-------------------|
| Mano de Obra | \$ 3.400,00 |
| Combustible | \$ 155,60 |
| Mantenimiento | \$ 48,04 |
| Matriculación y Revision | |
| Vehicular | \$ 26,79 |
| Viáticos | \$ 290,00 |
| Naumáticos | \$ 16,79 |
| Extras | \$ 420,00 |
| | \$4.357,22 |

La **tabla 21** indica que los gastos mensuales corresponden a **\$4.357,22** y que al año significa **\$52.286,64**. Al aplicar la secuencia de ruta que propone el algoritmo Two Steps Exchange la optimización aproximada es del **20%** que al aplicarlos sobre los gastos mensuales representaría un ahorro del **\$871 ~ \$1000** mensuales y que al año son **\$12 000**.

Finalmente, la aplicación del algoritmo Two Steps Exchange proporciona a DISLOJA la mejor opción para reducir significativamente el problema de rutas.

7. CONCLUSIONES Y RECOMENDACIONES

7.1. Conclusiones

En cuanto al flujo de pedidos se realizó un levantamiento de procesos de cada tarea para llegar al cliente, desde la logística de entrada hasta el despacho hacia los clientes.

La optimización de rutas de entrega que se plantea el proyecto, se inició realizando un ejemplo predictor, es decir de una sola ruta escoger 10 clientes y de ellos utilizar un software LogVRP y que al dar un resultado poder saber que si al ingresar la cantidad de clientes totales el porcentaje de mejora incrementaría.

Realizando el análisis de procesos e inventarios, se calculó que el nivel de servicio de DISLOJA en la provincia de Loja es de 98,6% mientras que en Cotopaxi es del 100%.

Para dicho cálculo se basa en las ventas realizadas, y se determinó que la ruta que más rentabilidad tiene es la 1.

La aplicación de TIC's formó una parte fundamental en el proyecto, porque facilitó la comprensión de las mejoras con los algoritmos que forman parte de cada programa.

El software WinQSB, trabaja con 3 tipos de Algoritmos (Vecino más cercano, Branch and Bound, Two Steps Exchange), y para el problema de rutas se ingresó todas las matrices de las distancias euclidianas al programa.

Las soluciones encontradas reducirían el problema de rutas en 13,5% utilizando el algoritmo Vecino más Cercano; 18,2% con Branch and Bound y 19,7% con el algoritmo Two Steps Exchange.

La propuesta de mejora estaría basada primeramente en la estandarización de procesos para evitar problemas de desorganización durante en flujo de pedidos, y por otro lado la utilización de programas de venta libre como WinQSB, LogVRP que ayudan al ruteo.

El estudio financiero en base a la propuesta de mejora representa un ahorro mensual de \$12 000 anuales desde el momento de su implementación.

7.2. Recomendaciones

Analizar la situación de DISLOJA a largo plazo mientras la empresa incrementa su clientela es importante considerar adquirir un programa que sea más interactivo es decir que facilite la ubicación de cada cliente, la cantidad a entregar, etc., para que éste sea una herramienta de trabajo útil y eficaz.

En cuanto al proceso desde la preventa hasta la entrega se vincula directamente al problema de rutas desarrollado en el presente proyecto, sin embargo, la estandarización de procesos para complementar con el ruteo conformaría la mejor opción para DISLOJA.

Para la estandarización es importante considerar el ciclo PHVA (Planear, Hacer, Verificar, Actuar), con el fin de darle un comportamiento de mejora continua, es decir siempre en constante búsqueda de la mejora enfocada al objetivo empresarial.

Implementar la propuesta de mejora descrita en este proyecto con resultados factibles en el análisis financiero.

Establecer las responsabilidades de cada colaborador, la carga de trabajo de cada uno de ellos y estar abiertos a considerar la integración de nuevos colaboradores para las distintas funciones en la empresa y de esta manera crecer y abarcar más clientes.

REFERENCIAS

- Barboza, F. (s. f.). 6 indicadores para medir el nivel de servicio de tu call center. Recuperado 16 de mayo de 2017, a partir de <http://blog.inconcertcc.com/6-indicadores-para-medir-el-nivel-de-servicio-de-tu-call-center>
- Belaire, M. a B. F. (2011). Programación matemática para la economía y la empresa. Universitat de València.
- Bowersox, D. J., Closs, D. J., & Cooper, M. B. (2007). Administración y logística en la cadena de suministros (2a. ed.). México, D.F., MX: McGraw-Hill Interamericana. Recuperada de <http://www.ebrary.com>
- Cantú, D. J. H. (2011). Desarrollo de una cultura de calidad (4a. ed.). México, D.F., MX: McGraw-Hill Interamericana. Recuperada de <http://www.ebrary.com>
- Casteblanco, O.E. (s. f.). Recuperado a partir de <http://bibliotecadigital.ccb.org.co/bitstream/handle/11520/11865/100000208.pdf?sequence=1>
- Contabilidad. Análisis de Cuentas. (s. f.). EUNED.
- El problema del viajante. Métodos de resolución y un enfoque hacia la Teoría de la Computación - TFE001031.pdf. (s. f.). Recuperado a partir de http://biblioteca.unirioja.es/tfe_e/TFE001031.pdf
- Franklin, F. E. B. (2014). Organización de empresas (4a. ed.). México, D.F., MX: McGraw-Hill Interamericana. Recuperada de <http://www.ebrary.com>
- Gutiérrez, P. H. (2014). Calidad y productividad (4a. ed.). México, D.F., MX: McGraw-Hill Interamericana. Recuperada de <http://www.ebrary.com>
- Hillier, F. S. (2010). Introducción a la investigación de operaciones (9a. ed.). México, D.F., MX: McGraw-Hill Interamericana. Recuperada de <http://www.ebrary.com>
- Introducción al programa WinQSB - WinQSB2.0.pdf. (s. f.). Recuperado a partir de <http://www.uv.es/martinek/material/WinQSB2.0.pdf>

Método para el cálculo del nivel de servicio al cliente. (s. f.). Recuperado 16 de mayo de 2017, a partir de <http://www.mailxmail.com/curso-optimizacion-inventarios/metodo-calculo-nivel-servicio-cliente>

Muñoz, C. R. V., Ochoa, H. M. B., & Morales, G. M. (2011). Investigación de operaciones. México, D.F., MX: McGraw-Hill Interamericana. Recuperada de <http://www.ebrary.com>

Posventa Camiones Combos | Chevrolet Ecuador. (s. f.). Recuperado 19 de julio de 2017, a partir de <http://www.chevrolet.com.ec/camiones/postventa/combos.html>

Schroeder, R. G., Meyer, G. S., & Rungtusanatham, M. J. (2011). Administración de operaciones: conceptos y casos contemporáneos (5a. ed.). México, D.F., MX: McGraw-Hill Interamericana. Recuperada de <http://www.ebrary.com>

TSP: Algoritmos de resolución. (s. f.). Recuperado 16 de junio de 2017, a partir de <http://knuth.uca.es/moodle/mod/page/view.php?id=3417>

(«Introducción al programa WinQSB - WinQSB2.0.pdf», s. f.)

ANEXOS

ANEXO 1
Listado de Clientes DISLOJA ruta 1

| NOMBRES | CODIGO | CI | DIRECCIÓN | CANTÓN | COORDENADAS |
|------------------------|--------|------------|--|------------|-----------------------|
| EDUARDO LUNA | 2-306 | 1103561880 | Sucre y 18 de noviembre | Gonzanamá | -4.230071, -79.437321 |
| HNA. GEORGINA CISNEROS | 2-296 | 1100138666 | Bar colegio Balbina moreno | Gonzanamá | -4.231258, -79.435633 |
| MARCELA PACHECO | 2-295 | 1103810204 | av. Bolívar frente a colegio Balbina moreno | Gonzanamá | -4.230777, -79.435915 |
| VICTORIA PAREDES | 2-273 | 1102754833 | 10 de agosto y 24 de mayo | Gonzanamá | -4.231231, -79.438042 |
| FREDY TORRES | 2-312 | 1103834436 | Carrera Chile y padre esteban | Cariamanga | -4.326423, -79.557268 |
| ESPERANZA RAMOS | 2-311 | 1102793237 | Carrera chile y Bolivia | Cariamanga | -4.327729, -79.549013 |
| NOEMI CHUQUIMARCA | 2-310 | 1104915184 | Gral. Oliva-junto a la urna san Sebastián | Cariamanga | -4.324845, -79.551322 |
| MARUJA CALDERON | 2-309 | 1103288328 | bolívar y Bernardo Valdivieso-junto al mercado | Cariamanga | -4.327086, -79.557365 |
| MARIA EDILMA CUEVA | 2-308 | 1103548036 | Frente escuela San José | Cariamanga | -4.324366, -79.556985 |
| MARIA GAHONA | 2-307 | 1103437974 | José palacios-parque arbolito | Cariamanga | -4.326020, -79.555900 |
| MARCIA SOLANO | 2-305 | 1722794565 | Bolivia frente a parque la nube | Cariamanga | -4.328553, -79.559428 |
| MILTON NARVAEZ | 2-304 | 1101480414 | Av. Juan Ontaneda-parque san Vicente | Cariamanga | -4.325654, -79.555555 |
| VICTOR JIMENEZ. | 2-303 | 1900371665 | José rosillo parque san Vicente | Cariamanga | -4.324509, -79.555566 |
| ALFONSO JIMENEZ | 2-302 | 1102828538 | Bernardo Valdivieso frente al mercado | Cariamanga | -4.327729, -79.555310 |

| | | | | | |
|-------------------|-------|---------------|--|------------|---------------------------|
| LINCOLN MAZA | 2-300 | 1102425020 | Bar escuela la Salle | Cariamanga | -4.325419, - 79.555880 |
| VICTOR PARDO | 2-293 | 1103260921 | Gral. Oliva-tras escuela Portoviejo | Cariamanga | -4.325245, - 79.552353 |
| CARMEN SARANGO. | 2-287 | 1102242946 | Padre esteban y Gerónimo Carrión la nube | Cariamanga | -4.329105, - 79.559417 |
| ZOILA CUEVA | 2-286 | 1100481512 | Av. Loja pasando el hospital | Cariamanga | -4.324451, - 79.555419 |
| ARGELIA ROMERO | 2-283 | 1101618674001 | Calle sucre frente hostal del rio | Cariamanga | -4.329105, - 79.559417 |
| MARIANA JUMBO | 2-278 | 1104591696 | Av. Carrera chile y Bolivia | Cariamanga | -4.326823, - 79.559178 |
| DIGNA QUEZADA | 2-276 | 1104613409 | Gonzales Suarez y mariano Samaniego | Cariamanga | -4.327326, - 79.561849 |
| FRANCISCO TAMAYO | 2-275 | 1713970372 | José ángel palacios y av. Del ejercito | Cariamanga | -4.330886, - 79.555553 |
| YADIRA RODRIGUEZ | 2-274 | | Silverio Alvarado baño del inca | Cariamanga | -4.327257, - 79.550042 |
| PATRICIA ABAD | 2-272 | 1103631501 | Av. loja frente cacpe | Cariamanga | -4.325472, - 79.555750 |
| VICTORIA CALVA | 2-269 | 1101623062 | Bar colegio maría auxiliadora | Cariamanga | -4.326868, - 79.557244 |
| IRMA VILLALTA | 2-267 | 1900226323 | 24 de mayo y gran Colombia | Cariamanga | -4.326566, - 79.553946 |
| AGUSTIN RODRIGUEZ | 2-266 | 0905775920 | Bar colegio mariano Samaniego | Cariamanga | -4.325239, - 79.556403 |
| GALO CARRILLO | 2-265 | 1103750129 | Bolívar-frente coop Julián Lorente | Cariamanga | -4.325931, - 79.556593 |
| IGNACIO PARDO | 2-264 | 1100524485 | Carrera chile frente a hostal san francisco | Cariamanga | -4.326966, - 79.560031 |
| LILIA ROJAS | 2-262 | 1104477276 | Sacre y Bernardo Valdivieso salida a amaluza | Cariamanga | -4.325861, - 79.551072 |

| | | | | | |
|----------------------|-------|---------------|--|------------|---------------------------|
| BERTHA YAGUANA | 2-261 | 1102316567 | Bolivia y gran Colombia la nube | Cariamanga | -4.329759, - 79.560660 |
| DARWIN CONZA | 2-258 | 1103918916 | Sucre y Gonzales Suarez-salida a amaluza | Cariamanga | -4.325436, - 79.552478 |
| CARLOS CHAMBA | 2-257 | 1100524733 | Bolívar diagonal a urna san Sebastián | Cariamanga | -4.330767, - 79.555412 |
| CECILIA MORENO | 2-317 | 1104381536 | Juan Felipe Tamayo (Frente al Estadio) | macara | -4.384068, - 79.946441 |
| ELSI MANCHAY | 2-316 | 1713093621 | Frente parque de la madre | macara | -4.373750, - 79.941123 |
| MARTHA ALVARADO | 2-315 | 1103560296 | 22 de Septiembre y Amazonas (Estadio) | macara | -4.383083, - 79.944842 |
| JENNY CALVA | 2-314 | 1103378673 | Panamericana y Emilio Correa | macara | -4.377753, - 79.945764 |
| ZOILA TINOCO | 2-313 | 1102523550 | Entrada panamericana antes del parque de la madre | macara | -4.373834, - 79.941212 |
| DILCIA CAMPOVERDE | 2-291 | 1102195540 | Bar colegio técnico | macara | -4.371407, - 79.936126 |
| CARMEN CORDOVA | 2-289 | 1102070420 | Juan león mera tras villas cuartel | macara | -4.379890, - 79.945061 |
| ESMERALDA ATOCHA | 2-288 | 1103688113 | Juan león mera tras villas cuartel | macara | -4.379952, - 79.944232 |
| FANNY CASTILLO | 2-281 | 1100394012 | Manuel enrique rengel y salvador Valdivieso | macara | -4.382688, - 79.943310 |
| JUAN TORRES | 2-280 | 1102739313 | Panamericana y Atahualpa | macara | -4.377059, - 79.945110 |
| ROSA CORDOVA | 2-279 | 1102684600 | Amazonas y 10 de agosto | macara | -4.383124, - 79.944182 |
| MARIUXI LOAYZA GALLO | 2-270 | 1103627822 | av. Jaime Roldós junto a mercado mercadillo | macara | -4.380865, - 79.941221 |
| MARGARITA MENDOZA G. | 2-268 | 1103092472001 | Bahía-juan león mera y e.rengel | macara | -4.379890, - 79.945051 |

| | | | | | |
|-----------------|-------|------------|------------------------|--------|---------------------------|
| MERCEDES GALVEZ | 2-260 | 1100365582 | Manuel rengel y macara | macara | -4.383074, - 79.943204 |
|-----------------|-------|------------|------------------------|--------|---------------------------|

ANEXO 2
Listado de Clientes DISLOJA ruta 2

| Cliente | Código | CI | Dirección | Cantón | Coordenadas | |
|---------------------|--------|------------|--|-----------|-------------|-------------|
| JIMMY CORREA | 4-016 | 1104729569 | Frente al Balcón Paltense | Catacocha | -4.047814 | -79.649.679 |
| DAYSI PANGAY | 4-015 | 1103673478 | Junto al colegio Domingo Celi | Catacocha | -4.049392 | -79.649.758 |
| LOURDES ARTEAGA | 4-006 | 1101854337 | Av. Guayaquil junto a cooperativa loja | Alamor | -4.020742 | -80.021.161 |
| OLIVIA LOPEZ | 4-004 | 1101371241 | Av. Manuel Vivanco frente al parque | Catacocha | -4.048843 | -79.650.490 |
| CRISTINA JIMENEZ | 4-025 | 1104477621 | Mercado Puesto Externo | Celica | -4.104892 | -79.955.883 |
| JESUS JUMBO | 4-052 | 1101106274 | Av. García Moreno junto coop loja | Celica | -4.104217 | -79.955.742 |
| ROSITA JUMBO | 4-059 | 1102682448 | José m. zárate y Luis otero barrio sur | Alamor | -4.020570 | -80.021.941 |
| GEOVANY DIAZ | 4-057 | 918704222 | 23 de Enero y sucre cerca del mercado | Alamor | -4.018016 | -80.020.869 |
| AUGUSTO CORDOVA | 4-121 | 1100204054 | Ramón Ojeda y Av. Reina del Cisne | San Pedro | -3.942583 | -79.434.591 |
| ROSARIO DIAZ | 4-109 | 1101942280 | Colegio 8 de diciembre | San Pedro | -3.941005 | -79.435.642 |
| GEANINE SANCHES | 4-105 | 1103623284 | Manuel Vivanco junto coop. Loja | Catacocha | -4.055868, | -79,646561, |
| ENITH JIMBO | 4-061 | 1103312112 | Bar del Cuartel | Celica | -4.101795, | -79,958137- |
| DAYSI CHAMBA | 4-058 | 1104208101 | Av. El oro diagonal al parque el progreso | Alamor | -4.020320, | -80,023945- |
| AMABILIA RAMIREZ | 4-049 | 1102033949 | José m zárate, frente al mercado | Alamor | -4.018496, | -80,020585- |
| IRLANDA NOLE | 4-039 | 1102910518 | Mercado de Catacocha puesto 83 | Catacocha | -4.048772, | -79,650134- |
| GUILLERMINA RAMIREZ | 4-044 | 1100837481 | Av. Del estudiante y Kennedy | Catacocha | -4.047755, | -79,650605- |
| MARGARITA ELIZALDE | 4-040 | 1703960326 | Av. Eugenio e. frente a villas del cuartel | Alamor | -4.017993, | -80,009932- |
| WILLAN BALCAZAR | 4-035 | 1103785166 | Diagonal al eerssa | Catacocha | -4.049053, | -79,651906- |
| JOHANA RODRIGUEZ | 4-019 | 1103907455 | Av. 25 de junio frente a la iglesia | Catacocha | -4.050843, | -79,649778- |
| CARMEN MACAS | 4-047 | 1100840550 | Av. Loja frente al colegio paltas | Catacocha | -4.048923, | -79,648459- |
| NAHIN SANJINES | 4-045 | 1103057541 | Independencia y paltas -copias | Catacocha | -4.048816, | -79,650697- |
| ENRIQUE LASTRA | 4-011 | 1103212328 | Parque Central | Alamor | -4.018132, | -80,019603- |
| ROQUE SARAGURO | 4-039 | 1103050579 | Independencia y paltas | Catacocha | -4.048140, | -79,649634- |

| | | | | | | |
|---------------------|-------|-------------|---|-----------|------------|-------------|
| LUZ BAILON | 4-036 | 1104432311 | Frente Cooperativa Loja | Catacocha | -4.051418, | -79,649971- |
| ENRIQUE SALINAS | 4-038 | 1104299876 | Manuel Vivanco tras obelisco | Catacocha | -4.049904, | -79,652656- |
| ANABELLY ROMERO | 4-032 | 1102429162 | Manuel Vivanco y Adriano Valarezo | Catacocha | -4.051566, | -79,643762- |
| URBINA CHAMBA | 4-029 | 1100780137 | Frente parque de la madre | Catacocha | -4.051367, | -79,648783- |
| TERESA VIVANCO | 4-028 | 1110443213 | Av. Naun Briones y Juan Benigno Vela | Catacocha | -4.044632, | -79,642970- |
| NELLY MAZA | 4-027 | 1102835970 | Benigno Malo y 10 de Agosto | Catacocha | -4.051274, | -79,638492- |
| MARIA TORRES | 4-024 | 1716427396 | Don Barsa- tras el mercado | Celica | -4.102405, | -79,956193- |
| GLORIA MONCADA | 4-022 | 1103617899 | Frente a Unión Cariamanga | Alamor | -4.016159, | -80,020587- |
| LUCILA CORDOVA | 4-020 | 1102203211 | Frente al parque de la madre | Alamor | -4.017746, | -80,023941- |
| ELVIA CORDOVA | 4-021 | 1104327784 | Kennedy y lievana | Catacocha | -4.051434, | -79,641207- |
| SEGUNDA RAMIREZ | 4-018 | 11010616585 | Diagonal al Cóndor | Catacocha | -4.038617, | -79,648535- |
| CENIA CORDOVA | 4-108 | 1100779352 | Loja y 9 de Octubre | Catacocha | -4.045403, | -79,643247- |
| MANIANA CHUQUIMARCA | 4-110 | 1704075165 | Frente Cooperativa Loja | San Pedro | -3.942519, | -79,434094- |
| JOVITA DIAZ | 4-112 | 1103542583 | Bar colegio marista | Catacocha | -4.045383, | -79,650510- |
| YENNY QUICHIMBO | 4-114 | 1103727804 | Naum Briones y Loja | Catacocha | -4.046312, | -79,642811- |
| MIREYA CORREA | 4-119 | 1102993480 | Av. Manuel Vivanco frente a empresa eléctrica | Catacocha | -4.055868, | -79,646141- |
| SANDRA CASTILLO | 4-117 | 1103939060 | Bar colegio Velasco Ibarra | Catacocha | -4.048625, | -79,648643- |

ANEXO 3
Listado de Clientes DISLOJA ruta 3

| Cliente | Código | CI | Dirección | Cantón | Coordinadas |
|----------------------|--------|------------|---|----------|-----------------------|
| ANGE MORILLO | 1-003 | 1900358795 | Mayacu y Eugenio Espejo vía bombuscaro | Zamora | -4.068477, -78.950793 |
| MARICIA HERRERA | 1-088 | 1900332238 | Héroes del paquisha y Jorge Mosquera | Zamora | -4.069291, -78.955570 |
| ROSA PACHECO | 1-287 | 1900742132 | Bar colegio Luis Felipe Borja | Zamora | -4.065172, -78.954927 |
| DIEGO SOTO | 1-335 | 1900582526 | Mercado central puesto 5 | Zamora | -4.067983, -78.953337 |
| LIGIA ZHUNAULA | 1-352 | 1900376730 | Av. del ejercito frente a la gasolinera Zamora | Zamora | -4.059045, -78.944498 |
| MARIA SARANGO | 1-005 | 1900142744 | Bar del cuartel | Zamora | -4.067374, -78.949389 |
| BYRON SARAGURO | 1-001 | 1104193139 | Diego de Vaca y pio Jaramillo | Zamora | -4.067278, -78.955712 |
| LOURDES ALOMOTO | 1-365 | 1707172993 | Jorge Mosquera diagonal banco de loja | Yanzatza | -3.821549, -78.760296 |
| DOLORES LOZANO | 1-293 | 703505545 | Iván río frío frente colegio 1 de mayo | Yanzatza | -3.827141, -78.758285 |
| MARIA ANGAMARCA | 1-340 | 1103454359 | Terminal terrestre | Yanzatza | -3.820684, -78.758629 |
| ELSA ROJAS | 1-280 | 1103314512 | 26 de febrero y Zamora | Yanzatza | -3.829370, -78.761882 |
| PAULINA ANDINO | 1-281 | 1977624616 | 22 de noviembre y Jorge Mosquera | Yanzatza | -3.828435, -78.760948 |
| LUCRECIA JIMENEZ | 1-313 | 1900340587 | Kiosko barrio san Antonio | Yanzatza | -3.818369, -78.760535 |
| ARMANDA VERA | 1-290 | 1900148766 | Bar colegio juan 23 | Yanzatza | -3.832623, -78.761939 |
| MARIANA PAQUI | 1-295 | 1900404599 | Bar colegio Martha Bucaram | Yanzatza | -3.837989, -78.760806 |
| MARGARITA HERRERA | 1-337 | 1900190297 | Armandoarias diagonal al coliseo | Yanzatza | -3.827479, -78.763286 |
| GLADYS RAMON | 1-343 | 1900388685 | Iván río frío junto a la policía | Yanzatza | -3.829973, -78.760546 |
| FRANCISCO AVILA | 1-362 | 1100483435 | Mercado central puesto 79 | Yanzatza | -3.832508, -78.762608 |

| | | | | | |
|-----------------------|-------|------------|--|------------|-----------------------|
| LAURA MOLINA CALLE | 1-330 | 1714239173 | Cuenca y Eloy Alfaro | Gualaquiza | -3.404480, -78.578880 |
| ROSA COCHANCERLA | 1-283 | 1900180173 | Vicente Vélez diagonal colegio camilo gallegos | Gualaquiza | -3.406058, -78.581811 |
| EDILMA VEINTIMILLA | 1-308 | 1103458673 | Av. amazonas tras mercado | Gualaquiza | -3.401267, -78.581207 |
| MARLENE QUEZADA | 1-324 | 1900291202 | Elías Brito frente al sindicato de choferes | Gualaquiza | -3.402619, -78.581800 |
| IRENE JIMENEZ | 1-348 | 1900651646 | Amazonas y 3 de noviembre | Gualaquiza | -3.398989, -78.580684 |
| ROSA ORTEGA | 1-011 | 100624956 | Frente al colegio camilo gallegos | Gualaquiza | -3.396485, -78.581034 |
| MELANIA MENDOZA | 1-007 | 110278156 | Frente al colegio el pangui | El Pangui | -3.621153, -78.587251 |
| MARIANA RIVAS | 1-359 | 704822618 | Av. Jorge Mosquera y loja | El Pangui | -3.618702, -78.584291 |
| MORAIMA MAZA | 1-346 | 1900378629 | Av. Loja frente al mercado | El Pangui | -3.625093, -78.587862 |
| MARIA ORTEGA | 1-318 | 1900710326 | Luis imaicela y loja | El Pangui | -3.618702, -78.584291 |
| ROSA CEDILLO | 1-304 | 1900528017 | Avenida tras el colegio | El Pangui | -3.626231, -78.591408 |
| NARCISA CAAMAÑO | 1-299 | 1900186048 | Luis imaicela y cordillera del cóndor | El Pangui | -3.630087, -78.590272 |

ANEXO 4
Listado de Clientes DISLOJA ruta 4

| Cliente | Código | CI | Dirección | Cantón | Coordenadas |
|-------------------|--------|------------|--|------------|-----------------------|
| GRACIELA PIEDRA | 3-005 | 1101059597 | Puerta de entrada a la ciudad | Vilcabamba | -4.254775, -79.223614 |
| ZOILA RAMON | 3-126 | 1102647870 | Juan Montalvo y José Toledo | Vilcabamba | -4.262842, -79.221392 |
| XIMENA GAONA | 3-113 | 1103176176 | Diego vaca de vega y José Toledo | Vilcabamba | -4.260965, -79.220814 |
| MONICA ABARCA | 3-144 | 1104011455 | Complejo Yamburara | Vilcabamba | -4.265717, -79.211675 |
| JORGE JADAN | 3-168 | 1102041744 | Av. Eterna juventud junto a coop sur oriente | Vilcabamba | -4.261343, -79.224215 |
| FATIMA MEDINA | 3-004 | 1103199913 | Av. Eterna Juventud y Montalvo | Vilcabamba | -4.262060, -79.223928 |
| MARIANA AGUILERA | 3-003 | 1102441761 | Bolívar y loja tienda san francisco | Vilcabamba | -4.258599, -79.221930 |
| PATRICIA DIAZ | 3-002 | 1103102941 | Av. Valle sagrado junto coliseo | Vilcabamba | -4.262021, -79.221942 |
| MARIANA RODRIGUEZ | 3-122 | 1102074513 | Mercado Malacatos | Malacatos | -4.219835, -79.258241 |
| EDITH BRAVO | 3-082 | 1702920677 | Alejandro bravo frente a policía | Malacatos | -4.218104, -79.260014 |
| JHONY BURNEO | 3-097 | 1102427125 | Barrio trinidad vía al tambo | Malacatos | -4.192441, -79.325259 |
| MARIANA CARRION | 3-001 | 1102833587 | Bar colegio Malacatos | Malacatos | -4.216109, -79.258150 |
| MARIANA GUAYLLAS | 3-154 | 1102417373 | Alfaro y Mercadillo frente mercado | Palanda | -4.652892, -79.129491 |
| GRACIELA JAYA | 3-145 | 701353617 | 12 de febrero frente al parque | Palanda | -4.651649, -79.131349 |

| | | | | | |
|-------------------|-------|------------|--------------------------------------|------------|---------------------------|
| OSCAR RODRIGUEZ | 3-104 | 1715804702 | 12 febrero y Alfaro | Palanda | -4.650152, - 79.130898 |
| BERTHA CHANTA | 3-109 | 110258186 | Bar colegio técnico | Palanda | -4.649313, - 79.133326 |
| VICENTA LUZURIAGA | 3-107 | 1900324797 | Mercadillo y 24 de mayo | Palanda | -4.651640, - 79.129883 |
| CARMITA MACAS | 3-103 | 1900342518 | 13 de abril y mercadillo cacpe | Palanda | -4.650485, - 79.129518 |
| OSMAN LUZURIAGA | 3-153 | 1900556489 | Mercadillo y 13 de abril | Palanda | -4.650325, - 79.132998 |
| ROCIO CORDERO | 3-146 | 1104109242 | San Vicente y 12 de Febrero | Palanda | -4.651432, - 79.132549 |
| MARIANITA GRANDA | 3-127 | 1102073267 | Amazonas y av. Loja | Valladolid | -4.555064, - 79.133105 |
| FRANCISCO JUMBO | 3-111 | 1102047744 | Larreátegui frente al parque | Valladolid | -4.551600, - 79.132155 |
| INES ARMIJOS | 3-128 | 1102057625 | Amazonas y M Mosquera | Valladolid | -4.548844, - 79.130958 |
| WILSON JARAMILLO | 3-152 | 1102145198 | Colon y pasaje Benalcázar panadería | Zumba | -4.862829, - 79.140006 |
| DILCIA PEÑARRETA | 3-151 | 1103514822 | Terminal Terrestre | Zumba | -4.868222, - 79.134381 |
| ANGEL MARTINEZ | 3-139 | 1715351522 | Av. del colegio junto al colegio | Zumba | -4.865532, - 79.132963 |
| INES GRANDA CAPA | 3-119 | 1099324094 | Av. 5 de enero tras pensión saracay | Zumba | -4.863041, - 79.135634 |
| CARMITA RUEDA | 3-114 | 1103161509 | Jaime Roldós -municipio | Zumba | -4.864609, - 79.126716 |
| EUPITA GARCIA | 3-110 | 1900176353 | Av. 10 de agosto y av. del ejercito | Zumba | -4.863581, - 79.134135 |
| CARMEN JAPON | 3-106 | 1102657523 | Frente al parque diagonal al cuartel | Zumba | -4.863608, - 79.132840 |

| | | | | | |
|-------------------|-------|------------|---|-------|---------------------------|
| MARY VILLACIS | 3-094 | 1103414031 | Pasaje Benalcázar frente al Mercado | Zumba | -4.864912, - 79.128270 |
| ROSARIO RODRIGUEZ | 3-093 | 1900322455 | Orellana y 12 de febrero | Zumba | -4.866617, - 79.133247 |
| TOMAS ESPINOZA | 3-092 | 1900175678 | Colon y Benalcázar | Zumba | -4.865100, - 79.132920 |
| OSWALDO CAMACHO | 3-091 | 1900210228 | Av. 24 de mayo belén junto a la iglesia | Zumba | -4.864196, - 79.133248 |
| MARCO GARCIA | 3-090 | 1900321819 | Barrio Fátima al lado de urna | Zumba | -4.870026, - 79.143454 |

ANEXO 5
Listado de Clientes DISLOJA ruta 5

| Cliente | Código | Dirección | Cantón | Coordenadas |
|---------------------|--------|----------------------------------|----------|-----------------------|
| MARCELO CAICEDO | S-9 | Jaime mata heladería golosos | Salcedo | -1.049657, -78.595909 |
| ROSA COQUE | S-54 | Bar colegio 19 de septiembre | Salcedo | -1.040709, -78.584717 |
| PATRICIO SOLIS | S-62 | Bar escuela pascal | Salcedo | -1.048865, -78.593476 |
| SONIA SANCHEZ | S-6 | Abdón calderón y Rocafuerte | Salcedo | -1.044996, -78.592724 |
| ENMA QUISHPE | S-13 | García Moreno y Vicente León TIA | Salcedo | -1.044860, -78.562009 |
| MARIA BELEN TAIPE | S-77 | Jaime Mata y Guayaquil | Salcedo | -1.046695, -78.593164 |
| LUCÍA CRIOLLO | S-11 | Andón Calderón y Mejía | Salcedo | -1.042882, -78.592812 |
| BELGICA MALLIQUINGA | S-46 | Entrada a Panzaleo | Panzaleo | -1.066079, -78.598550 |
| ROSA CRUZ | S-50 | Frente al Parque | Panzaleo | -1.066776, -78.599086 |
| PATRICIA SANCHES | S-76 | Vía Principal | Yambo | -1.101257, -78.592534 |
| HILDA SANCHEZ | S-85 | Bar colegio bolívar | Ambato | -1.240553, -78.627355 |
| EDWIN GREGORIO PEÑA | S-84 | Bar esforse | Ambato | -1.208669, -78.593777 |
| CARMEN SANCHEZ | S-80 | Bar colegio tilso de molina | Ambato | -1.226148, -78.591854 |
| PATRICIA MARTINEZ | S-87 | Frente colegio t de molina | Ambato | -1.226019, -78.592723 |
| VIVIANA VELEZ | S-86 | Bar escuela albornoz | Ambato | -1.250315, -78.634372 |

ANEXO 6
Listado de Clientes DISLOJA ruta 6

| Cliente | Código | Dirección | Cantón | Coordenadas |
|-------------------|---------------|--|---------------|-----------------------|
| AMPARITO NARANJO | P-005 | Belisario Quevedo diagonal a la plaza monumental | Pujilí | -0.940255, -78.695851 |
| JOSE PAREDES | P-007 | Sucre frente al mercado | Pujilí | -0.955645, -78.697236 |
| DIGNA VIVAS | P-001 | Velasco Ibarra frente a redondel de entrada | Pujilí | -0.948220, -78.687042 |
| ENMA VACA | P-029 | Pichincha antes del colegio pujilí | Pujilí | -0.952899, -78.691056 |
| MARIA VEGA | P-006 | Olmedo frente al mercado | Pujilí | -0.954614, -78.696478 |
| JAIME TIPANTUÑA | P-033 | Juan salinas frente a plaza de hiervas | Pujilí | -0.952464, -78.693763 |
| ALICIA VELASCO | P-021 | Bar escuela pedro Vicente Maldonado | Pujilí | -0.952391, -78.683343 |
| WILMER ESPIN | P-017 | Bar colegio provincia de Cotopaxi #2 | Pujilí | -0.960817, -78.700623 |
| MARINA HEREDIA | SAQ-12 | Imbabura frente al hospital | Saquisilí | -0.822060, -78.664461 |
| VERONICA AULESTIA | SAQ-3 | Bar escuela naciones unidas | Saquisilí | -0.833455, -78.665635 |
| MARTHA TOAPANTA | SAQ-26 | 24 de mayo y pichincha esquina | Saquisilí | -0.840124, -78.666130 |
| JOSE LUIS JACHO | SAQ-33 | 24 de mayo y sucre | Saquisilí | -0.838454, -78.666566 |
| MARIA OÑA | SAQ-11 | Sucre y pullupaxi | Saquisilí | -0.838621, -78.668950 |
| EDISON PAREDES | SAQ-1 | Bar colegio de policía | Saquisilí | -0.841329, -78.662451 |
| VERONICA CASA | SAQ-4 | 24 de mayo y pichincha cabinas | Saquisilí | -0.840124, -78.666130 |

ANEXO 7
Resolución del Problema utilizando algoritmo Vecino más Cercano

| Distancias euclidianas desde el Centro de Distribución y entre clientes "DISLOJA" | | | | | | | | | | |
|---|------|------|--------|---------|---------|----------|----------|---------|---------|---------|
| | 0 | 1 | 2 | 3 | 4 | 5 | 6 | 7 | 8 | 9 |
| 0 | 0 | 0,33 | 0,48 | 0,48 | 0,48 | 0,83 | 0,83 | 0,83 | 0,84 | 0,83 |
| 1 | 0,33 | 0 | 0,15 | 0,14 | 0,14 | 0,52 | 0,52 | 0,52 | 0,53 | 0,53 |
| 2 | 0,48 | 0,15 | 0 | 0,0083 | 0,0061 | 0,3868 | 0,3867 | 0,3918 | 0,3934 | 0,3917 |
| 3 | 0,48 | 0,14 | 0,0083 | 0 | 0,00241 | 0,3948 | 0,3948 | 0,3998 | 0,401 | 0,399 |
| 4 | 0,48 | 0,14 | 0,0061 | 0,00241 | 0 | 0,43 | 0,39 | 0,397 | 0,399 | 0,3978 |
| 5 | 0,83 | 0,52 | 0,3868 | 0,3948 | 0,43 | 0 | 0,000122 | 0,006 | 0,114 | 0,0099 |
| 6 | 0,83 | 0,52 | 0,3867 | 0,3948 | 0,39 | 0,000122 | 0 | 0,00854 | 0,011 | 0,01 |
| 7 | 0,83 | 0,52 | 0,3918 | 0,3998 | 0,397 | 0,006 | 0,00854 | 0 | 0,00635 | 0,0054 |
| 8 | 0,84 | 0,53 | 0,3934 | 0,401 | 0,399 | 0,114 | 0,011 | 0,00635 | 0 | 0,00185 |
| 9 | 0,83 | 0,53 | 0,3917 | 0,399 | 0,3978 | 0,0099 | 0,01 | 0,0054 | 0,00185 | 0 |

| | 0 | 1 | 2 | 3 | 4 | 5 | 6 | 7 | 8 | 9 |
|---|------|------|--------|---------|---------|----------|----------|---------|---------|--------|
| 0 | - | 0,33 | 0,48 | 0,48 | 0,48 | 0,83 | 0,83 | 0,83 | 0,84 | 0,83 |
| 1 | 0,33 | - | 0,15 | 0,14 | 0,14 | 0,52 | 0,52 | 0,52 | 0,53 | 0,53 |
| 2 | 0,48 | 0,15 | - | 0,0083 | 0,0061 | 0,3868 | 0,3867 | 0,3918 | 0,3934 | 0,3917 |
| 3 | 0,48 | 0,14 | 0,0083 | - | 0,00241 | 0,3948 | 0,3948 | 0,3998 | 0,401 | 0,399 |
| 4 | 0,48 | 0,14 | 0,0061 | 0,00241 | - | 0,43 | 0,39 | 0,397 | 0,399 | 0,3978 |
| 5 | 0,83 | 0,52 | 0,3868 | 0,3948 | 0,43 | - | 0,000122 | 0,006 | 0,114 | 0,0099 |
| 6 | 0,83 | 0,52 | 0,3867 | 0,3948 | 0,39 | 0,000122 | - | 0,00854 | 0,011 | 0,01 |
| 7 | 0,83 | 0,52 | 0,3918 | 0,3998 | 0,397 | 0,006 | 0,00854 | - | 0,00635 | 0,0054 |
| 8 | 0,84 | 0,53 | 0,3934 | 0,401 | 0,399 | 0,114 | 0,011 | 0,00635 | - | 0 |
| 9 | 0,83 | 0,53 | 0,3917 | 0,399 | 0,3978 | 0,0099 | 0,01 | 0,0054 | 0,00185 | - |
| | 0,33 | 0,14 | 0,0061 | 0,00241 | 0,00241 | 0,000122 | 0,000122 | 0,0054 | 0,00185 | 0 |

| | 0 | 1(-) | 2 | 3 | 4 | 5 | 6 | 7 | 8 | 9 |
|-------------|----------|-------------|----------|----------|----------|----------|----------|----------|----------|----------|
| 0(-) | - | 0 | 0,14631 | 0,15 | 0,15 | 0,5 | 0,5 | 0,49645 | 0,51 | 0,5 |
| 1 | 0 | - | 0,00631 | 0 | 0 | 0,38 | 0,38 | 0,37645 | 0,39 | 0,39 |
| 2 | 0,2839 | 0,1439 | - | 0,0022 | 0 | 0,3807 | 0,3806 | 0,38215 | 0,3873 | 0,3856 |
| 3 | 0,28759 | 0,13759 | 0,0022 | - | 0 | 0,39239 | 0,39239 | 0,39384 | 0,39859 | 0,39659 |
| 4 | 0,28759 | 0,13759 | 0 | 0 | - | 0,42759 | 0,38759 | 0,39104 | 0,39659 | 0,39539 |
| 5 | 0,639878 | 0,519878 | 0,382988 | 0,394678 | 0,429878 | - | 0 | 0,002328 | 0,113878 | 0,009778 |
| 6 | 0,639878 | 0,519878 | 0,382888 | 0,394678 | 0,389878 | 0 | - | 0,004868 | 0,010878 | 0,009878 |
| 7 | 0,6346 | 0,5146 | 0,38271 | 0,3944 | 0,3916 | 0,0006 | 0,00314 | - | 0,00095 | 0 |
| 8 | 0,64815 | 0,52815 | 0,38786 | 0,39915 | 0,39715 | 0,11215 | 0,00915 | 0,00095 | - | 0 |
| 9 | 0,63815 | 0,52815 | 0,38616 | 0,39715 | 0,39595 | 0,00805 | 0,00815 | 0 | 0 | - |
| | 0,2839 | 0,13759 | 0,0022 | 0,0022 | 0,15 | 0,0006 | 0,00314 | 0,00095 | 0,00095 | 0,009778 |

| | 2(-) | 3 | 4 | 5 | 6 | 7 | 8 | 9 |
|-------------|-------------|----------|----------|----------|----------|----------|----------|----------|
| 2 | - | 0,0022 | 0 | 0,3807 | 0,3806 | 0,38215 | 0,3873 | 0,3856 |
| 3 | 0,0022 | - | 0 | 0,39239 | 0,39239 | 0,39384 | 0,39859 | 0,39659 |
| 4(-) | 0 | 0 | - | 0,42759 | 0,38759 | 0,39104 | 0,39659 | 0,39539 |
| 5 | 0,382988 | 0,394678 | 0,429878 | - | 0 | 0,002328 | 0,113878 | 0,009778 |
| 6 | 0,382888 | 0,394678 | 0,389878 | 0 | - | 0,004868 | 0,010878 | 0,009878 |
| 7 | 0,38271 | 0,3944 | 0,3916 | 0,0006 | 0,00314 | - | 0,00095 | 0 |
| 8 | 0,38786 | 0,39915 | 0,39715 | 0,11215 | 0,00915 | 0,00095 | - | 0 |
| 9 | 0,38616 | 0,39715 | 0,39595 | 0,00805 | 0,00815 | 0 | 0 | - |
| | 0,0022 | 0,0022 | 0,15 | 0,0006 | 0,00314 | 0,00095 | 0,00095 | 0,009778 |

| | 3 | 5 | 6 | 7 | 8 | 9 |
|----------|----------|----------|----------|----------|----------|----------|
| 3 | - | 0,39239 | 0,39239 | 0,39384 | 0,39859 | 0,39659 |
| 5 | 0,394678 | - | 0 | 0,002328 | 0,113878 | 0,009778 |
| 6 | 0,394678 | 0 | - | 0,004868 | 0,010878 | 0,009878 |
| 7 | 0,3944 | 0,0006 | 0,00314 | - | 0,00095 | 0 |
| 8 | 0,39915 | 0,11215 | 0,00915 | 0,00095 | - | 0 |
| 9 | 0,39715 | 0,00805 | 0,00815 | 0 | 0 | - |
| | 0,3944 | 0,0006 | 0,00314 | 0,00095 | 0,00095 | 0,009778 |

| | 3 | 5 | 6 | 7 | 8 | 9 |
|----------|----------|----------|----------|----------|----------|----------|
| 3 | - | 0,39179 | 0,38925 | 0,39289 | 0,39764 | 0,386812 |
| 5 | 0,000278 | - | 0 | 0,001378 | 0,112928 | 0 |
| 6 | 0,000278 | 0 | - | 0,003918 | 0,009928 | 0,0001 |
| 7 | 0 | 0 | 0 | - | 0 | 0 |
| 8 | 0,00475 | 0,11155 | 0,00601 | 0 | - | 0 |
| 9 | 0,00275 | 0,00745 | 0,00501 | 0 | 0 | - |

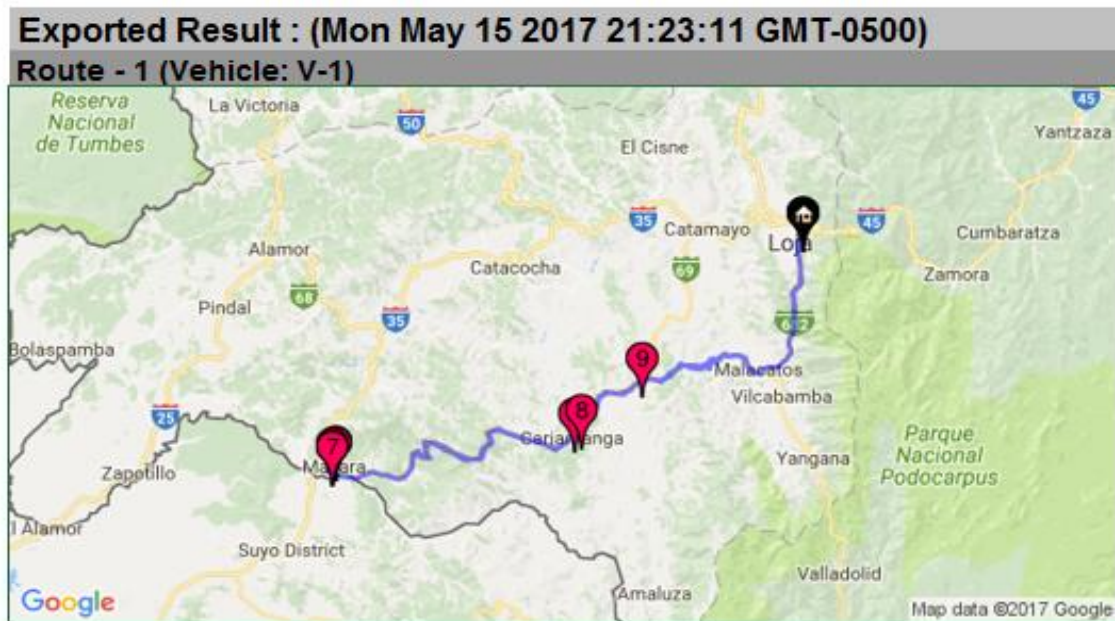
| | 3(-) | 5 | 6 | 7 | 8 | 9 |
|------|--------|----------|----------|----------|----------|---|
| 3 | - | 0,004978 | 0,002438 | 0,006078 | 0,010828 | 0 |
| 5(-) | 0 | - | 0 | 0,0011 | 0,11265 | 0 |
| 6 | 0,0002 | 0 | - | 0,0038 | 0,0098 | 0 |
| 7 | 0 | 0 | 0 | - | 0 | 0 |
| 8 | 0 | 0,1068 | 0,00126 | 0 | - | 0 |
| 9 | 0 | 0,0047 | 0,00226 | 0 | 0 | - |

| | 6 | 7 (-) | 8 | 9 |
|-------|---------|----------|----------|---|
| 6 | - | 0,003818 | 0,009828 | 0 |
| 7 | 0 | - | 0 | 0 |
| 8 (-) | 0,00126 | 0 | - | 0 |
| 9 | 0,00226 | 0 | 0 | - |
| | 0,00126 | 0,003818 | 0,009828 | 0 |

| | 6 | 9 |
|---|---------|---|
| 6 | - | 0 |
| 9 | 0,00226 | - |

| | 6 | 9 |
|---|---|---|
| 6 | - | 0 |
| 9 | 0 | - |

ANEXO 8
Resultados mediante la utilización del Software LogVRP



| Vehicle Pick-up Delivery Jobs | | | | | |
|--------------------------------------|--|--|-----------------|-----------------------|--|
| Step(s) | Station N Address | | Distance | Deliver Amount | |
| 1 | Centro de 24 de Mayo, Loja, Ecuador | | 0 | 0 | |
| 2 | CLIENTE 2 E69, Cariamanga, Ecuador | | 86,76 | 15 | |
| 3 | CLIENTE 6 Juvenal Jaramillo, Macará, Ecuador | | 67,39 | 10 | |
| 4 | CLIENTE 5 Juvenal Jaramillo, Macará, Ecuador | | 0,08 | 8 | |
| 5 | CLIENTE 7 Calle Corea, Macará, Ecuador | | 1,06 | 12 | |
| 6 | CLIENTE 9 22 de Septiembre, Macará, Ecuador | | 0,66 | 9 | |
| 7 | CLIENTE 8 Juan Arroyo, Macará, Ecuador | | 0,32 | 7 | |
| 8 | CLIENTE 4 E69, Cariamanga, Ecuador | | 68,46 | 11 | |
| 9 | CLIENTE 1 Cariamanga-Gonzamama, Gonzanamá, Ecuador | | 19,06 | 10 | |
| 10 | Centro de 24 de Mayo, Loja, Ecuador | | 66,32 | 0 | |
| Total: | | | 310 | 82 | |

ANEXO 9

ANEXO 10

Distancias Euclidianas Ruta 2 DISLOJA

| 0 | 1 | 2 | 3 | 4 | 5 | 6 | 7 | 8 | 9 | 10 | 11 | 12 | 13 | 14 | 15 | 16 | 17 | 18 | 19 | 20 | 21 | 22 | 23 | 24 | 25 | 26 | 27 | 28 | 29 | 30 | 31 | 32 | 33 | 34 | 35 | 36 | 37 | 38 | 39 | 40 | | | | | | | | | | | | | | | | | | | | |
|---|------------|------------|------------|------------|------------|------------|------------|------------|------------|------------|------------|------------|------------|------------|------------|------------|------------|------------|------------|-------------|------------|------------|------------|------------|------------|-------------|-------------|-------------|-------------|-------------|-------------|-------------|-------------|-------------|-------------|-------------|-------------|-------------|-------------|------------|------------|----------|-----|-----|-----|-----|-----|-----|-----|-----|-----|-----|-----|-----|-----|-----|-----|-----|-----|-----|
| 0 | 0 | 0,2 436 | 0,2 450 | 0,2 431 | 0,4 543 | 0,4 54 | 0,4 552 | 0,4 521 | 0,4 549 | 0,4 552 | 0,4 566 | 0,4 547 | 0,4 532 | 0,4 554 | 0,4 543 | 0,4 550 | 0,4 575 | 0,4 488 | 0,4 538 | 0,4 0436 | 0,4 463 | 0,4 523 | 0,4 477 | 0,4 549 | 0,4 473 | 0,4 517 | 0,4 534 | 0,7 652 | 0,7 652 | 0,7 650 | 0,7 670 | 0,8 235 | 0,8 243 | 0,8 232 | 0,8 263 | 0,8 229 | 0,8 122 | 0,8 0,8 | 0,8 229 | 0,8 262 | | | | | | | | | | | | | | | | | | | | |
| 0 | 0 | 6 313 | 4 284 | 6 635 | 2 526 | 97 59 | 1 682 | 2 749 | 5 066 | 2 673 | 6 985 | 2 792 | 6 575 | 3 711 | 4 422 | 3 355 | 3 361 | 7 836 | 4 493 | 3 473 | 5 150 | 3 304 | 4 387 | 2 062 | 1 305 | 9 654 | 4 581 | 9 9 | 2 084 | 8 245 | 3 539 | 2 221 | 3 699 | 8 792 | 4 547 | 6 234 | 6 519 | 3 501 | 8 885 | 4 219 | 1 031 | 8 889 | | | | | | | | | | | | | | | | | | |
| 1 | 0 | 0,2 436 | 0,0 018 | 0,0 005 | 0,2 502 | 21 21 | 406 430 | 808 808 | 565 951 | 851 466 | 054 054 | 532 532 | 163 430 | 597 335 | 254 140 | 254 326 | 613 391 | 352 326 | 140 326 | 419 419 | 408 408 | 388 388 | 402 395 | 320 335 | 310 399 | 335 399 | 140 388 | 326 455 | 391 459 | 326 456 | 726 472 | 789 917 | 380 925 | 757 911 | 408 944 | 192 908 | 543 802 | 048 898 | 108 905 | 587 941 | 906 236 | | | | | | | | | | | | | | | | | | | |
| 1 | 6 | 0 0 | 7 0 | 011 11 | 3 3 | 87 87 | 316 316 | 3 5 | 2 2 | 9 9 | 4 4 | 3 3 | 8 8 | 9 4 | 435 435 | 1 1 | 8 8 | 4 4 | 6 6 | 5 5 | 092 092 | 1 1 | 269 269 | 9 9 | 7 7 | 1 1 | 9 9 | 3 3 | 2 2 | 4 4 | 5 5 | 4 4 | 3 3 | 4 4 | 5 5 | 6 6 | 4 4 | 5 5 | 6 6 | 4 4 | 5 5 | 5 5 | | | | | | | | | | | | | | | | | | |
| 2 | 0,2 450 | 0,0 018 | 0,0 021 | 0,2 392 | 39 39 | 0,2 403 | 401 | 0,2 400 | 400 | 0,2 529 | 628 155 | 0,2 657 | 125 973 | 0,2 973 | 0,2 045 | 0,2 643 | 184 308 | 832 485 | 0,2 763 | 0,2 786 | 0,2 974 | 0,2 985 | 0,2 451 | 0,2 984 | 0,2 444 | 0,2 074 | 0,2 758 | 0,2 234 | 0,2 731 | 0,2 722 | 0,2 255 | 0,2 535 | 0,2 274 | 0,2 322 | 0,2 531 | 0,2 831 | | | | | | | | | | | | | | | | | | | | | | | | |
| 2 | 4 | 7 | 0 | 9 | 2 | 63 | 928 | 673 | 428 | 097 | 5 | 6 | 3 | 2 | 2 | 9 | 9 | 1 | 5 | 1 | 839 | 2 | 4 | 7 | 8 | 2 | 4 | 1 | 4 | 5 | 8 | 2 | 2 | 4 | 6 | 5 | 3 | 4 | 8 | 5 | 5 | | | | | | | | | | | | | | | | | | | |
| 3 | 0,2 431 | 0,0 021 | 0,0 399 | 0,2 40 | 0,2 411 | 0,2 408 | 0,2 407 | 0,2 407 | 0,2 424 | 0,2 413 | 0,2 393 | 0,2 412 | 0,2 400 | 0,2 417 | 0,2 428 | 0,2 356 | 0,2 400 | 0,2 317 | 0,2 333 | 0,2 342 | 0,2 323 | 0,2 388 | 0,2 323 | 0,2 397 | 0,2 386 | 0,2 449 | 0,2 454 | 0,2 451 | 0,2 466 | 0,2 909 | 0,2 916 | 0,2 902 | 0,2 936 | 0,2 900 | 0,2 794 | 0,2 890 | 0,2 897 | 0,2 932 | | | | | | | | | | | | | | | | | | | | | | |
| 3 | 6 | 011 | 9 | 0 | 4 | 23 | 3 | 9 | 2 | 5 | 1 | 8 | 1 | 4 | 8 | 889 | 3 | 301 | 4 | 325 | 1 | 5 | 7 | 7 | 1 | 5 | 1 | 9 | 6 | 5 | 9 | 5 | 3 | 5 | 5 | 6 | 7 | 4 | 4 | | | | | | | | | | | | | | | | | | | | | |
| 4 | 0,4 543 | 0,2 394 | 0,2 399 | 0,2 013 | 0,2 086 | 0,0 010 | 0,0 009 | 0,0 025 | 0,0 030 | 0,0 016 | 0,0 003 | 0,0 036 | 0,0 036 | 0,0 070 | 0,0 036 | 0,0 074 | 0,0 117 | 0,0 092 | 0,0 068 | 0,0 025 | 0,0 070 | 0,0 087 | 0,0 013 | 0,0 113 | 0,0 114 | 0,0 112 | 0,0 131 | 0,0 131 | 0,0 127 | 0,0 724 | 0,0 732 | 0,0 723 | 0,0 752 | 0,0 720 | 0,0 614 | 0,0 0,3 | 0,0 722 | 0,0 754 | | | | | | | | | | | | | | | | | | | | | | |
| 4 | 2 | 3 | 2 | 4 | 0 | 58 | 8 | 8 | 6 | 8 | 6 | 2 | 2 | 2 | 284 | 9 | 1 | 9 | 1 | 4 | 5 | 5 | 9 | 8 | 3 | 1 | 2 | 4 | 8 | 5 | 9 | 4 | 9 | 3 | 1 | 5 | 129 | 4 | 8 | | | | | | | | | | | | | | | | | | | | | |
| 5 | 0,4 545 | 0,2 402 | 0,2 399 | 0,2 406 | 0,0 015 | 0,0 009 | 0,0 022 | 0,0 007 | 0,0 431 | 0,0 745 | 0,0 511 | 0,0 810 | 0,0 015 | 0,0 581 | 0,0 371 | 0,0 428 | 0,0 779 | 0,0 025 | 0,0 906 | 0,0 221 | 0,0 914 | 0,0 441 | 0,0 357 | 0,0 789 | 0,0 991 | 0,0 176 | 0,0 533 | 0,0 109 | 0,0 153 | 0,0 568 | 0,0 997 | 0,0 063 | 0,0 973 | 0,0 724 | 0,0 146 | 0,0 118 | 0,0 400 | 0,0 637 | 0,0 151 | 0,0 188 | | | | | | | | | | | | | | | | | | | | |
| 5 | 5 | 5 | 6 | 3 | 8 | 0 | 15 | 5 | 251 | 4 | 9 | 4 | 7 | 9 | 3 | 7 | 8 | 5 | 6 | 3 | 1 | 4 | 9 | 9 | 2 | 6 | 3 | 3 | 868 | 6 | 6 | 5 | 9 | 3 | 35 | 6 | 5 | 3 | 6 | 2 | | | | | | | | | | | | | | | | | | | | |
| 6 | 0,4 552 | 0,2 0,2 | 0,2 411 | 0,0 013 | 0,0 00 | 0,0 080 | 0,0 003 | 0,0 010 | 0,0 014 | 0,0 021 | 0,0 020 | 0,0 002 | 0,0 011 | 0,0 026 | 0,0 072 | 0,0 030 | 0,0 086 | 0,0 096 | 0,0 080 | 0,0 034 | 0,0 080 | 0,0 082 | 0,0 018 | 0,0 103 | 0,0 104 | 0,0 102 | 0,0 121 | 0,0 717 | 0,0 725 | 0,0 716 | 0,0 745 | 0,0 713 | 0,0 607 | 0,0 703 | 0,0 715 | 0,0 747 | | | | | | | | | | | | | | | | | | | | | | | | |
| 6 | 1 | 316 | 928 | 3 | 8 | 5 | 0 | 8 | 1 | 6 | 9 | 6 | 7 | 5 | 8 | 8 | 119 | 5 | 4 | 5 | 418 | 1 | 112 | 9 | 6 | 6 | 3 | 2 | 1 | 6 | 8 | 7 | 6 | 5 | 7 | 1 | 6 | 1 | 9 | 8 | | | | | | | | | | | | | | | | | | | | |
| 7 | 2 | 3 | 673 | 9 | 8 | 21 | 8 | 0 | 8 | 3 | 2 | 5 | 8 | 754 | 7 | 063 | 275 | 1 | 9 | 9 | 3 | 7 | 772 | 1 | 6 | 2 | 363 | 7 | 8 | 2 | 8 | 7 | 3 | 4 | 4 | 7 | 8 | 7 | 1 | | | | | | | | | | | | | | | | | | | | | |
| 8 | 5 | 5 | 428 | 2 | 6 | 51 | 1 | 8 | 0 | 7 | 4 | 8 | 9 | 2 | 7 | 0 | 011 | 017 | 021 | 016 | 005 | 008 | 026 | 0,0 | 069 | 029 | 082 | 119 | 093 | 102 | 076 | 034 | 077 | 081 | 0,0 | 014 | 0,0 | 107 | 0,0 | 108 | 0,0 | 105 | 0,0 | 125 | 0,0 | 720 | 0,0 | 728 | 0,0 | 720 | 0,0 | 748 | 0,0 | 716 | 0,0 | 707 | 0,0 | 718 | 0,0 | 750 |
| 9 | 2 | 2 | 097 | 5 | 8 | 31 | 6 | 3 | 7 | 0 | 7 | 2 | 6 | 8 | 4 | 6 | 6 | 5 | 2 | 2 | 1 | 4 | 2 | 7 | 739 | 5 | 3 | 4 | 2 | 7 | 5 | 439 | 393 | 6 | 7 | 8 | 4 | 4 | 5 | 8 | 3 | 4 | 3 | 0,3 | 0,3 | 0,3 | 0,3 | 0,3 | 0,3 | 0,3 | 0,3 | 0,3 | 0,3 | 0,3 | 0,3 | | | | | |
| 1 | 0,4 549 | 0,2 402 | 0,2 407 | 0,0 010 | 0,0 003 | 0,0 079 | 0,0 207 | 0,0 941 | 0,0 013 | 0,0 817 | 0,0 647 | 0,0 058 | 0,0 510 | 0,0 027 | 0,0 576 | 0,0 256 | 0,0 742 | 0,0 078 | 0,0 154 | 0,0 801 | 0,0 668 | 0,0 097 | 0,0 251 | 0,0 423 | 0,0 982 | 0,0 227 | 0,0 567 | 0,0 968 | 0,0 336 | 0,0 842 | 0,0 750 | 0,0 085 | 0,0 922 | 0,0 861 | 0,0 611 | 0,0 373 | 0,0 857 | 0,0 923 | | | | | | | | | | | | | | | | | | | | | | |
| 0 | 0,4 552 | 0,2 402 | 0,2 407 | 0,0 009 | 0,1 01 | 0,1 010 | 0,0 090 | 0,0 011 | 0,0 018 | 0,0 031 | 0,0 024 | 0,0 010 | 0,0 010 | 0,0 037 | 0,0 029 | 0,0 078 | 0,0 040 | 0,0 082 | 0,0 126 | 0,0 100 | 0,0 093 | 0,0 077 | 0,0 023 | 0,0 026 | 0,0 060 | 0,0 0462 | 0,0 0362 | 0,0 0789 | 0,0 0168 | 0,0 0122 | 0,0 0715 | 0,0 0297 | 0,0 0563 | 0,0 0466 | 0,0 0351 | 0,0 0574 | 0,0 0851 | 0,0 0286 | 0,0 0401 | | | | | | | | | | | | | | | | | | | | | |

| | | | | | | | | | | | | | | | | | | | | | | | | | | | | | | | | | | | | | | | | | | |
|----------------------|------------------------|--------------------------|------------------------|------------------------|-------------------------|------------------------|--------------------------|------------------------|------------------------|------------------------|------------------------|------------------------|------------------------|------------------------|------------------------|------------------------|------------------------|------------------------|------------------------|------------------------|------------------------|------------------------|------------------------|------------------------|------------------------|------------------------|------------------------|------------------------|------------------------|------------------------|------------------------|------------------------|------------------------|--------------------------|------------------------|------------------------|--------------------------|------------------------|------------------------|------------------------|------------|------------|
| | 387 4 | | 040 4 | 888 7 | 678 8 | 84 42 | | 635 7 | 801 2 | 695 2 | 669 4 | 890 2 | 062 8 | 256 3 | 862 1 | 812 9 | 157 8 | 006 6 | 524 1 | | 267 6 | 105 3 | | 105 3 | 267 6 | 944 8 | 192 5 | 773 1 | 875 1 | 748 8 | 373 6 | 064 6 | 625 4 | 970 7 | 089 9 | | 341 2 | 351 4 | 499 5 | | 276 4 | |
| | 0,4 477 | 0,2 326 | 0,2 323 | 0,2 330 | 0,0 068 | 0,0 07 | 0,0 080 | 0,0 0,0 | 0,0 076 | 0,0 077 | 0,0 093 | 0,0 084 | 0,0 0,0 | 0,0 081 | 0,0 069 | 0,0 090 | 0,0 104 | 0,0 061 | 0,0 081 | 0,0 127 | 0,0 081 | 0,0 070 | 0,0 080 | | 0,0 0,0 | 0,0 027 | 0,0 0,0 | 0,0 075 | 0,0 133 | 0,0 065 | 0,0 089 | 0,0 104 | 0,3 217 | 0,3 218 | 0,3 216 | 0,3 236 | 0,3 0,3 | 0,3 846 | 0,3 838 | 0,3 866 | 0,3 834 | 0,3 729 |
| 2 3 | 062 2 | 140 1 | 763 1 | 881 3 | 690 58 | 63 9 | 183 772 | 109 7 | 668 7 | 247 5 | 968 6 | 998 8 | 062 8 | 945 4 | 487 7 | 217 6 | 301 8 | 844 6 | 373 1 | 524 8 | 944 6 | 267 3 | 105 0 | 267 1 | 944 5 | 192 4 | 773 8 | 875 9 | 748 6 | 373 0 | 064 2 | 625 4 | 970 7 | 089 9 | | 341 2 | 351 4 | 499 5 | | 276 4 | | |
| | 0,4 549 | 0,2 391 | 0,2 388 | 0,2 396 | 0,0 025 | 0,0 04 | 0,0 034 | 0,0 034 | 0,0 034 | 0,0 039 | 0,0 055 | 0,0 040 | 0,0 034 | 0,0 028 | 0,0 060 | 0,0 050 | 0,0 091 | 0,0 062 | 0,0 081 | 0,0 008 | 0,0 081 | 0,0 070 | 0,0 027 | | 0,0 0,0 | 0,0 147 | 0,0 063 | 0,0 110 | 0,0 053 | 0,0 0,0 | 0,0 079 | 0,0 190 | 0,0 0,3 | 0,0 189 | 0,0 0,3 | 0,0 811 | 0,0 819 | 0,0 0,3 | 0,0 0,3 | 0,0 808 | 0,0 702 | |
| 2 4 | 305 1 | 419 1 | 786 8 | 182 1 | 691 9 | 07 1 | 600 1 | 040 9 | 097 7 | 023 4 | 265 5 | 088 3 | 912 9 | 380 2 | 928 7 | 590 2 | 044 2 | 523 2 | 282 6 | 373 5 | 192 8 | 944 6 | 267 1 | 197 0 | 639 8 | 666 8 | 977 7 | 672 8 | 066 7 | 488 1 | 834 1 | 191 4 | 330 8 | 209 063 | 916 1 | 829 4 | 811 299 | 006 7 | 808 4 | | | |
| | 0,4 473 | 0,2 0,2 | 0,2 323 | 0,2 331 | 0,0 070 | 0,0 07 | 0,0 080 | 0,0 102 | 0,0 077 | 0,0 079 | 0,0 094 | 0,0 083 | 0,0 062 | 0,0 070 | 0,0 087 | 0,0 104 | 0,0 053 | 0,0 078 | 0,0 062 | 0,0 075 | 0,0 008 | 0,0 081 | 0,0 0,0 | 0,0 147 | 0,0 086 | 0,0 070 | 0,0 095 | 0,0 174 | 0,0 100 | 0,0 142 | 0,0 141 | 0,0 159 | 0,0 730 | 0,0 738 | 0,0 729 | 0,0 758 | 0,0 725 | 0,0 0,3 | | | | |
| 2 5 | 654 9 | 326 269 | 974 2 | 003 5 | 303 2 | 59 92 | 853 6 | 654 6 | 251 5 | 264 5 | 990 6 | 107 8 | 223 2 | 082 7 | 636 3 | 941 4 | 798 1 | 393 7 | 241 8 | 282 2 | 773 1 | 192 5 | 944 8 | 161 0 | 639 7 | 030 7 | 483 6 | 904 7 | 163 2 | 085 8 | 011 4 | 124 3 | 329 7 | 823 9 | 544 6 | 418 8 | 034 2 | 556 9 | 936 8 | 619 5 | | |
| | 0,4 517 | 0,2 399 | 0,2 397 | 0,2 404 | 0,0 087 | 0,0 07 | 0,0 082 | 0,0 0,0 | 0,0 081 | 0,0 092 | 0,0 089 | 0,0 0,0 | 0,0 073 | 0,0 084 | 0,0 058 | 0,0 088 | 0,0 049 | 0,0 052 | 0,0 078 | 0,0 016 | 0,0 075 | 0,0 008 | 0,0 075 | 0,0 063 | 0,0 086 | | 0,0 0,0 | 0,0 072 | 0,0 010 | 0,0 108 | 0,0 062 | 0,0 0,3 | 0,0 182 | 0,0 179 | 0,0 198 | 0,0 787 | 0,0 795 | 0,0 786 | 0,0 815 | 0,0 782 | 0,0 677 | |
| 2 6 | 581 4 | 726 9 | 985 4 | 411 1 | 968 4 | 41 1 | 622 3 | 004 2 | 423 1 | 600 3 | 263 4 | 062 5 | 216 6 | 083 3 | 712 4 | 325 8 | 159 7 | 191 2 | 241 1 | 875 1 | 773 1 | 192 5 | 944 8 | 161 0 | 639 7 | 030 7 | 483 6 | 904 7 | 163 2 | 085 8 | 011 4 | 124 3 | 329 7 | 823 9 | 544 6 | 418 8 | 034 2 | 556 9 | 936 8 | 619 5 | | |
| | 0,4 534 | 0,2 388 | 0,2 386 | 0,2 393 | 0,0 013 | 0,0 01 | 0,0 018 | 0,0 0,0 | 0,0 014 | 0,0 021 | 0,0 032 | 0,0 024 | 0,0 003 | 0,0 020 | 0,0 011 | 0,0 030 | 0,0 042 | 0,0 056 | 0,0 027 | 0,0 052 | 0,0 116 | 0,0 016 | 0,0 075 | 0,0 133 | 0,0 110 | 0,0 070 | 0,0 072 | | 0,0 0,0 | 0,0 077 | 0,0 113 | 0,0 037 | 0,0 109 | 0,0 111 | 0,0 108 | 0,0 127 | 0,0 714 | 0,0 722 | 0,0 713 | 0,0 0,3 | 0,0 710 | 0,0 604 |
| 2 7 | 084 9 | 789 7 | 451 1 | 527 9 | 156 8 | 35 33 | 598 2 | 075 3 | 982 4 | 462 5 | 909 4 | 502 3 | 628 6 | 033 2 | 926 4 | 118 9 | 985 6 | 455 7 | 191 2 | 748 8 | 875 1 | 773 1 | 192 5 | 944 8 | 161 0 | 639 7 | 030 7 | 483 6 | 904 7 | 163 2 | 085 8 | 011 4 | 124 3 | 329 7 | 823 9 | 544 6 | 418 8 | 034 2 | 556 9 | 936 < | | |

| | | | | | | | | | | | | | | | | | | | | | | | | | | | | | | | | | | | | | | | | | |
|----------------------|------------------------|------------------------|------------------------|--------------------------|-------------------------|------------------------|------------------------|------------------------|--------------------------|------------------------|------------------------|------------------------|------------------------|------------------------|------------------------|------------------------|------------------------|------------------------|------------------------|------------------------|------------------------|------------------------|------------------------|------------------------|------------------------|------------------------|------------------------|--------------------------|------------------------|------------------------|------------------------|--------------------------|-------------------------|------------------------|------------------------|------------------------|------------------------|--------------------------|--------------------------|--------------------------|----------|
| | 234 6 | 108 4 | 722 6 | 119 5 | 841 3 | 43 5 | 596 7 | 170 3 | 085 6 | 563 7 | 661 1 | 401 2 | 903 1 | 511 4 | 552 1 | 990 1 | | 964 8 | 776 8 | 266 9 | 341 2 | | 089 9 | 128 8 | | 823 7 | 996 2 | 565 3 | 700 3 | | | 374 6 | 303 9 | 061 9 | | 723 6 | 881 9 | 624 3 | 323 7 | | 164 8 |
| | 0,8 263 | 0,5 944 | 0,5 936 | 0,5 949 | 0,3 752 | 0,3 75 | 0,3 745 | 0,3 790 | 0,3 748 | 0,3 743 | 0,3 731 | 0,3 754 | 0,3 765 | 0,3 0,3 | 0,3 753 | 0,3 752 | 0,3 724 | 0,3 814 | 0,3 764 | 0,3 735 | 0,3 788 | 0,3 797 | 0,3 0,3 | 0,3 811 | 0,3 730 | 0,3 787 | 0,3 714 | 0,3 792 | 0,3 766 | 0,3 735 | 0,1 043 | 0,1 065 | 0,1 060 | 0,1 026 | | 0,0 007 | 0,0 027 | 0,0 0,0 | 0,0 023 | 0,0 0,0 | |
| 3 5 | 519 6 | 587 3 | 255 5 | 598 3 | 745 1 | 31 47 | 426 5 | 545 4 | 922 2 | 466 8 | 468 9 | 099 1 | 738 5 | 743 1 | 434 6 | 647 5 | 648 4 | 444 7 | 776 8 | 351 2 | 341 4 | 789 2 | 838 4 | 916 1 | 544 9 | 177 8 | 691 7 | 130 6 | 614 3 | 600 6 | 536 6 | 008 9 | 552 7 | 723 6 | 987 0 | 415 4 | 186 9 | 115 158 | 8 606 | | |
| | 0,8 229 | 0,5 908 | 0,5 900 | 0,5 913 | 0,3 720 | 0,3 72 | 0,3 713 | 0,3 758 | 0,3 716 | 0,3 711 | 0,3 699 | 0,3 722 | 0,3 733 | 0,3 0,3 | 0,3 721 | 0,3 720 | 0,3 692 | 0,3 782 | 0,3 732 | 0,3 764 | 0,3 817 | 0,3 788 | 0,3 797 | 0,3 846 | 0,3 819 | 0,3 738 | 0,3 795 | 0,3 722 | 0,3 774 | 0,3 743 | 0,1 049 | 0,1 0,1 | 0,1 0,1 | 0,0 032 | 0,0 007 | 0,0 027 | 0,0 020 | 0,0 024 | 0,0 122 | | |
| 3 6 | 501 3 | 906 4 | 535 3 | 917 5 | 629 1 | 11 18 | 371 1 | 864 4 | 861 3 | 351 4 | 431 5 | 152 1 | 678 6 | 711 7 | 335 3 | 733 3 | 671 3 | 713 3 | 522 3 | 444 7 | 499 5 | 351 4 | 763 2 | 829 4 | 418 6 | 073 4 | 588 8 | 800 029 | 540 9 | 507 4 | 750 8 | 071 161 | 066 73 | 881 9 | 987 4 | 698 0 | 195 6 | 779 3 | 823 9 | | |
| | 0,8 122 | 0,5 802 | 0,5 794 | 0,5 807 | 0,3 614 | 0,3 607 | 0,3 653 | 0,3 611 | 0,3 605 | 0,3 593 | 0,3 616 | 0,3 627 | 0,3 605 | 0,3 615 | 0,3 586 | 0,3 677 | 0,3 626 | 0,3 732 | 0,3 0,3 | 0,3 817 | 0,3 788 | 0,3 838 | 0,3 0,3 | 0,3 729 | 0,3 786 | 0,3 713 | 0,3 791 | 0,3 0,3 | 0,3 063 | 0,3 084 | 0,1 080 | 0,1 046 | 0,0 027 | 0,0 027 | 0,0 005 | 0,0 109 | | | | | |
| 3 7 | 885 8 | 619 5 | 274 4 | 630 6 | 851 5 | 61 54 | 634 6 | 395 7 | 611 121 | 574 4 | 707 6 | 490 4 | 938 7 | 549 1 | 570 4 | 095 5 | 982 7 | 058 8 | 877 8 | 522 3 | 785 8 | 499 5 | 351 4 | 206 2 | 811 2 | 034 4 | 138 2 | 687 4 | 154 4 | 766 4 | 734 4 | 225 7 | 924 9 | 376 9 | 624 7 | 415 9 | 698 6 | 038 0 | 577 432 | 370 2 | |
| | 0,8 0,8 | 0,5 898 | 0,5 890 | 0,5 903 | 0,3 0,3 | 0,3 71 | 0,3 703 | 0,3 749 | 0,3 707 | 0,3 701 | 0,3 689 | 0,3 712 | 0,3 724 | 0,3 701 | 0,3 711 | 0,3 683 | 0,3 773 | 0,3 723 | 0,3 626 | 0,3 679 | 0,3 0,3 | 0,3 817 | 0,3 866 | 0,3 0,3 | 0,3 758 | 0,3 815 | 0,3 0,3 | 0,3 742 | 0,3 192 | 0,3 726 | 0,1 678 | 0,1 064 | 0,0 580 | 0,0 219 | 0,0 323 | 0,0 195 | 0,0 038 | 0,0 231 | 0,0 142 | | |
| 3 8 | 219 6 | 700 8 | 322 7 | 711 129 | 711 37 | 16 1 | 884 8 | 457 1 | 373 5 | 851 4 | 948 2 | 688 6 | 190 8 | 798 7 | 839 2 | 711 8 | 199 8 | 251 8 | 063 8 | 877 8 | 276 4 | 785 4 | 499 5 | 938 9 | 840 6 | 556 7 | 234 9 | 742 5 | 192 9 | 726 6 | 678 6 | 064 5 | 580 5 | 219 7 | 323 5 | 028 8 | 195 7 | 038 0 | 231 6 | 142 049 | |
| | 0,8 229 | 0,5 905 | 0,5 897 | 0,5 910 | 0,3 722 | 0,3 72 | 0,3 715 | 0,3 761 | 0,3 718 | 0,3 713 | 0,3 701 | 0,3 724 | 0,3 735 | 0,3 713 | 0,3 723 | 0,3 694 | 0,3 784 | 0,3 734 | 0,3 723 | 0,3 679 | 0,3 0,3 | 0,3 834 | 0,3 808 | 0,3 725 | 0,3 782 | 0,3 710 | 0,3 787 | 0,3 763 | 0,3 0,3 | 0,1 057 | 0,1 079 | 0,1 074 | 0,1 0,1 | 0,0 023 | 0,0 024 | 0,0 005 | 0,0 038 | | 0,0 106 | | |
| 3 9 | 031 4 | 969 5 | 531 4 | 980 4 | 563 52 | 31 9 | 373 7 | 279 8 | 857 8 | 286 1 | 455 7 | 275 7 | 675 2 | 288 3 | 290 3 | 894 9 | 752 9 | 847 9 | 672 2 | 063 4 | 276 4 | 785 4 | 963 6 | 051 7 | 936 9 | 961 2 | 504 2 | 966 8 | 043 7 | 731 5 | 688 3 | 380 1 | 835 8 | 041 8 | 186 5 | 779 2 | 577 6 | 231 0 | 142 7 | | |
| | 0,8 262 | 0,5 941 | 0,5 932 | 0,5 946 | 0,3 754 | 0,3 75 | 0,3 747 | 0,3 793 | 0,3 750 | 0,3 | | | | | | | | | | | | | | | | | | | | | | | | | | | | | | | |

ANEXO 11
Distancias Euclidianas Ruta 3 DISLOJA

| | | 0 | 1 | 2 | 3 | 4 | 5 | 6 | 7 | 8 | 9 | 10 | 11 | 12 | 13 | 14 | 15 | 16 | 17 | 18 | 19 | 20 | 21 | 22 | 23 | 24 | 25 | 26 | 27 | 28 | 29 | 30 |
|---|---|---------------|---------------|---------------|---------------|----------------|---------------|---------------|---------------|---------------|---------------|---------------|---------------|---------------|---------------|----------------|---------------|---------------|---------------|---------------|---------------|---------------|---------------|---------------|----------------|---------------|---------------|---------------|---------------|---------------|---------------|---------------|
| 0 | 0 | 0,256 3418 | 0,251 9636 | 0,251 4844 | 0,253 7583 | 0,260 1149 | 0,257 4046 | 0,251 2813 | 0,472 8 | 0,472 9 | 0,474 6 | 0,468 7 | 0,469 8 | 0,473 8 | 0,466 9601 | 0,466 1 | 0,467 3 | 0,469 1 | 0,466 6 | 0,858 8 | 0,855 9 | 0,859 5418 | 0,858 7 | 0,861 3 | 0,863 0037 | 0,718 6 | 0,722 1 | 0,716 4 | 0,722 1 | 0,712 8 | 0,711 7 | |
| | | 3418 | 9636 | 4844 | 7583 | 1149 | 4046 | 2813 | 5655 | 3522 | 4358 | 1895 | 4004 | 5553 | 0,466 9601 | 1249 1 | 5772 3 | 2149 1 | 3769 6 | 9817 8 | 7760 9 | 0,859 5418 | 1746 7 | 5049 3 | 0,863 0037 | 6127 6 | 0,722 1 | 4204 4 | 0,716 1 | 4204 8 | 0,722 7 | 4061 3602 |
| 1 | 4 | 0,256 3418 | 0,004 8458 | 0,005 2927 | 0,002 5915 | 0,011 3397 | 0,001 7854 | 0,005 0630 | 0,311 8694 | 0,308 7108 | 0,313 5735 | 0,304 7286 | 0,306 0413 | 0,314 1472 | 0,302 2485 | 0,305 6968 | 0,301 7 | 0,761 087 | 0,758 2 | 0,761 2 | 0,758 6 | 0,761 7339 | 0,761 9 | 0,764 9803 | 0,767 9 | 0,576 3 | 0,580 2 | 0,572 2 | 0,580 4 | 0,569 4 | 0,567 4 | |
| | | 9636 | 8458 | 1688 | 5878 | 0854 | 4714 | 0,002 018 | 0,315 4489 | 0,312 3427 | 0,317 1611 | 0,308 3457 | 0,309 6600 | 0,317 8057 | 0,305 7853 | 0,302 3799 | 0,308 9436 | 0,305 7190 | 0,764 4513 | 0,764 1132 | 0,761 2974 | 0,765 7700 | 0,764 3007 | 0,768 0132 | 0,770 0,746 | 0,580 1 | 0,583 5 | 0,576 7 | 0,583 5 | 0,576 5 | 0,573 5 | 0,571 2642 |
| 2 | 4 | 0,251 9636 | 0,004 8458 | 0,004 1688 | 0,002 5878 | 0,015 0854 | 0,006 4714 | 0,002 018 | 0,315 4489 | 0,312 3427 | 0,317 1611 | 0,308 3457 | 0,309 6600 | 0,317 8057 | 0,305 7853 | 0,302 3799 | 0,308 9436 | 0,305 7190 | 0,764 4513 | 0,764 1132 | 0,761 2974 | 0,765 7700 | 0,764 3007 | 0,768 0132 | 0,770 0,746 | 0,580 1 | 0,583 5 | 0,576 7 | 0,583 5 | 0,576 5 | 0,571 2642 | |
| | | 4844 | 2927 | 1688 | 2295 | 0956 | 9597 | 0,002 2475 | 0,311 8226 | 0,308 7504 | 0,313 5399 | 0,304 7440 | 0,306 0592 | 0,314 1655 | 0,302 1976 | 0,298 8228 | 0,305 3264 | 0,301 1270 | 0,760 8594 | 0,757 2139 | 0,761 3947 | 0,760 8638 | 0,764 3947 | 0,764 1057 | 0,766 1189 | 0,576 4880 | 0,580 2641 | 0,573 0674 | 0,580 7 | 0,569 7 | 0,567 6 | 0,567 6 |
| 4 | 4 | 0,253 7583 | 0,002 5915 | 0,002 5878 | 0,003 2295 | 0,012 0 | 0,002 5704 | 0,003 9946 | 0,002 4774 | 0,309 0313 | 0,305 9195 | 0,307 0314 | 0,315 9267 | 0,303 2405 | 0,306 4041 | 0,299 3603 | 0,306 9423 | 0,306 5314 | 0,306 2958 | 0,306 0303 | 0,759 0761 | 0,763 0627 | 0,762 5384 | 0,765 0688 | 0,767 7827 | 0,767 8014 | 0,577 6469 | 0,581 4192 | 0,574 2155 | 0,581 4192 | 0,571 0844 | 0,568 8313 |
| | | 1149 | 3397 | 0956 | 5704 | 0,012 0 | 0,009 9 | 0,013 6588 | 0,300 9117 | 0,297 5573 | 0,302 4134 | 0,293 2635 | 0,294 4266 | 0,302 7398 | 0,290 9312 | 0,287 4169 | 0,294 0418 | 0,293 7895 | 0,290 5219 | 0,749 7545 | 0,746 9497 | 0,751 4334 | 0,751 9632 | 0,753 6806 | 0,755 7061 | 0,565 1325 | 0,568 9033 | 0,561 6970 | 0,568 9033 | 0,558 5700 | 0,556 3101 | |
| 6 | 4 | 0,257 4046 | 0,001 7854 | 0,006 4714 | 0,005 9597 | 0,003 9946 | 0,009 6588 | 0,006 0 | 0,310 3237 | 0,306 1388 | 0,311 9733 | 0,302 8418 | 0,304 9930 | 0,312 3055 | 0,300 5209 | 0,296 4089 | 0,303 6180 | 0,303 3494 | 0,300 0819 | 0,756 0759 | 0,761 6058 | 0,759 0890 | 0,761 6189 | 0,763 3360 | 0,765 0,765 | 0,574 6800 | 0,578 4488 | 0,571 2392 | 0,578 4488 | 0,568 1175 | 0,565 8488 | |
| | | 2813 | 2 | 018 | 5 | 3 | 2 | 3 | 0 | 0,313 9 | 0,310 9 | 0,315 7 | 0,306 7 | 0,308 2 | 0,316 6 | 0,304 7 | 0,307 1 | 0,303 3 | 0,303 5 | 0,300 8 | 0,303 9 | 0,300 6 | 0,303 4112 | 0,759 7 | 0,761 4 | 0,763 2 | 0,761 361 | 0,574 1 | 0,582 9 | 0,575 3 | 0,582 9 | 0,572 4 |
| 8 | 8 | 0,472 5655 | 0,311 8694 | 0,315 4489 | 0,311 8226 | 0,300 0313 | 0,310 5573 | 0,313 1388 | 0,308 9588 | 0,005 0 | 0,005 1 | 0,001 6 | 0,007 9 | 0,003 9168 | 0,001 7 | 0,011 2 | 0,016 1 | 0,006 6 | 0,008 9 | 0,008 1 | 0,011 2 | 0,454 9 | 0,452 4 | 0,456 1 | 0,455 6 | 0,459 9 | 0,461 7 | 0,268 5603 | 0,268 3971 | 0,258 6 | 0,258 1 | 0,256 1 |
| | | 9 | 6 | 5 | 4 | 9 | 3 | 4 | 1 | 0 | 6 | 5 | 4 | 7 | 6 | 5 | 4 | 6 | 7 | 8 | 1 | 6 | 9 | 7 | 5 | 6 | 6 | 6 | 6 | 5 | 6 | |
| 1 | 1 | 0,472 3522 | 0,308 7108 | 0,312 3427 | 0,308 7504 | 0,297 9195 | 0,306 4134 | 0,310 9733 | 0,304 8748 | 0,005 9426 | 0,006 4661 | 0,004 2316 | 0,002 9607 | 0,009 0559 | 0,006 1370 | 0,005 0124 | 0,003 6238 | 0,006 8915 | 0,006 1606 | 0,459 5675 | 0,456 2215 | 0,461 7454 | 0,459 5258 | 0,463 7064 | 0,465 7380 | 0,267 5156 | 0,271 3244 | 0,264 5156 | 0,271 1757 | 0,258 9568 | | |
| | | 1 | 0 | 5 | 3 | 7 | 6 | 4 | 7 | 6 | 6 | 0 | 6 | 7 | 8 | 4 | 4 | 5 | 5 | 3 | 7 | 3 | 7 | 4 | 9 | 1 | 1 | 3 | 4 | 2 | 1 | |
| 0 | 0 | 0,474 4358 | 0,313 5735 | 0,317 1611 | 0,313 5399 | 0,314 0,314 | 0,302 2635 | 0,311 8418 | 0,315 6743 | 0,001 8780 | 0,006 4661 | 0,002 2751 | 0,009 0904 | 0,012 9986 | 0,012 3893 | 0,017 0,008 | 0 | | | | | | | | | | | | | | | |

| | | | | | | | | | | | | | | | | | | | | | | | | | | | | | |
|---|---------------------|---------------------|-----------------------|--------------------|----------------------|-----------------------|--------------------|--------------------|---------------------|------------------------|------------------------|--------------------|------------------------|-----------------------|------------------------|---------------------|---------------------|------------------------|------------------------|---------------------|------------------------|---------------------|---------------------|------------------------|---------------------|------------------------|------------------------|---------------------|--------------------|
| 1 | 0,473 5553 3 | 0,314 8057 8 | 0,317 1655 2485 | 0,314 4041 1 | 0,315 9312 2 | 0,312 5209 2 | 0,316 3064 2 | 0,003 1889 7 | 0,009 0559 6 | 0,002 9986 8 | 0,011 0831 6 | 0,010 0744 7 | | 0,014 3229 8 | 0,019 6218 7 | 0,009 5163 1 | 0,011 6040 1 | 0,014 2901 6 | 0,449 3802 7 | 0,454 0182 9 | 0,452 0452 542 | 0,456 3178 4 | 0,458 4830 6 | 0,262 5290 4 | 0,266 3247 2 | | 0,266 0,259 3247 | 0,255 9706 1 | 0,253 8495 6 |
| 1 | 0,466 1472 4 | 0,302 7853 9 | 0,305 1976 3 | 0,302 3603 9 | 0,303 290 8517 | 0,300 4089 5 | 0,304 3204 6 | 0,011 1952 2 | 0,006 5881 7 | 0,012 3893 4 | 0,004 0,003 2535 | 0,014 3229 8 | 0,005 4843 0 | 0,005 3174 1 | 0,002 9938 2 | 0,000 6788 1 | 0,465 6361 5 | 0,463 0375 7 | 0,467 6879 9 | 0,466 2118 6 | 0,469 0,469 9913 | 0,472 1683 7 | 0,274 2908 3 | 0,278 0,274 5 | 0,270 0,278 5 | 0,267 0,265 7283 | 0,267 5002 5 | 0,265 5 | |
| 1 | 0,466 1249 5 | 0,298 3799 1 | 0,302 8228 6968 | 0,298 9423 4 | 0,299 4169 2 | 0,287 0,296 7 | 0,300 9348 5 | 0,016 4479 1 | 0,011 1370 8 | 0,011 0,008 4414 | 0,009 5550 6 | 0,019 6218 7 | 0,005 4843 1 | 0,010 7986 0 | 0,008 0202 2 | 0,005 7696 2 | 0,470 1352 2 | 0,467 5506 4 | 0,470 0,472 2096 | 0,474 7336 7 | 0,474 5154 7 | 0,476 7009 1 | 0,277 7394 3 | 0,274 0,281 5037 | 0,274 2887 8 | 0,271 0,281 5037 | 0,268 1773 1 | 0,268 8960 5 | |
| 1 | 0,467 5772 6 | 0,305 3504 3 | 0,308 9436 7 | 0,305 3264 5 | 0,306 5314 4 | 0,294 0418 9 | 0,303 6180 8 | 0,307 4594 7 | 0,006 6411 1 | 0,005 0124 2377 | 0,002 3552 3 | 0,009 5163 1 | 0,005 3174 4 | 0,010 7986 3 | 0,003 0202 8 | 0,461 7050 0 | 0,458 8342 3 | 0,463 4753 1 | 0,461 9991 8 | 0,463 7758 2 | 0,465 9440 3 | 0,467 2171 4 | 0,275 0037 2 | 0,267 8314 3 | 0,275 0037 2 | 0,264 6560 1 | 0,262 4832 3 | | |
| 1 | 0,469 2149 7 | 0,305 0,305 1 | 0,308 7190 087 | 0,305 1270 7 | 0,306 2958 9 | 0,293 7895 2 | 0,303 3494 8 | 0,307 2514 1 | 0,008 4277 6 | 0,003 6238 5 | 0,009 4847 8 | 0,001 4657 7 | 0,001 5896 1 | 0,011 6040 2 | 0,002 9938 8 | 0,008 0202 2 | 0,003 7050 0 | 0,462 2677 3 | 0,460 6519 5 | 0,464 0544 8 | 0,467 7056 2 | 0,469 1869 6 | 0,271 3612 9 | 0,275 1386 2 | 0,267 9469 7 | 0,275 1386 2 | 0,264 7989 4 | | |
| 1 | 0,466 3769 8 | 0,301 8194 6 | 0,305 4513 2 | 0,301 8594 4 | 0,290 0,303 6 | 0,300 5219 2 | 0,303 0819 6 | 0,011 9837 3 | 0,006 2002 2 | 0,012 4755 5 | 0,003 2208 9 | 0,004 3982 6 | 0,014 2901 1 | 0,000 6788 2 | 0,005 7696 0 | 0,003 2677 3 | 0,465 7938 0 | 0,463 1923 9 | 0,467 8409 5 | 0,466 3647 2 | 0,470 1436 6 | 0,472 3189 3 | 0,274 6288 6 | 0,278 4061 1 | 0,271 4061 9 | 0,268 0,278 4061 | 0,265 8664 4 | | |
| 1 | 0,858 9817 9 | 0,761 0593 8 | 0,764 1132 2 | 0,760 2139 3 | 0,764 0,761 3 | 0,749 7545 3 | 0,759 0759 4 | 0,762 4326 5 | 0,454 1606 9 | 0,459 0,453 3602 | 0,453 0,462 6243 | 0,461 3963 6 | 0,465 0,451 9985 | 0,451 6361 5 | 0,470 1352 2 | 0,461 4474 3 | 0,462 6519 5 | 0,465 7938 9 | 0,465 1923 5 | 0,463 8409 2 | 0,467 3647 6 | 0,470 1436 6 | 0,472 3189 3 | 0,274 6288 6 | 0,278 4061 1 | 0,271 4061 9 | 0,268 0,278 4061 | 0,265 8457 4 | |
| 2 | 0,855 7760 0 | 0,758 2523 9 | 0,761 2974 6 | 0,757 3947 5 | 0,759 0627 6 | 0,746 9497 2 | 0,756 6058 7 | 0,759 6142 7 | 0,452 2053 4 | 0,456 5675 9 | 0,450 7541 7 | 0,460 0202 3 | 0,449 0,458 7945 | 0,463 3802 7 | 0,467 0375 4 | 0,458 5506 1 | 0,460 8342 8 | 0,463 0544 5 | 0,460 1923 9 | 0,463 3287 9 | 0,463 9671 5 | 0,467 3287 2 | 0,469 9671 5 | 0,271 2800 8 | 0,220 8346 4 | 0,222 2903 3 | 0,222 2903 1 | 0,225 1046 4 | |
| 2 | 0,859 15418 1 | 0,765 7339 2 | 0,761 7700 2 | 0,763 8638 5 | 0,751 5384 6 | 0,761 4334 4 | 0,764 0890 9 | 0,456 0841 1 | 0,461 2215 3 | 0,455 4000 3 | 0,464 6672 1 | 0,463 4429 9 | 0,454 0182 9 | 0,467 6879 9 | 0,463 0,472 2096 | 0,464 4753 8 | 0,467 7056 2 | 0,460 8409 5 | 0,463 9671 2 | 0,463 8289 0 | 0,467 4390 2 | 0,469 1582 8 | 0,215 6044 8 | 0,212 1637 6 | 0,212 6584 7 | 0,212 1185 6 | 0,224 3820 2 | | |
| 2 | 0,858 1746 2 | 0,761 2638 7 | 0,764 3007 9 | 0,760 3947 1 | 0,762 0688 9 | 0,749 9632 9 | 0,759 6189 1 | 0,762 6150 9 | 0,455 3714 6 | 0,459 7454 3 | 0,453 9238 4 | 0,463 1910 4 | 0,461 9667 4 | 0,466 0,452 542 | 0,461 2118 6 | 0,470 7336 7 | 0,461 9991 2 | 0,466 0,463 2295 | 0,466 3647 6 | 0,467 4626 2 | 0,469 4390 3 | 0,472 4763 0 | 0,473 3372 3 | 0,474 7851 5 | 0,219 9690 7 | 0,223 4568 1 | 0,223 9249 7 | 0,225 4568 6 | 0,228 1951 9 |
| 2 | 0,861 5049 3 | 0,768 0,764 3 | 0,764 0132 1 | 0,764 1057 6 | 0,765 7827 6 | 0,753 6806 7 | 0,763 3360 2 | 0,766 3264 2 | 0,459 1485 9 | 0,463 5258 7 | 0,457 7019 1 | 0,466 9695 1 | 0,465 7456 4 | 0,456 3178 4 | 0,474 0,469 9913 | 0,465 7758 7 | 0,467 0091 5 | 0,467 1436 6 | 0,466 7797 5 | 0,463 1582 7 | 0,467 3372 7 | 0,469 7976 8 | 0,472 7976 0 | 0,473 0,003 0 | 0,474 0,003 8 | 0,475 0,001 0 | 0,476 0,001 7 | 0,477 0,001 6 | |
| 2 | 0,767 0,863 4 | 0,766 0,038 0 | 0,766 0,770 7 | 0,767 1189 6 | 0,755 8014 8 | 0,755 0,765 361 | 0,768 3403 2 | 0,768 3179 7 | 0,461 0,465 7 | 0,459 0,459 4 | 0,469 1432 9 | 0,467 9207 6 | 0,458 0,472 7 | 0,472 0,472 1 | 0,476 0,476 3 | 0,467 0,472 6 | 0,469 0,472 3 | 0,472 0,472 6 | 0,469 0,472 8 | 0,472 0,472 8 | 0,473 0,473 8 | 0,474 0,474 3 | 0,475 0,475 8 | 0,476 0,476 0 | 0,477 0,477 7 | 0,478 0,478 5 | | | |
| 2 | 0,718 6127 5 | 0,576 4213 3 | 0,580 0746 1 | 0,576 1325 9 | 0,577 6469 6 | 0,565 4880 7 | 0,574 6800 1 | 0,578 6112 9 | 0,264 7699 5 | 0,263 0266 9 | 0,271 7541 3 | 0,270 4375 6 | 0,262 5290 4 | 0,274 2908 3 | 0,277 7394 3 | 0,271 2171 4 | 0,274 3612 9 | 0,274 6288 6 | 0,271 8346 4 | 0,274 1637 8 | 0,274 9690 5 | 0,274 6019 7 | 0,274 2610 4 | 0,274 754 0 | 0,275 0,003 0 | | | | |

| | | | | | | | | | | | | | | | | | | | | | | | | | | | | | | | |
|----------|-------|-------|-------|-------|-------|-------|-------|-------|-------|-------|-------|-------|-------|-------|-------|-------|-------|-------|-------|-------|-------|-------|-------|-------|-------|-------|-------|-------|-------|--------|-------|
| | 0,712 | 0,569 | | 0,569 | 0,571 | 0,558 | 0,568 | 0,572 | 0,258 | 0,261 | 0,256 | 0,265 | 0,263 | 0,255 | 0,267 | 0,271 | 0,264 | 0,264 | 0,268 | 0,222 | 0,220 | 0,225 | 0,223 | | | 0,006 | 0,010 | 0,003 | 0,010 | | 0,004 |
| 2 | 4061 | 8588 | 0,573 | 9256 | 0844 | 5700 | 1175 | 0488 | 2097 | 1757 | 4660 | 1920 | 8754 | 9706 | 7283 | 1773 | 6560 | 7989 | 0664 | 1046 | 3820 | 1951 | 8183 | 0,227 | 0,229 | 5625 | 3603 | 7241 | 3603 | 0,0198 | |
| 9 | 8 | 4 | 5121 | 7 | 3 | 6 | 4 | 3 | 6 | 3 | 4 | 8 | 1 | 7 | 1 | 1 | 2 | 9 | 1 | 6 | 6 | 2 | 4949 | 9801 | 2 | 8 | 3 | 8 | 0 | 5 | |
| | 0,711 | 0,567 | | 0,567 | 0,568 | 0,556 | 0,565 | 0,569 | 0,256 | 0,258 | 0,254 | 0,262 | 0,261 | 0,253 | 0,265 | 0,268 | 0,262 | 0,262 | 0,265 | 0,225 | 0,224 | 0,228 | 0,227 | 0,231 | 0,233 | 0,009 | 0,012 | 0,012 | 0,004 | | |
| 3 | 3602 | 5924 | 0,571 | 6902 | 8313 | 3101 | 8488 | 8090 | 0583 | 9568 | 3055 | 9899 | 6719 | 8495 | 5002 | 8960 | 4832 | 5788 | 8457 | 8944 | 1887 | 9994 | 6257 | 2968 | 7845 | 4309 | 8604 | 0,005 | 8604 | 0,0198 | |
| 0 | 7 | 4 | 2642 | 6 | 5 | 9 | 7 | 6 | 1 | 4 | 2 | 4 | 8 | 6 | 6 | 5 | 3 | 4 | 4 | 4 | 2 | 9 | 1 | 1 | 9 | 5 | 3 | 5451 | 3 | 5 | 0 |

ANEXO 12
Distancias Euclidianas Ruta 4 DISLOJA

| | 0 | 1 | 2 | 3 | 4 | 5 | 6 | 7 | 8 | 9 | 10 | 11 | 12 | 13 | 14 | 15 | 16 | 17 | 18 | 19 | 20 | 21 | 22 | 23 | 24 | 25 | 26 | 27 | 28 | 29 | 30 | 31 | 32 | 33 | 34 | 35 | |
|----------|--------------------|--------------------|--------------------|--------------------|--------------------|--------------------|--------------------|--------------------|--------------------|--------------------|--------------------|--------------------|--------------------|--------------------|--------------------|--------------------|--------------------|--------------------|--------------------|--------------------|--------------------|--------------------|--------------------|--------------------|--------------------|--------------------|--------------------|--------------------|--------------------|----------------------|----------------------|----------------------|----------------------|----------------------|----------------------|----------------------|----------------------|
| 0 | 0,25 599 767 | 0,26 381 73 | 0,26 189 652 | 0,26 599 898 | 0,26 259 282 | 0,26 327 761 | 0,25 964 088 | 0,26 304 941 | 0,22 790 634 | 0,22 671 749 | 0,23 073 55 | 0,22 429 126 | 0,65 638 239 | 0,65 495 493 | 0,65 351 172 | 0,49 725 492 | 0,65 509 643 | 0,65 398 57 | 0,65 347 209 | 0,65 461 827 | 0,65 874 879 | 0,55 541 981 | 0,55 282 679 | 0,55 468 733 | 0,86 046 032 | 0,86 788 235 | 0,86 520 22 | 0,86 745 179 | 0,86 584 981 | 0,86 597 297 | 0,86 762 778 | 0,86 894 316 | 0,86 745 478 | 0,86 652 881 | 0,87 164 641 | | |
| 1 | 0,25 599 767 | 0,00 836 0 | 0,00 679 742 | 0,01 619 383 | 0,00 659 466 | 0,00 729 544 | 0,00 417 176 | 0,00 743 838 | 0,04 919 64 | 0,05 166 18 | 0,11 923 604 | 0,05 184 395 | 0,40 909 202 | 0,40 745 249 | 0,40 610 238 | 0,40 488 373 | 0,40 778 682 | 0,40 674 618 | 0,31 363 253 | 0,31 059 593 | 0,30 832 079 | 0,61 990 517 | 0,61 744 302 | 0,61 459 774 | 0,61 748 581 | 0,61 534 419 | 0,61 556 644 | 0,61 754 278 | 0,61 847 161 | 0,61 702 945 | 0,61 608 675 | 0,61 438 938 | 0,62 045 098 | | | | |
| 2 | 0,26 381 73 | 0,00 836 742 | 0,01 196 0 | 0,00 013 398 | 0,00 319 34 | 0,00 265 63 | 0,00 427 383 | 0,05 098 697 | 0,05 663 82 | 0,05 910 436 | 0,12 547 771 | 0,05 945 691 | 0,40 073 033 | 0,39 909 726 | 0,24 655 137 | 0,39 942 26 | 0,39 838 181 | 0,39 743 164 | 0,39 861 751 | 0,30 526 669 | 0,30 223 757 | 0,29 995 24 | 0,60 548 908 | 0,61 160 169 | 0,60 914 106 | 0,60 629 278 | 0,60 704 471 | 0,60 725 916 | 0,60 922 294 | 0,60 017 715 | 0,60 872 901 | 0,60 777 521 | 0,60 216 956 | 0,61 562 | | | |
| 3 | 0,26 189 652 | 0,00 679 383 | 0,00 196 0 | 0,01 030 062 | 0,00 342 194 | 0,00 330 091 | 0,00 154 091 | 0,05 560 516 | 0,05 808 987 | 0,05 491 361 | 0,12 716 127 | 0,05 597 667 | 0,40 887 227 | 0,39 769 598 | 0,24 598 015 | 0,40 886 886 | 0,39 915 707 | 0,30 656 656 | 0,30 453 731 | 0,30 731 657 | 0,29 453 166 | 0,60 495 413 | 0,61 214 795 | 0,60 488 039 | 0,60 287 621 | 0,60 306 961 | 0,60 497 525 | 0,61 955 348 | 0,61 395 429 | 0,60 0,61 0,60 | 0,61 0,61 0,61 | 0,60 0,61 0,61 | 0,60 0,61 0,61 | 0,60 0,61 0,61 | | | |
| 4 | 0,26 599 898 | 0,01 619 466 | 0,01 013 34 | 0,01 030 062 | 0,01 328 094 | 0,01 278 709 | 0,01 248 323 | 0,06 091 2 | 0,06 537 24 | 0,06 785 025 | 0,13 516 914 | 0,06 797 133 | 0,39 580 271 | 0,39 420 973 | 0,24 282 116 | 0,39 449 524 | 0,39 344 147 | 0,39 257 278 | 0,39 374 736 | 0,29 982 483 | 0,29 673 645 | 0,29 440 81 | 0,60 139 769 | 0,60 744 27 | 0,60 495 753 | 0,60 214 466 | 0,60 488 814 | 0,60 287 131 | 0,60 306 6 | 0,60 497 193 | 0,60 599 65 | 0,60 453 481 | 0,60 359 581 | 0,60 814 757 | | | |
| 5 | 0,26 259 282 | 0,00 659 544 | 0,00 319 63 | 0,01 342 194 | 0,01 328 094 | 0,01 278 0 | 0,01 077 231 | 0,00 357 082 | 0,00 237 196 | 0,05 367 199 | 0,12 613 537 | 0,05 230 035 | 0,40 654 82 | 0,40 284 396 | 0,24 120 178 | 0,40 153 06 | 0,39 985 993 | 0,40 896 49 | 0,39 153 846 | 0,39 071 415 | 0,30 752 447 | 0,30 450 733 | 0,30 224 644 | 0,60 735 773 | 0,61 349 209 | 0,61 104 186 | 0,60 818 114 | 0,60 109 342 | 0,60 893 404 | 0,60 915 761 | 0,61 114 722 | 0,61 207 172 | 0,61 062 042 | 0,60 967 737 | | | |
| 6 | 0,26 327 761 | 0,00 729 176 | 0,00 265 383 | 0,01 330 091 | 0,01 278 709 | 0,00 077 231 | 0,00 077 0 | 0,00 399 631 | 0,00 198 638 | 0,05 440 894 | 0,12 294 217 | 0,05 729 433 | 0,40 207 959 | 0,40 043 784 | 0,24 908 643 | 0,40 819 764 | 0,39 077 056 | 0,39 973 395 | 0,30 877 058 | 0,30 752 084 | 0,30 450 717 | 0,30 224 225 | 0,30 735 059 | 0,60 349 935 | 0,61 104 229 | 0,61 818 045 | 0,60 109 607 | 0,60 893 531 | 0,61 915 412 | 0,61 114 006 | 0,60 207 859 | 0,60 892 58 | 0,61 326 888 | | | | |
| 7 | 0,25 964 | 0,00 417 | 0,00 427 | 0,00 330 | 0,01 248 | 0,00 357 | 0,00 399 | 0,05 342 | 0,05 311 | 0,05 558 | 0,12 269 | 0,05 583 | 0,40 498 | 0,40 335 | 0,25 199 | 0,40 070 | 0,40 367 | 0,40 263 | 0,40 169 | 0,40 287 | 0,30 948 | 0,30 644 | 0,30 416 | 0,60 975 975 | 0,61 587 341 | 0,61 341 057 | 0,61 153 344 | 0,61 131 131 | 0,61 153 350 | 0,61 350 445 | 0,61 205 299 | 0,61 644 644 | 0,61 0,61 0,61 | 0,61 0,61 0,61 | 0,61 0,61 0,61 | 0,61 0,61 0,61 | 0,61 0,61 0,61 |
| 8 | 0,26 304 941 | 0,00 743 | 0,00 098 | 0,00 154 | 0,01 091 | 0,00 237 | 0,00 198 | 0,05 565 | 0,05 812 | 0,05 456 | 0,12 456 | 0,05 165 | 0,40 002 | 0,40 866 | 0,24 751 | 0,40 034 | 0,40 930 | 0,39 836 | 0,39 953 | 0,30 621 | 0,30 317 | 0,30 090 | 0,60 636 | 0,61 249 | 0,61 003 | 0,60 718 | 0,60 006 | 0,60 793 | 0,60 814 | 0,61 012 | 0,61 106 | 0,61 961 | 0,60 867 | 0,61 305 | | | |
| 9 | 0,22 790 634 | 0,04 919 | 0,05 663 | 0,05 560 | 0,06 537 | 0,05 367 | 0,05 440 | 0,05 311 | 0,05 565 | 0,05 0,05 | 0,00 247 | 0,07 240 | 0,05 372 | 0,07 007 | 0,45 876 | 0,48 047 | 0,45 947 | 0,44 833 | 0,44 952 | 0,45 782 | 0,45 491 | 0,35 277 | 0,35 377 | 0,35 011 | 0,66 773 | 0,65 478 | 0,65 805 | 0,65 559 | 0,65 587 | 0,65 804 | 0,65 874 | 0,65 732 | 0,65 637 | 0,65 024 | 0,66 571 | | |
| 1 | 0,22 1671 | 0,05 166 | 0,05 910 | 0,05 808 | 0,06 785 | 0,05 613 | 0,05 687 | 0,05 558 | 0,05 812 | 0,05 247 | 0,07 011 | 0,05 273 | 0,05 395 | 0,45 223 | 0,48 092 | 0,45 280 | 0,45 264 | 0,45 164 | 0,45 049 | 0,45 168 | 0,36 006 | 0,35 716 | 0,35 502 | 0,35 579 | 0,35 214 | 0,65 977 | 0,65 682 | 0,65 010 | 0,66 763 | 0,65 008 | 0,66 078 | 0,65 936 | 0,65 841 | 0,66 | | | |

| | | | | | | | | | | | | | | | | | | | | | | | | | | | | | | | | | | | | | |
|----------|------|------|------|------|------|------|------|------|------|------|------|------|------|------|------|------|------|------|------|------|------|------|------|------|------|------|------|------|------|------|------|------|------|------|------|------|--|
| | 0,86 | 0,61 | 0,60 | 0,60 | 0,60 | 0,60 | 0,61 | 0,60 | 0,65 | 0,65 | 0,21 | 0,21 | 0,37 | 0,21 | 0,21 | 0,21 | 0,21 | 0,21 | 0,30 | 0,31 | 0,31 | 0,00 | 0,00 | 0,00 | 0,00 | 0,00 | 0,00 | 0,00 | 0,00 | 0,00 | 0,00 | 0,00 | 0,00 | 0,00 | 0,01 | | |
| 3 | 597 | 556 | 725 | 903 | 306 | 915 | 840 | 153 | 814 | 587 | 791 | 820 | 951 | 074 | 196 | 346 | 047 | 198 | 314 | 328 | 217 | 854 | 200 | 476 | 720 | 486 | 192 | 285 | 620 | 129 | 475 | 303 | 149 | 071 | 240 | | |
| 0 | 297 | 278 | 715 | 039 | 6 | 722 | 531 | 325 | 972 | 277 | 233 | 403 | 312 | 261 | 424 | 483 | 832 | 862 | 889 | 306 | 62 | 411 | 875 | 963 | 822 | 453 | 793 | 095 | 527 | 528 | 0 | 24 | 64 | 414 | 569 | 354 | |
| | 0,86 | 0,61 | 0,60 | 0,61 | 0,60 | 0,61 | 0,61 | 0,61 | 0,65 | 0,66 | 0,70 | 0,66 | 0,21 | 0,21 | 0,21 | 0,37 | 0,21 | 0,21 | 0,21 | 0,30 | 0,31 | 0,31 | 0,01 | 0,00 | 0,00 | 0,00 | 0,00 | 0,00 | 0,00 | 0,00 | 0,00 | 0,00 | 0,00 | 0,00 | 0,00 | 0,01 | |
| 3 | 762 | 754 | 922 | 099 | 497 | 114 | 039 | 350 | 012 | 804 | 008 | 072 | 167 | 202 | 328 | 477 | 181 | 327 | 443 | 463 | 352 | 988 | 333 | 607 | 191 | 694 | 473 | 759 | 158 | 601 | 475 | 526 | 465 | 502 | 602 | | |
| 1 | 778 | 161 | 901 | 621 | 193 | 727 | 412 | 44 | 458 | 012 | 868 | 86 | 526 | 352 | 523 | 608 | 638 | 81 | 063 | 908 | 288 | 572 | 609 | 943 | 942 | 985 | 378 | 797 | 326 | 413 | 24 | 0 | 095 | 38 | 923 | 207 | |
| | 0,86 | 0,61 | 0,61 | 0,61 | 0,60 | 0,61 | 0,61 | 0,61 | 0,65 | 0,66 | 0,70 | 0,66 | 0,21 | 0,21 | 0,21 | 0,37 | 0,21 | 0,21 | 0,21 | 0,31 | 0,31 | 0,31 | 0,00 | 0,00 | 0,00 | 0,00 | 0,00 | 0,00 | 0,00 | 0,00 | 0,00 | 0,00 | 0,00 | 0,00 | 0,00 | 0,01 | |
| 3 | 894 | 847 | 017 | 194 | 599 | 207 | 132 | 445 | 106 | 874 | 078 | 098 | 239 | 375 | 497 | 647 | 348 | 500 | 616 | 629 | 518 | 155 | 501 | 778 | 774 | 196 | 112 | 429 | 683 | 316 | 303 | 526 | 155 | 242 | 076 | | |
| 2 | 316 | 945 | 521 | 961 | 65 | 172 | 006 | 143 | 72 | 916 | 664 | 541 | 068 | 8 | 638 | 774 | 701 | 332 | 417 | 214 | 613 | 303 | 889 | 124 | 81 | 519 | 155 | 948 | 272 | 32 | 64 | 095 | 0 | 184 | 1 | 123 | |
| | 0,86 | 0,61 | 0,60 | 0,61 | 0,60 | 0,61 | 0,60 | 0,61 | 0,65 | 0,65 | 0,69 | 0,66 | 0,21 | 0,21 | 0,37 | 0,21 | 0,21 | 0,21 | 0,31 | 0,31 | 0,31 | 0,00 | 0,00 | 0,00 | 0,00 | 0,00 | 0,00 | 0,00 | 0,00 | 0,00 | 0,00 | 0,00 | 0,00 | 0,00 | 0,01 | | |
| 3 | 745 | 702 | 872 | 049 | 453 | 062 | 986 | 299 | 961 | 732 | 936 | 961 | 096 | 223 | 345 | 495 | 197 | 348 | 464 | 477 | 366 | 003 | 350 | 626 | 744 | 344 | 043 | 340 | 622 | 194 | 149 | 465 | 155 | 096 | 162 | | |
| 3 | 478 | 675 | 161 | 525 | 481 | 042 | 859 | 775 | 397 | 205 | 083 | 638 | 284 | 57 | 678 | 751 | 022 | 16 | 196 | 501 | 832 | 606 | 093 | 209 | 102 | 694 | 413 | 665 | 34 | 514 | 414 | 38 | 184 | 0 | 167 | 887 | |
| | 0,86 | 0,61 | 0,60 | 0,60 | 0,60 | 0,60 | 0,61 | 0,60 | 0,65 | 0,65 | 0,69 | 0,66 | 0,21 | 0,21 | 0,21 | 0,37 | 0,21 | 0,21 | 0,21 | 0,30 | 0,31 | 0,31 | 0,00 | 0,00 | 0,00 | 0,00 | 0,00 | 0,00 | 0,00 | 0,00 | 0,00 | 0,00 | 0,00 | 0,00 | 0,01 | | |
| 3 | 652 | 608 | 777 | 955 | 359 | 967 | 892 | 205 | 867 | 637 | 841 | 865 | 001 | 133 | 255 | 405 | 106 | 258 | 374 | 387 | 276 | 913 | 259 | 536 | 689 | 418 | 136 | 265 | 654 | 107 | 071 | 502 | 242 | 096 | 175 | | |
| 4 | 881 | 438 | 956 | 348 | 581 | 757 | 58 | 574 | 18 | 211 | 058 | 704 | 308 | 74 | 548 | 69 | 601 | 263 | 355 | 115 | 515 | 203 | 791 | 031 | 487 | 239 | 606 | 085 | 504 | 935 | 569 | 923 | 1 | 167 | 0 | 378 | |
| | 0,87 | 0,62 | 0,61 | 0,61 | 0,60 | 0,61 | 0,61 | 0,61 | 0,66 | 0,66 | 0,70 | 0,66 | 0,21 | 0,21 | 0,22 | 0,37 | 0,21 | 0,21 | 0,21 | 0,31 | 0,31 | 0,32 | 0,00 | 0,00 | 0,01 | 0,01 | 0,01 | 0,01 | 0,01 | 0,01 | 0,01 | 0,01 | 0,01 | 0,01 | 0,01 | 0,01 | |
| 3 | 164 | 045 | 216 | 395 | 814 | 401 | 326 | 644 | 305 | 024 | 226 | 155 | 389 | 758 | 871 | 023 | 703 | 880 | 998 | 994 | 886 | 513 | 862 | 142 | 798 | 925 | 141 | 048 | 759 | 133 | 240 | 602 | 076 | 162 | 175 | | |
| 5 | 641 | 098 | 562 | 429 | 757 | 737 | 888 | 258 | 012 | 571 | 017 | 052 | 955 | 249 | 224 | 222 | 206 | 726 | 287 | 967 | 584 | 198 | 64 | 499 | 032 | 061 | 302 | 535 | 274 | 057 | 354 | 207 | 123 | 887 | 378 | 0 | |

ANEXO 13
Distancias Euclidianas Ruta 5 DISLOJA

| | 0 | 1 | 2 | 3 | 4 | 5 | 6 | 7 | 8 | 9 | 10 | 11 | 12 | 13 | 14 | 15 |
|-----------|------------|------------|------------|------------|------------|------------|------------|------------|------------|------------|------------|------------|------------|------------|------------|------------|
| 0 | 0 | 0,13348419 | 0,12549032 | 0,13280644 | 0,12898913 | 0,13434514 | 0,13065798 | 0,12687381 | 0,14983137 | 0,15052088 | 0,18517989 | 0,32536462 | 0,29248965 | 0,31001389 | 0,30986081 | 0,33572217 |
| 1 | 0,13348419 | 0 | 0,01432926 | 0,00255866 | 0,00564528 | 0,03423772 | 0,00403837 | 0,0074493 | 0,01663301 | 0,0174113 | 0,05171026 | 0,19346869 | 0,15902629 | 0,17653758 | 0,17639078 | 0,20431112 |
| 2 | 0,12549032 | 0,01432926 | 0 | 0,01196831 | 0,00908242 | 0,02308428 | 0,01035297 | 0,00838158 | 0,02889617 | 0,02976502 | 0,06105052 | 0,20434193 | 0,16820418 | 0,18557629 | 0,18548286 | 0,21540728 |
| 3 | 0,13280644 | 0,00255866 | 0,01196831 | 0 | 0,0039414 | 0,03172085 | 0,00219231 | 0,00601973 | 0,01794623 | 0,01876902 | 0,05240047 | 0,19465887 | 0,15980428 | 0,17729042 | 0,1771556 | 0,2055592 |
| 4 | 0,12898913 | 0,00564528 | 0,00908242 | 0,0039414 | 0 | 0,0307153 | 0,00175505 | 0,00211583 | 0,02187316 | 0,02269016 | 0,05626132 | 0,19859971 | 0,16367639 | 0,18115409 | 0,181023 | 0,20950047 |
| 5 | 0,13434514 | 0,03423772 | 0,02308428 | 0,03172085 | 0,0307153 | 0 | 0,03120899 | 0,03086644 | 0,04225507 | 0,04306988 | 0,06412798 | 0,20631493 | 0,166861 | 0,18372823 | 0,18374421 | 0,21782599 |
| 6 | 0,13065798 | 0,00403837 | 0,01035297 | 0,00219231 | 0,00175505 | 0,03120899 | 0 | 0,00382921 | 0,02011836 | 0,02093601 | 0,05456564 | 0,19685007 | 0,16197516 | 0,17945778 | 0,17932454 | 0,20774793 |
| 7 | 0,12687381 | 0,0074493 | 0,00838158 | 0,00601973 | 0,00211583 | 0,03086644 | 0,00382921 | 0 | 0,02389614 | 0,02470397 | 0,05837566 | 0,2006665 | 0,16578981 | 0,1832685 | 0,18313702 | 0,21155539 |
| 8 | 0,14983137 | 0,01663301 | 0,02889617 | 0,01794623 | 0,02187316 | 0,04225507 | 0,02011836 | 0,02389614 | 0 | 0,00087926 | 0,03568871 | 0,17683581 | 0,14266986 | 0,16020899 | 0,16004611 | 0,18768623 |
| 9 | 0,15052088 | 0,0174113 | 0,02976502 | 0,01876902 | 0,02269016 | 0,04306988 | 0,02093601 | 0,02470397 | 0,00087926 | 0 | 0,03509798 | 0,1760613 | 0,14199228 | 0,159536 | 0,15937008 | 0,18690015 |
| 10 | 0,18517989 | 0,05171026 | 0,06105052 | 0,05240047 | 0,05626132 | 0,06412798 | 0,05456564 | 0,05837566 | 0,03568871 | 0,03509798 | 0 | 0,1435823 | 0,10741919 | 0,12489285 | 0,12476214 | 0,1548183 |
| 11 | 0,32536462 | 0,19346869 | 0,20434193 | 0,19465887 | 0,19859971 | 0,20631493 | 0,19685007 | 0,2006665 | 0,17683581 | 0,1760613 | 0,1435823 | 0 | 0,04630412 | 0,0383122 | 0,03755812 | 0,01202227 |
| 12 | 0,29248965 | 0,15902629 | 0,16820418 | 0,15980428 | 0,16367639 | 0,166861 | 0,16197516 | 0,16578981 | 0,14266986 | 0,14199228 | 0,10741919 | 0,04630412 | 0 | 0,01758446 | 0,01738199 | 0,05815792 |
| 13 | 0,31001389 | 0,17653758 | 0,18557629 | 0,17729042 | 0,18115409 | 0,18372823 | 0,17945778 | 0,1832685 | 0,16020899 | 0,159536 | 0,12489285 | 0,0383122 | 0,01758446 | 0 | 0,00087852 | 0,04890628 |
| 14 | 0,30986081 | 0,17639078 | 0,18548286 | 0,1771556 | 0,181023 | 0,18374421 | 0,17932454 | 0,18313702 | 0,16004611 | 0,15937008 | 0,12476214 | 0,03755812 | 0,01738199 | 0,00087852 | 0 | 0,04821758 |
| 15 | 0,33572217 | 0,20431112 | 0,21540728 | 0,2055592 | 0,20950047 | 0,21782599 | 0,20774793 | 0,21155539 | 0,18768623 | 0,18690015 | 0,1548183 | 0,01202227 | 0,05815792 | 0,04890628 | 0,04821758 | 0 |

ANEXO 14
Distancias Euclidianas Ruta 6 DISLOJA

| | 0 | 1 | 2 | 3 | 4 | 5 | 6 | 7 | 8 | 9 | 10 | 11 | 12 | 13 | 14 | 15 |
|-----------|------------|------------|------------|------------|------------|------------|------------|------------|------------|------------|------------|------------|------------|------------|------------|------------|
| 0 | 0 | 0,90536287 | 0,90451761 | 0,91441248 | 0,91057718 | 0,90523063 | 0,90785493 | 0,91826386 | 0,90137465 | 0,94116166 | 0,93892002 | 0,93786197 | 0,93756453 | 0,9351749 | 0,94143219 | 0,93786197 |
| 1 | 0,90536287 | 0 | 0,01545219 | 0,01187601 | 0,01352268 | 0,01437268 | 0,01238677 | 0,01742792 | 0,02110848 | 0,12229223 | 0,1109921 | 0,10444882 | 0,10592948 | 0,10513388 | 0,10441223 | 0,10444882 |
| 2 | 0,90451761 | 0,01545219 | 0 | 0,01261143 | 0,00676261 | 0,00127966 | 0,00471183 | 0,01426899 | 0,00618234 | 0,13754691 | 0,12621022 | 0,11963563 | 0,12113785 | 0,120394 | 0,11949119 | 0,11963563 |
| 3 | 0,91441248 | 0,01187601 | 0,01261143 | 0 | 0,00616484 | 0,0113983 | 0,00794626 | 0,00557493 | 0,01852371 | 0,12816492 | 0,11674444 | 0,11010021 | 0,11165949 | 0,11108223 | 0,10968319 | 0,11010021 |
| 4 | 0,91057718 | 0,01352268 | 0,00676261 | 0,00616484 | 0 | 0,00568677 | 0,00273877 | 0,00772971 | 0,01241862 | 0,13351456 | 0,12211919 | 0,11549678 | 0,11703597 | 0,11639646 | 0,1151786 | 0,11549678 |
| 5 | 0,90523063 | 0,01437268 | 0,00127966 | 0,0113983 | 0,00568677 | 0 | 0,00346555 | 0,01332178 | 0,00746044 | 0,13636587 | 0,12502317 | 0,11844392 | 0,11994946 | 0,11921479 | 0,11828494 | 0,11844392 |
| 6 | 0,90785493 | 0,01238626 | 0,00470962 | 0,0079488 | 0,00274173 | 0,0034632 | 0 | 0,01041726 | 0,0108108 | 0,13365491 | 0,12228719 | 0,11568791 | 0,11720833 | 0,11651508 | 0,115461 | 0,11568791 |
| 7 | 0,91826386 | 0,01742792 | 0,01426899 | 0,00557493 | 0,00772971 | 0,01332178 | 0,01041726 | 0 | 0,01922488 | 0,13169168 | 0,12024702 | 0,1135789 | 0,11516557 | 0,11467681 | 0,11300993 | 0,1135789 |
| 8 | 0,90137465 | 0,02110848 | 0,00618234 | 0,01852371 | 0,01241862 | 0,00746044 | 0,0108108 | 0,01922488 | 0 | 0,14339175 | 0,13208043 | 0,12552517 | 0,12701411 | 0,12623407 | 0,12543717 | 0,12552517 |
| 9 | 0,94116166 | 0,12229223 | 0,13754691 | 0,12816492 | 0,13351456 | 0,13636587 | 0,13365491 | 0,13169168 | 0,14339175 | 0 | 0,01145532 | 0,01814094 | 0,01652859 | 0,01715861 | 0,01937355 | 0,01814094 |
| 10 | 0,93892002 | 0,1109921 | 0,12621022 | 0,11674444 | 0,12211919 | 0,12502317 | 0,12228719 | 0,12024702 | 0,13208043 | 0,01145532 | 0 | 0,00668735 | 0,00508495 | 0,00613814 | 0,00849339 | 0,00668735 |
| 11 | 0,93786197 | 0,10444882 | 0,11963563 | 0,11010021 | 0,11549678 | 0,11844392 | 0,11568791 | 0,1135789 | 0,12552517 | 0,01814094 | 0,00668735 | 0 | 0,00172598 | 0,00319553 | 0,00387131 | 0 |
| 12 | 0,93756453 | 0,10592948 | 0,12113785 | 0,11165949 | 0,11703597 | 0,11994946 | 0,11720833 | 0,11516557 | 0,12701411 | 0,01652859 | 0,00508495 | 0,00172598 | 0 | 0,00238984 | 0,00501985 | 0,00172598 |
| 13 | 0,9351749 | 0,10513388 | 0,120394 | 0,11108223 | 0,11639646 | 0,11921479 | 0,11651508 | 0,11467681 | 0,12623407 | 0,01715861 | 0,00613814 | 0,00319553 | 0,00238984 | 0 | 0,00704062 | 0,00319553 |
| 14 | 0,94143219 | 0,10441223 | 0,11949119 | 0,10968319 | 0,1151786 | 0,11828494 | 0,115461 | 0,11300993 | 0,12543717 | 0,01937355 | 0,00849339 | 0,00387131 | 0,00501985 | 0,00704062 | 0 | 0,00387131 |
| 15 | 0,93786197 | 0,10444882 | 0,11963563 | 0,11010021 | 0,11549678 | 0,11844392 | 0,11568791 | 0,1135789 | 0,12552517 | 0,01814094 | 0,00668735 | 0 | 0,00172598 | 0,00319553 | 0,00387131 | 0 |

